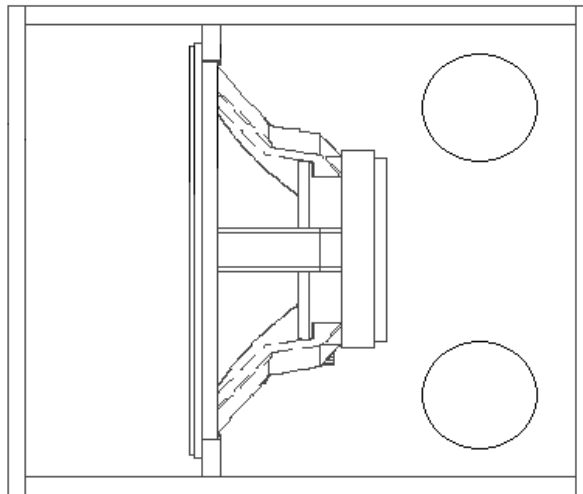


**Caixas Band Pass**  
**Simétricas,**  
**de 4<sup>a</sup> Ordem**



**Homero Sette Silva**

Ano Novo de 2004

# Caixas Band Pass

## Simétricas, de 4ª Ordem

01 - 01 - 04

BP4SIM

**Homero Sette Silva**

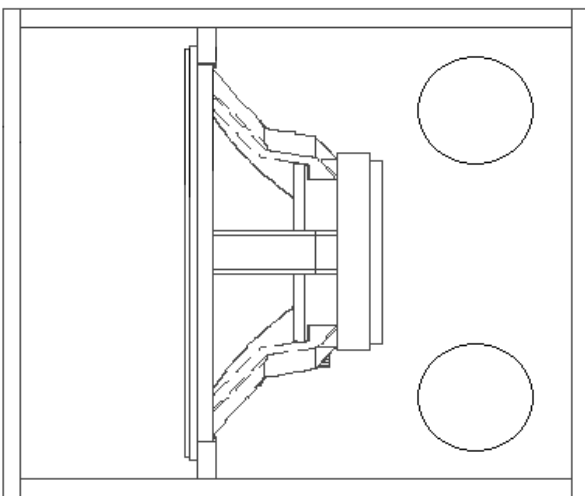
[homero@selenium.com.br](mailto:homero@selenium.com.br)

Este trabalho é uma releitura do Capítulo 11, do livro Alto-Falantes & Caixas Acústicas, de minha autoria, escrito há quase dez anos, e serve às seguintes finalidades:

- a) como errata aos erros tipográficos existentes no texto original;
- b) apresentar, em detalhe, o desenvolvimento matemático por trás das equações do livro, o que ali seria inviável;
- c) fazer uso dos novos recursos atualmente disponíveis, como o MatLab, no sentido de tornar mais fácil a análise do conteúdo.

### Introdução

Uma caixa band pass, de quarta ordem, pode ser entendida como uma caixa selada, colocada dentro de uma caixa refletora de graves, estando esta sem o falante (que vai montado na caixa fechada), sendo o duto a fonte sonora para o meio exterior, conforme a Fig. 1.



**Fig. 1 – Caixa BP de 4ª ordem, vista em corte.**

Aliás, esta foi a estratégia usada pelo Autor, quando fez as pesquisas iniciais que levaram ao desenvolvimento de um software para projeto de caixas BP de quarta e sexta ordens: uma caixa de 240 litros, com tampa removível, permitia que caixas menores fossem colocadas em seu interior.

Os termos quarta e sexta ordem referem-se ao grau do polinômio que caracteriza a resposta das caixas band pass, com duto em apenas uma das câmaras, ou em ambas, respectivamente.

Neste trabalho, consideraremos a câmara 1 como sendo a selada, cabendo à câmara 2 conter o duto e o conjunto magnético do falante, pois a prática recomenda isso em virtude da melhor refrigeração proporcionada pelo duto (ver a referência bibliográfica 5), o que irá contribuir significativamente para reduzir a temperatura da bobina, o que é vital para a

sobrevivência do falante ao trabalhar com potências elevadas, como geralmente acontece com os sub woofers.

Outro aspecto básico a ser ressaltado, é a característica de resposta tipo banda passante (Fig. 2) da componente acústica no duto, em uma caixa refletora de graves. Isto se deve ao ressonador de Helmholtz, que caracteriza a combinação do volume de ar da caixa (comportamento capacitivo), com o ar no duto (comportamento indutivo), o que resulta na sintonia da caixa, que entra em ressonância em uma frequência denominada  $F_b$ . Algo semelhante ocorre em uma caixa band pass de quarta ordem, quando o sinal acústico produzido pela caixa selada tem que atravessar um ressonador de Helmholtz, antes de se propagar pelo meio ambiente. Quando a frequência  $F_b$  do ressonador é igual à frequência  $F_c$ , de ressonância do sistema caixa fechada, temos uma resposta simétrica, com uma atenuação de 12 dB/oitava, de ambos os lados da curva de resposta, o que ficará evidenciado nas figuras a serem apresentadas, adiante.

As equações numeradas, são aquelas apresentadas no livro.

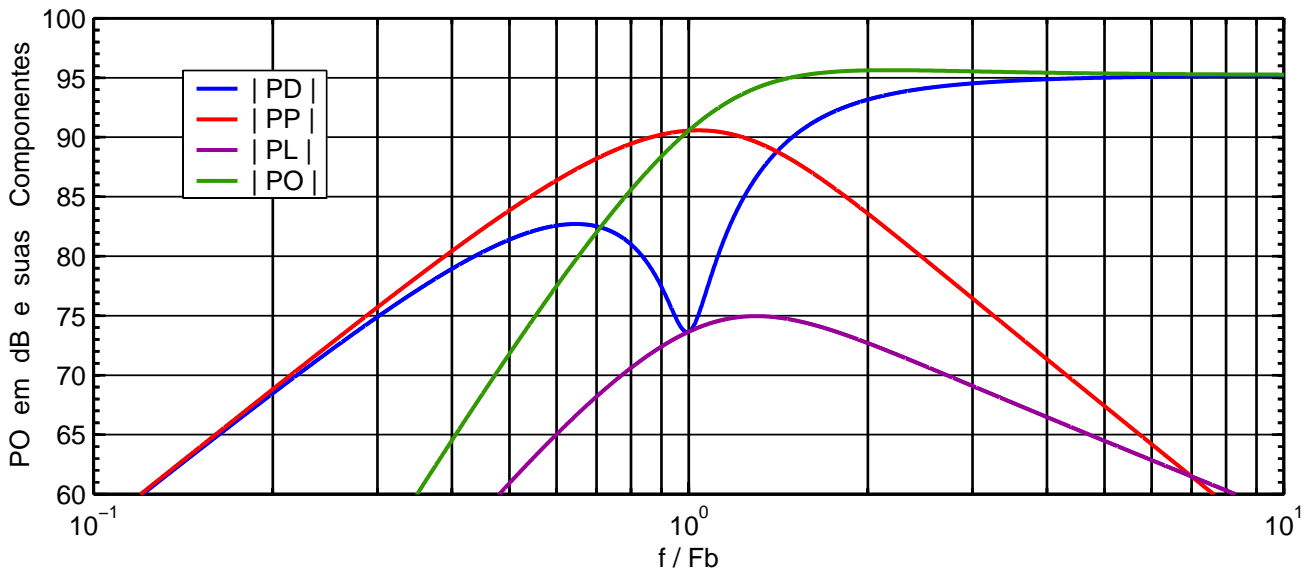


Fig. 2 – Componentes acústicas do refletor de graves. A contribuição do duto (em vermelho) é uma resposta band pass.

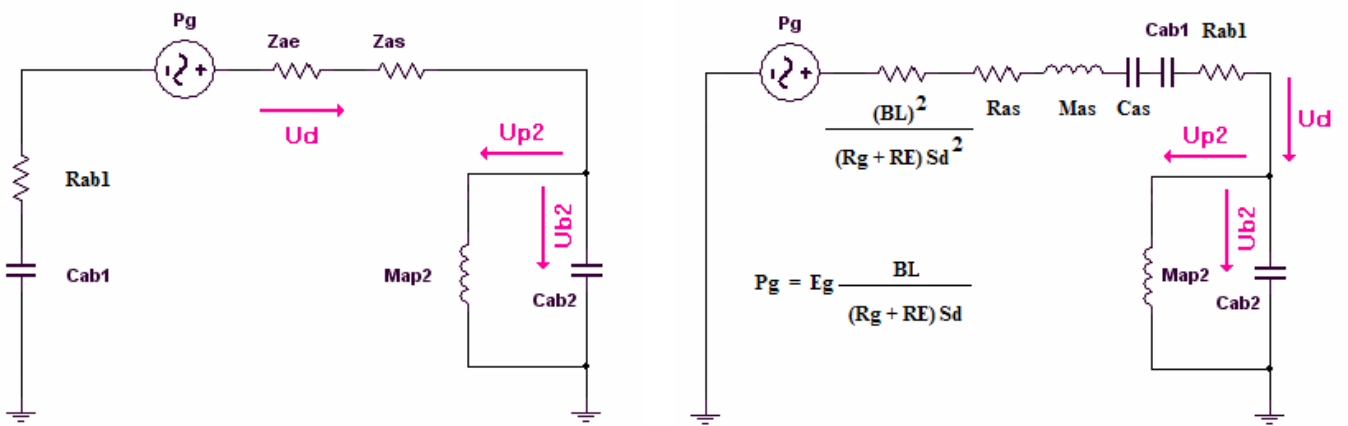


Fig. 3a – Circuito equivalente de uma caixa band pass de 4ª ordem.

$$P_g = E_g \cdot \frac{\beta L}{(R_g + R_E) \cdot S_d} \quad ; \quad Z_{ae} = \frac{(\beta L)^2}{(R_g + R_E) \cdot S_d^2} = R_{ae}$$

$$Z_{as} = R_{as} + s \cdot M_{as} + \frac{1}{s \cdot C_{as}}$$

$$R_{at} = R_{ae} + R_{as} + R_{ab1} \quad ; \quad C_{at} = \frac{C_{as} \cdot C_{ab1}}{C_{as} + C_{ab1}} = \frac{C_{as}}{\alpha + 1} \quad ; \quad \alpha = \frac{C_{as}}{C_{ab1}} = \frac{V_{as}}{V_{b1}} \quad (8)$$

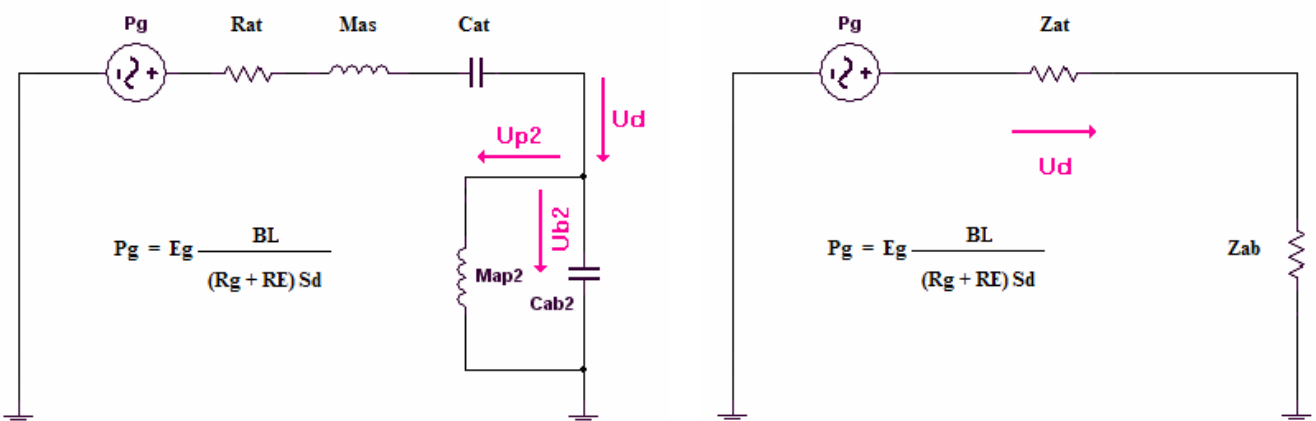


Fig. 3b – Circuito equivalente com os componentes semelhantes associados.

$$Z_{at} = \text{Rat} + s \cdot \text{Mas} + \frac{1}{s \cdot \text{Cat}} = \frac{s \cdot \text{Rat} \cdot \text{Cat} + s^2 \cdot \text{Mas} \cdot \text{Cat} + 1}{s \cdot \text{Cat}}$$

$$\text{Mas} \cdot \text{Cas} = \frac{1}{\omega_s^2} \quad ; \quad \text{Mas} \cdot \text{Cat} = \frac{1}{\omega_c^2} \quad ; \quad \frac{\text{Cas}}{\text{Cat}} = \frac{\omega_c^2}{\omega_s^2} = \alpha + 1$$

$$Z_{at} = \frac{s^2 \cdot \text{Mas} \cdot \text{Cat} + s \cdot \text{Rat} \cdot \text{Cat} + 1}{s \cdot \text{Cat}} = \frac{\frac{s^2}{\omega_c^2} + \frac{s}{\omega_c} \cdot \omega_c \cdot \text{Rat} \cdot \text{Cat} + 1}{s \cdot \text{Cat}}$$

$$\omega_c \cdot \text{Rat} \cdot \text{Cat} = \frac{1}{Q_{tc}}$$

Para  $\text{Rab}_1$  desprezível:

$$\omega_s \cdot \text{Rat} \cdot \text{Cas} = \frac{1}{Q_{ts}}$$

$$\frac{\omega_c}{\omega_s} = \frac{Q_{tc}}{Q_{ts}} = \sqrt{\frac{\text{Cas}}{\text{Cat}}} = \sqrt{1 + \alpha}$$

$$Q_{tc} = Q_{ts} \cdot \sqrt{1 + \alpha} \quad ; \quad \omega_c = \omega_s \cdot \sqrt{1 + \alpha} \quad \therefore \quad 1 + \alpha = \frac{F_c^2}{F_s^2} \quad (9)$$

$$Z_{at} = \frac{\frac{s^2}{\omega_c^2} + \frac{s}{\omega_c} \cdot \frac{1}{Q_{tc}} + 1}{s \cdot \text{Cat}}$$

A Câmara Vb2

$$Z_{ab} = \frac{1}{\frac{1}{s \cdot \text{Map}} + s \cdot \text{Cab}_2} = \frac{s \cdot \text{Map}}{s^2 \cdot \text{Map} \cdot \text{Cab}_2 + 1}$$

$$\text{Map} \cdot \text{Cab}_2 = \frac{1}{\omega_b^2} \quad \therefore \quad \text{Map} = \frac{1}{\omega_b^2 \cdot \text{Cab}_2} = \frac{\alpha_2}{\omega_b^2 \cdot \text{Cas}} \quad \text{onde} \quad \alpha_2 = \frac{V_{as}}{V_{b2}}$$

$$Z_{ab} = \frac{s \cdot \text{Map}}{\frac{s^2}{\omega_b^2} + 1}$$

$$Z_{ab} = \frac{\alpha_2}{\omega_b^2 \cdot \text{Cas}} \cdot \frac{s}{\frac{s^2}{\omega_b^2} + 1} = \frac{\alpha_2}{\omega_b \cdot \text{Cas}} \cdot \frac{\frac{s}{\omega_b}}{\frac{s^2}{\omega_b^2} + 1}$$

## Velocidades Volumétricas

$$U_d = \frac{P_g}{Z_{at} + Z_{ab}}$$

$$U_d = P_g \cdot \frac{1}{\frac{\frac{s^2}{\omega_c^2} + \frac{s}{\omega_c} \cdot \frac{1}{Q_{tc}} + 1}{s \cdot \text{Cat}} + \frac{\alpha_2}{\omega_b \cdot \text{Cas}} \cdot \frac{\frac{s}{\omega_b}}{\frac{s^2}{\omega_b^2} + 1}}$$

$$U_d = P_g \cdot \frac{s \cdot \text{Cat}}{\frac{s^2}{\omega_c^2} + \frac{s}{\omega_c} \cdot \frac{1}{Q_{tc}} + 1 + \frac{\alpha_2 \cdot \text{Cat}}{\text{Cas}} \cdot \frac{\frac{s^2}{\omega_b^2}}{\frac{s^2}{\omega_b^2} + 1}}$$

$$\text{Cat} = \frac{1}{\omega_c^2 \cdot \text{Mas}} = \frac{Sd^2}{\omega_c^2 \cdot \text{Mms}} \quad ; \quad \frac{\text{Cat}}{\text{Cas}} = \frac{1}{1 + \alpha}$$

$$U_d = P_g \cdot \frac{Sd^2}{\omega_c \cdot \text{Mms}} \cdot \frac{\frac{s}{\omega_c}}{\frac{s^2}{\omega_c^2} + \frac{s^2}{\omega_b^2} \cdot \frac{\alpha_2}{1 + \alpha} \cdot \frac{1}{\frac{s^2}{\omega_b^2} + 1} + \frac{s}{\omega_c} \cdot \frac{1}{Q_{tc}} + 1}$$

$$\frac{1}{Q_{tc}} = 2 \cdot d \cdot B \quad ; \quad B^2 = \frac{\alpha_2}{1 + \alpha} = \frac{V_{as}}{V_{b2} \cdot (1 + \alpha)} = \alpha_T$$

$$\frac{1}{Q_{tc}^2} = (2 \cdot d \cdot B)^2 \quad \therefore \quad \frac{1}{Q_{tc}^2} = (2 \cdot d)^2 \cdot \frac{\alpha_2}{1 + \alpha} = \frac{1}{Q_{ts}^2 \cdot (1 + \alpha)}$$

$$\alpha_2 = \frac{1}{(2 \cdot d \cdot Q_{ts})^2} = \frac{V_{as}}{V_{b2}} \quad \therefore \quad V_{B2} = (2 \cdot d \cdot Q_{ts})^2 \cdot V_{as} \quad (11)$$

$$B^2 = \frac{(F_c / Q_{tc})^2}{4 \cdot d^2 \cdot F_L \cdot F_H} = \frac{1}{(2 \cdot d \cdot Q_{tc})^2} = \frac{V_{as}}{V_{B2} \cdot (1 + \alpha)} \quad (10)$$

$$U_d = P_g \cdot \frac{Sd^2}{\omega_C \cdot Mms} \cdot \frac{\frac{s}{\omega_C}}{\frac{s^2}{\omega_C^2} + \frac{s^2}{\omega_b^2} \cdot \frac{B^2}{\frac{s^2}{\omega_b^2} + 1} + \frac{s}{\omega_C} \cdot 2 \cdot d \cdot B + 1}$$

$$U_p = -\frac{Zab}{s \cdot Map} \cdot U_d = -\frac{1}{s \cdot Map} \cdot \frac{s \cdot Map}{\frac{s^2}{\omega_b^2} + 1} \cdot U_d = -\frac{1}{\frac{s^2}{\omega_b^2} + 1} \cdot U_d$$

$$U_p = P_g \cdot \frac{Sd^2}{\omega_C \cdot Mms} \cdot \frac{1}{\frac{s^2}{\omega_b^2} + 1} \cdot \frac{\frac{s}{\omega_C}}{\frac{s^2}{\omega_C^2} + \frac{s^2}{\omega_b^2} \cdot \frac{B^2}{\frac{s^2}{\omega_b^2} + 1} + \frac{s}{\omega_C} \cdot 2 \cdot d \cdot B + 1}$$

$$U_p = P_g \cdot \frac{Sd^2}{\omega_C \cdot Mms} \cdot \frac{\frac{s}{\omega_C}}{\left(\frac{s^2}{\omega_b^2} + 1\right) \cdot \left(\frac{s^2}{\omega_C^2} + \frac{s}{\omega_C} \cdot 2 \cdot d \cdot B + 1\right) + \frac{s^2}{\omega_b^2} \cdot B^2}$$

$$U_p = P_g \cdot \frac{Sd^2}{\omega_C \cdot Mms} \cdot \frac{\frac{s}{\omega_C}}{\frac{s^4}{\omega_b^2 \cdot \omega_C^2} + \frac{s^3 \cdot 2 \cdot d \cdot B}{\omega_b^2 \cdot \omega_C} + s^2 \cdot \left(\frac{1}{\omega_b^2} + \frac{1}{\omega_C^2}\right) + \frac{s \cdot 2 \cdot d \cdot B}{\omega_C} + 1 + \frac{s^2}{\omega_b^2} \cdot B^2}$$

$$U_p = P_g \cdot \frac{Sd^2}{\omega_C \cdot Mms} \cdot \frac{\frac{s}{\omega_C}}{\frac{s^4}{\omega_b^2 \cdot \omega_C^2} + \frac{s^3 \cdot 2 \cdot d \cdot B}{\omega_b^2 \cdot \omega_C} + s^2 \cdot \left(\frac{1}{\omega_b^2} + \frac{B^2}{\omega_b^2} + \frac{1}{\omega_C^2}\right) + \frac{s \cdot 2 \cdot d \cdot B}{\omega_C} + 1}$$

$$U_p = P_g \cdot \frac{Sd^2}{\omega_C \cdot Mms} \cdot \frac{\frac{s}{\omega_C}}{\frac{s^4}{\omega_b^2 \cdot \omega_C^2} + \frac{s^3 \cdot 2 \cdot d \cdot B}{\omega_b^2 \cdot \omega_C} + s^2 \cdot \left[\frac{1}{\omega_b^2} \cdot (1 + B^2) + \frac{1}{\omega_C^2}\right] + \frac{s \cdot 2 \cdot d \cdot B}{\omega_C} + 1}$$

$$P_a = \frac{\rho}{2\pi r} \cdot s \cdot U_p$$

$$P_a = P_g \cdot \frac{\rho}{2\pi r} \cdot \frac{Sd^2}{Mms} \cdot \frac{\frac{s^2}{\omega_C^2}}{\frac{s^4}{\omega_b^2 \cdot \omega_C^2} + \frac{s^3 \cdot 2 \cdot d \cdot B}{\omega_b^2 \cdot \omega_C} + s^2 \cdot \left[\frac{1}{\omega_b^2} \cdot (1 + B^2) + \frac{1}{\omega_C^2}\right] + \frac{s \cdot 2 \cdot d \cdot B}{\omega_C} + 1}$$

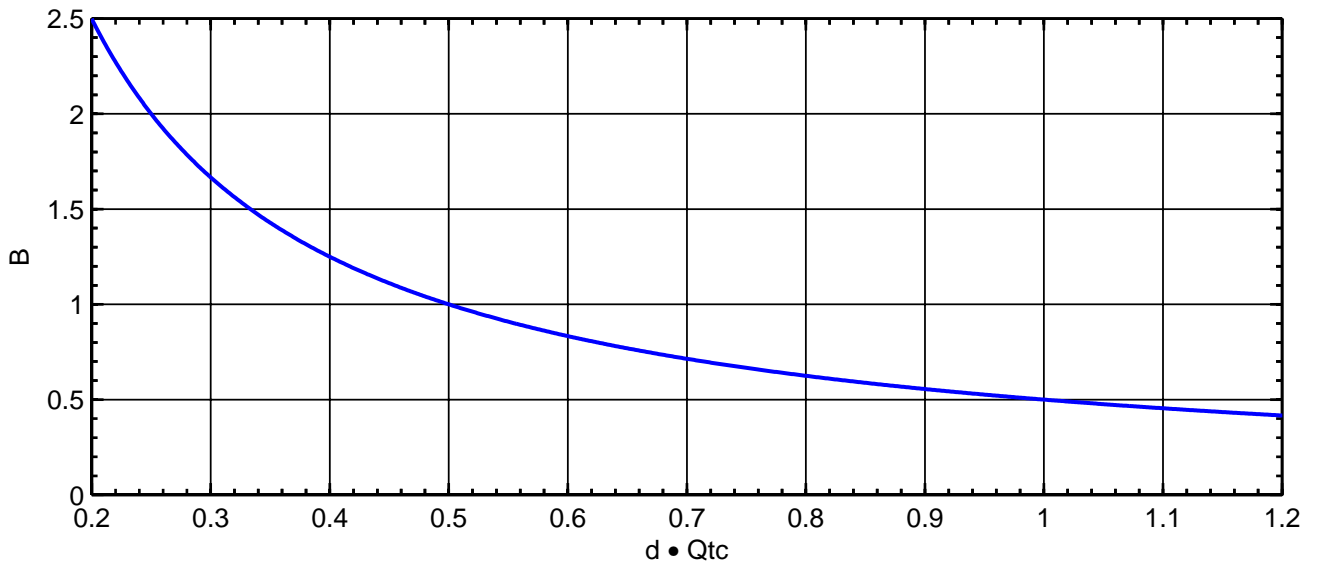


Fig. 4 - B em função de d•Qtc .

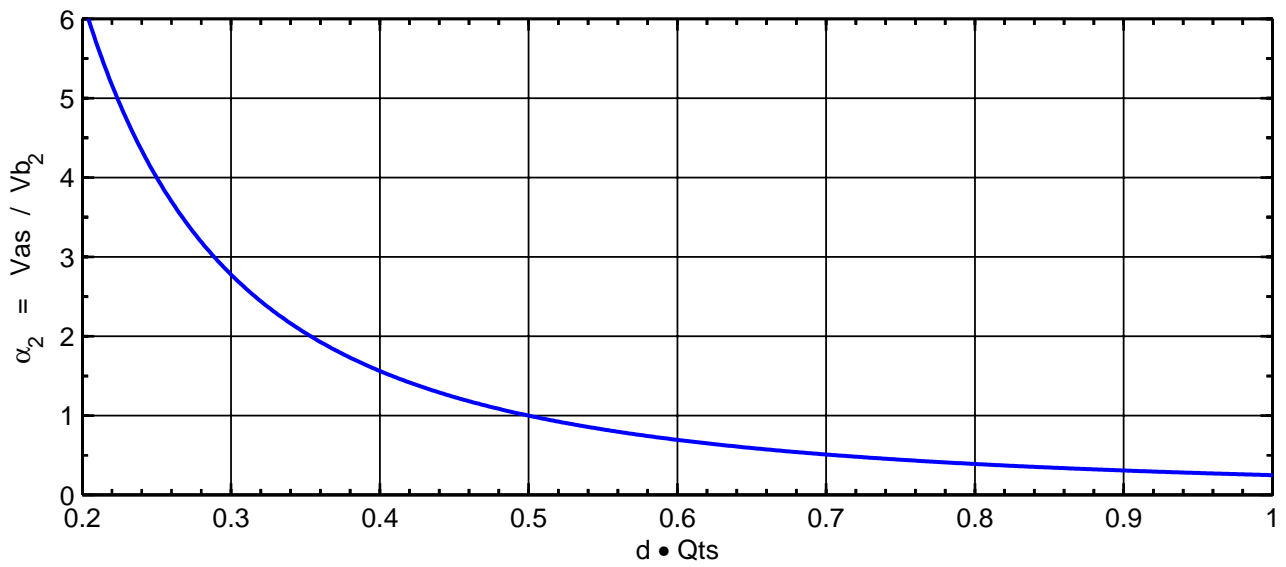


Fig. 5 -  $\alpha_2$  em função de d•Qts .

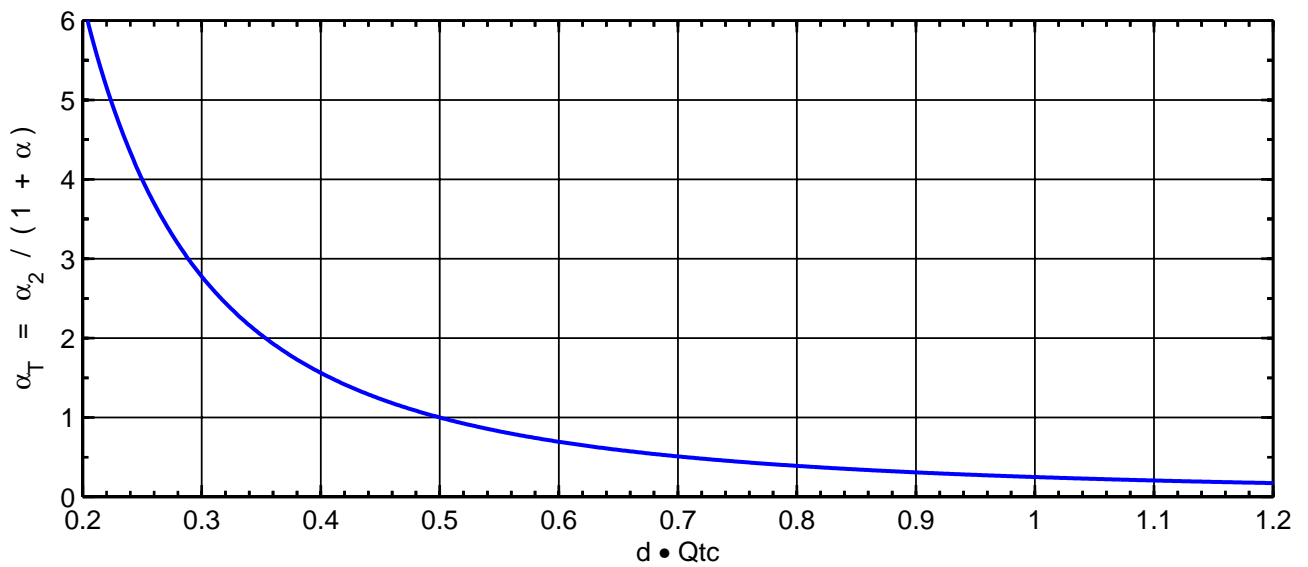


Fig. 6 -  $\alpha_T$  em função de d•Qtc .

## Resposta Simétrica ( $\omega_b = \omega_c$ )

$$U_p = P_g \cdot \frac{Sd^2}{\omega_c \cdot Mms} \cdot \frac{\frac{s}{\omega_c}}{\frac{s^4}{\omega_c^4} + \frac{s^3 \cdot 2 \cdot d \cdot B}{\omega_c^3} + \frac{s^2}{\omega_c^2} \cdot (B^2 + 2) + \frac{s \cdot 2 \cdot d \cdot B}{\omega_c} + 1}$$

$$P_a = P_g \cdot \frac{\rho}{2\pi r} \cdot \frac{Sd^2}{Mms} \cdot \frac{\frac{s^2}{\omega_c^2}}{\frac{s^4}{\omega_c^4} + \frac{s^3}{\omega_c^3} \cdot 2 \cdot d \cdot B + \frac{s^2}{\omega_c^2} \cdot (B^2 + 2) + \frac{s}{\omega_c} \cdot 2 \cdot d \cdot B + 1}$$

$$\omega_N = \frac{\omega}{\omega_c} = \frac{f}{F_c} \quad (1)$$

$$F_c^2 = F_1 \cdot F_2 = F_L \cdot F_H \quad (2)$$

$$s_N = \frac{s}{\omega_N} \quad (3)$$

$$P_a = P_g \cdot \frac{\rho}{2\pi r} \cdot \frac{Sd^2}{Mms} \cdot \frac{s_N^2}{s_N^4 + 2 \cdot d \cdot B \cdot s_N^3 + (B^2 + 2) \cdot s_N^2 + 2 \cdot d \cdot B \cdot s_N + 1}$$

$$P_g \cdot \frac{\rho}{2\pi r} \cdot \frac{Sd^2}{Mms} = E_g \cdot \frac{\beta L}{(R_g + R_E) \cdot Sd} \cdot \frac{\rho}{2\pi r} \cdot \frac{Sd^2}{Mms} = E_g \cdot \frac{\beta L}{R_g + R_E} \cdot \frac{\rho}{2\pi r} \cdot \frac{Sd}{Mms} = E_g \cdot KPa$$

$$P_a = E_g \cdot \frac{\beta L}{R_g + R_E} \cdot \frac{\rho}{2\pi r} \cdot \frac{Sd}{Mms} \cdot \frac{s_N^2}{s_N^4 + 2 \cdot d \cdot B \cdot s_N^3 + (B^2 + 2) \cdot s_N^2 + 2 \cdot d \cdot B \cdot s_N + 1}$$

$$P_a = E_g \cdot \frac{\beta L}{R_g + R_E} \cdot \frac{\rho}{2\pi r} \cdot \frac{Sd}{Mms} \cdot G_{(s_N)} = E_g \cdot KPa \cdot G_{(s_N)}$$

$$KPa = \frac{\rho}{2\pi r} \cdot \frac{\beta L}{R_g + R_E} \cdot \frac{Sd}{Mms}$$

$$G_{(s_N)} = \frac{s_N^2}{s_N^4 + 2 \cdot d \cdot B \cdot s_N^3 + (B^2 + 2) \cdot s_N^2 + 2 \cdot d \cdot B \cdot s_N + 1}$$

$$G_{(s_N)} = \frac{s_N^2}{D_{(s_N)}} \quad (4)$$

$$D_{(s_N)} = s_N^4 + 2 \cdot d \cdot B \cdot s_N^3 + (B^2 + 2) \cdot s_N^2 + 2 \cdot d \cdot B \cdot s_N + 1 \quad (5)$$

$$D_{(j\omega_N)} = \omega_N^4 - j \cdot 2 \cdot d \cdot B \cdot \omega_N^3 - (B^2 + 2) \cdot \omega_N^2 + j \cdot 2 \cdot d \cdot B \cdot \omega_N + 1$$



$$D_{(j\omega_N)} = \omega_N^4 - (B^2 + 2) \cdot \omega_N^2 + 1 - j \cdot 2 \cdot d \cdot B \cdot \omega_N^3 + j \cdot 2 \cdot d \cdot B \cdot \omega_N$$

$$D_{(j\omega_N)} = \omega_N^4 - (B^2 + 2) \cdot \omega_N^2 + 1 - j \cdot 2 \cdot d \cdot B \cdot (\omega_N^3 - \omega_N)$$

$$D_{(j\omega_N)} = \omega_N^4 - (B^2 + 2) \cdot \omega_N^2 + 1 - j \cdot 2 \cdot d \cdot B \cdot \omega_N \cdot (\omega_N^2 - 1)$$

$$|D_{(j\omega_N)}|^2 = [\omega_N^4 - (B^2 + 2) \cdot \omega_N^2 + 1]^2 + 4 \cdot d^2 \cdot B^2 \cdot \omega_N^2 \cdot (\omega_N^2 - 1)^2$$

$$|G_{(j\omega_N)}|^2 = \frac{\omega_N^4}{[\omega_N^4 - (B^2 + 2) \cdot \omega_N^2 + 1]^2 + 4 \cdot d^2 \cdot B^2 \cdot \omega_N^2 \cdot (\omega_N^2 - 1)^2}$$

$$|G_{(j\omega_N)}|^2 = \frac{1}{\left[\omega_N^2 - (B^2 + 2) + \frac{1}{\omega_N^2}\right]^2 + 4 \cdot d^2 \cdot B^2 \cdot \left(\omega_N - \frac{1}{\omega_N}\right)^2}$$

$$|G_{(j\omega_N)}|^2 = \frac{1}{\left[\omega_N^2 + \frac{1}{\omega_N^2} - B^2 - 2\right]^2 + 4 \cdot d^2 \cdot B^2 \cdot \left(\omega_N - \frac{1}{\omega_N}\right)^2}$$

$$|G_{(j\omega_N)}|^2 = \frac{1}{\left[\omega_N^2 + \frac{1}{\omega_N^2} - B^2 - 2\right]^2 + 4 \cdot d^2 \cdot B^4 \cdot \frac{\left(\omega_N - \frac{1}{\omega_N}\right)^2}{B^2}}$$

$$\gamma = \frac{\omega_N - \frac{1}{\omega_N}}{B} = \frac{\omega_N - \frac{1}{\omega_N}}{\sqrt{\alpha_T}} \quad (7)$$

$$|G_{(j\omega_N)}|^2 = \frac{1}{\left[\omega_N^2 + \frac{1}{\omega_N^2} - B^2 - 2\right]^2 + 4 \cdot d^2 \cdot B^4 \cdot \gamma^2}$$

$$|G_{(j\omega_N)}|^2 = \frac{1/B^4}{\left[\frac{\omega_N^2 + \frac{1}{\omega_N^2} - B^2 - 2}{B^2}\right]^2 + 4 \cdot d^2 \cdot \gamma^2}$$

$$\frac{\omega_N^2 + \frac{1}{\omega_N^2} - 2 - B^2}{B^2} = \frac{\omega_N^2 - 2 + \frac{1}{\omega_N^2}}{B^2} - 1 = \left( \frac{\omega_N - \frac{1}{\omega_N}}{B} \right)^2 - 1 = \gamma^2 - 1$$

$$\gamma^2 - 1 = \frac{\omega_N^2 + \frac{1}{\omega_N^2} - (2 + B^2)}{B^2}$$

$$\left| G_{(j\omega_N)} \right|^2 = \frac{1/B^4}{\left[ \frac{\omega_N^2 + \frac{1}{\omega_N^2} - (B^2 + 2)}{B^2} \right]^2 + 4 \cdot d^2 \cdot \gamma^2} = \frac{1/B^4}{(\gamma^2 - 1)^2 + 4 \cdot d^2 \cdot \gamma^2}$$

$$\left| G_{(j\omega_N)} \right|^2 = \frac{1/B^4}{(2 \cdot d \cdot \gamma)^2 + (\gamma^2 - 1)^2} \quad (6)$$

$$\text{Em } f = F_C \Rightarrow \gamma = 0 \Rightarrow \left| G_{(j\omega_N)} \right| = \left| G_{(j\omega_N=j)} \right| = \frac{1}{B^2}$$

$$PA = \left| G_{(j\omega_N=j)} \right|_{dB} = -40 \cdot \text{Log}(B) \quad (12)$$

$$\left| G_{N(j\omega_N)} \right| = \frac{\left| G_{(j\omega_N)} \right|}{\left| G_{(j\omega_N=j)} \right|} = \frac{1}{\sqrt{(2 \cdot d \cdot \gamma)^2 + (\gamma^2 - 1)^2}}$$

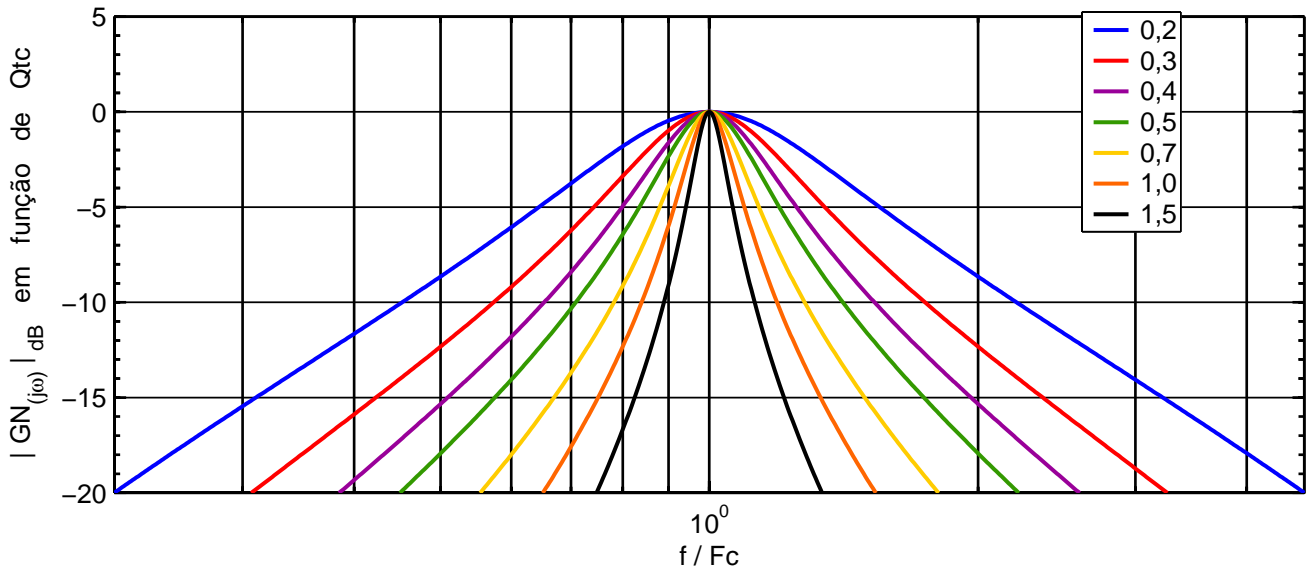
$$\left| G_{N(j\omega_N)} \right|_{dB} = -10 \cdot \text{Log} \left[ (2 \cdot d \cdot \gamma)^2 + (\gamma^2 - 1)^2 \right]$$

$$f = F_1 \text{ e } f = F_2 \Rightarrow \gamma^2 = 1 \Rightarrow \left| G_{(j\omega_N)} \right| = \frac{1}{2 \cdot d \cdot B^2} \Rightarrow \left| G_{N(j\omega_N)} \right|_{dB} = -20 \cdot \text{Log}(2 \cdot d)$$

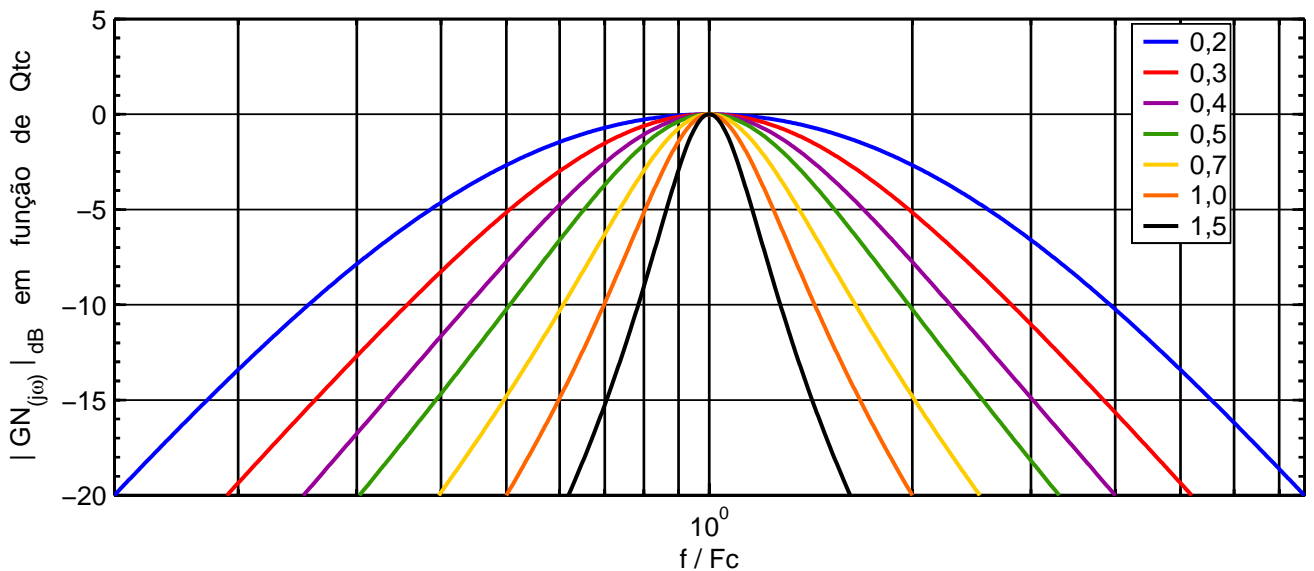
$$\left| G_{(j\omega_N)} \right|_{dB} = PA + \left| G_{N(j\omega_N)} \right|_{dB}$$

Os valores de **d** e **B** determinam completamente a resposta normalizada em frequência, bem como o Qtc. Nas figuras que se seguem, podemos ver que quanto menores forem **d** e **Qtc**, maior será a banda passante e menor a amplitude da resposta.

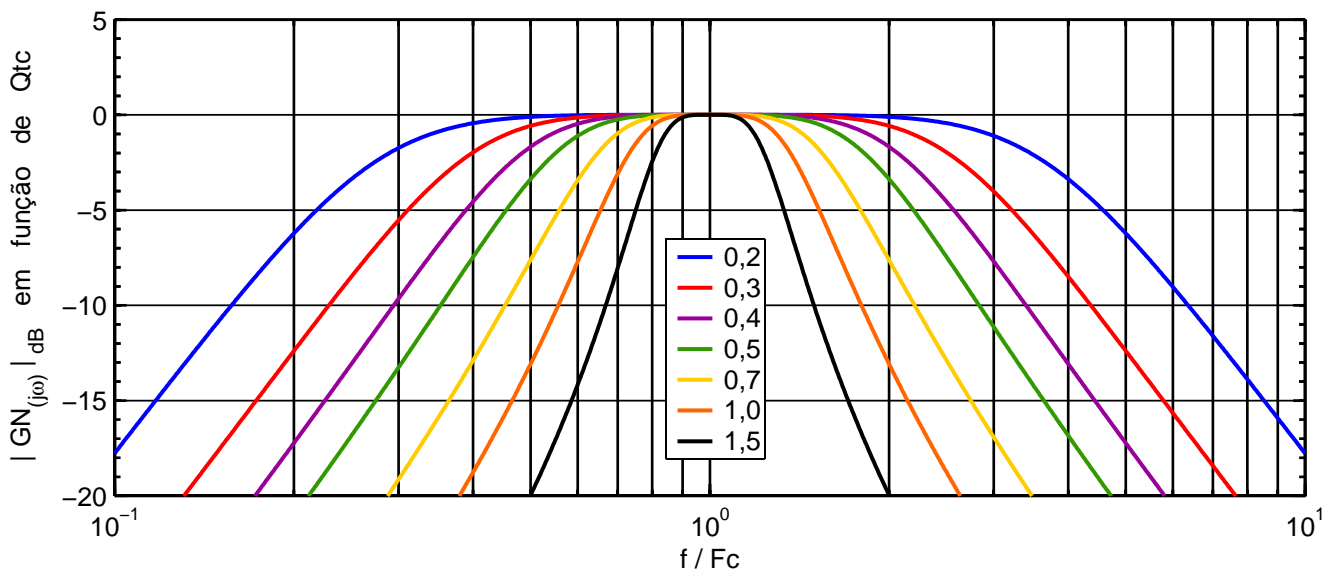
**Respostas normalizadas, em função do fator de amortecimento d, para diversos valores de Qtc.**



**Fig. 7 - Comportamento da resposta normalizada para  $d = 1,5$  e  $Q_{tc}$  variando de 0,2 a 1,5 .**

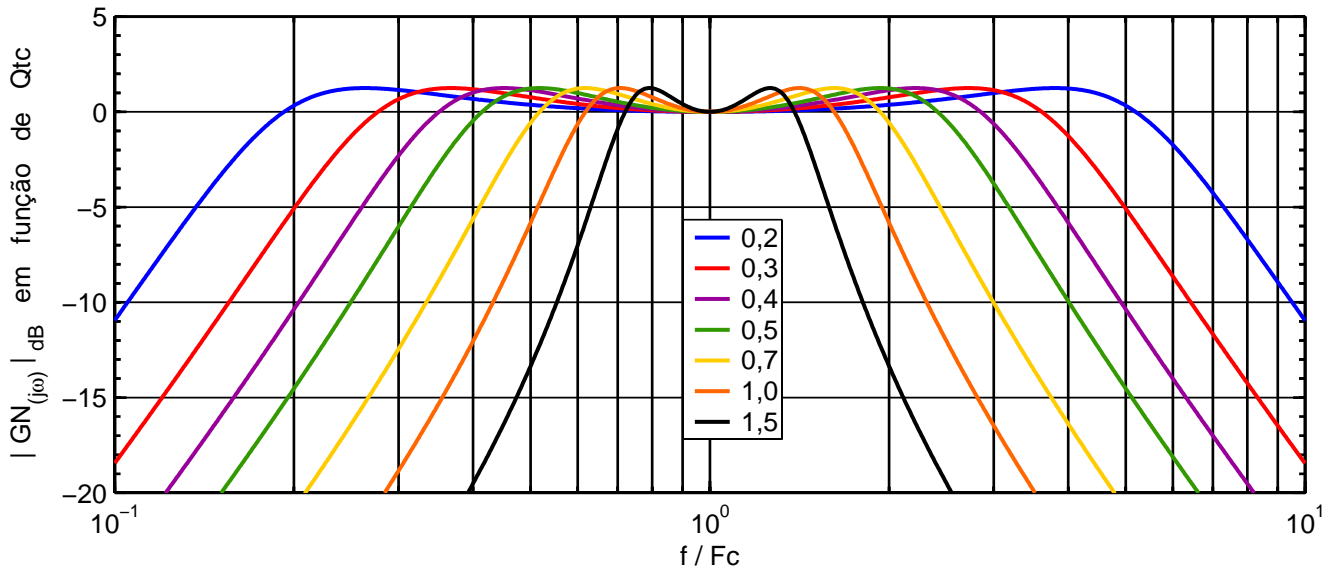


**Fig. 8 - Comportamento da resposta normalizada para  $d = 1,0$  e  $Q_{tc}$  variando de 0,2 a 1,5 .**

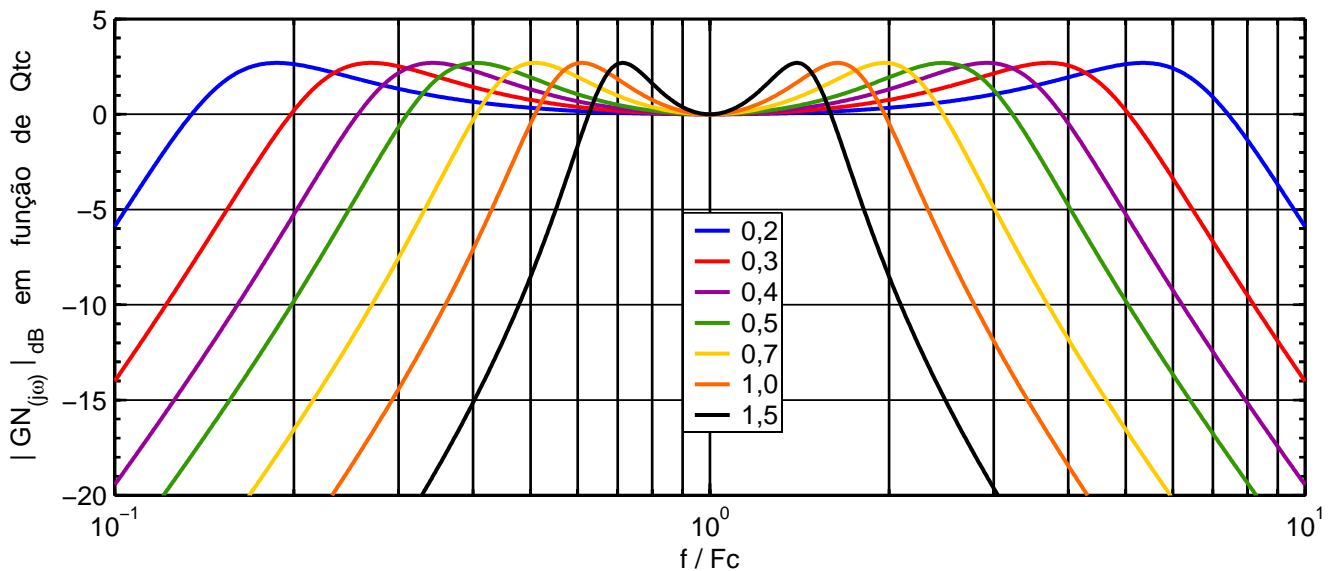


**Fig. 9 - Comportamento da resposta normalizada para  $d = 0,707$  (resposta Butterworth) e  $Q_{tc}$  variando de 0,2 a 1,5 .**

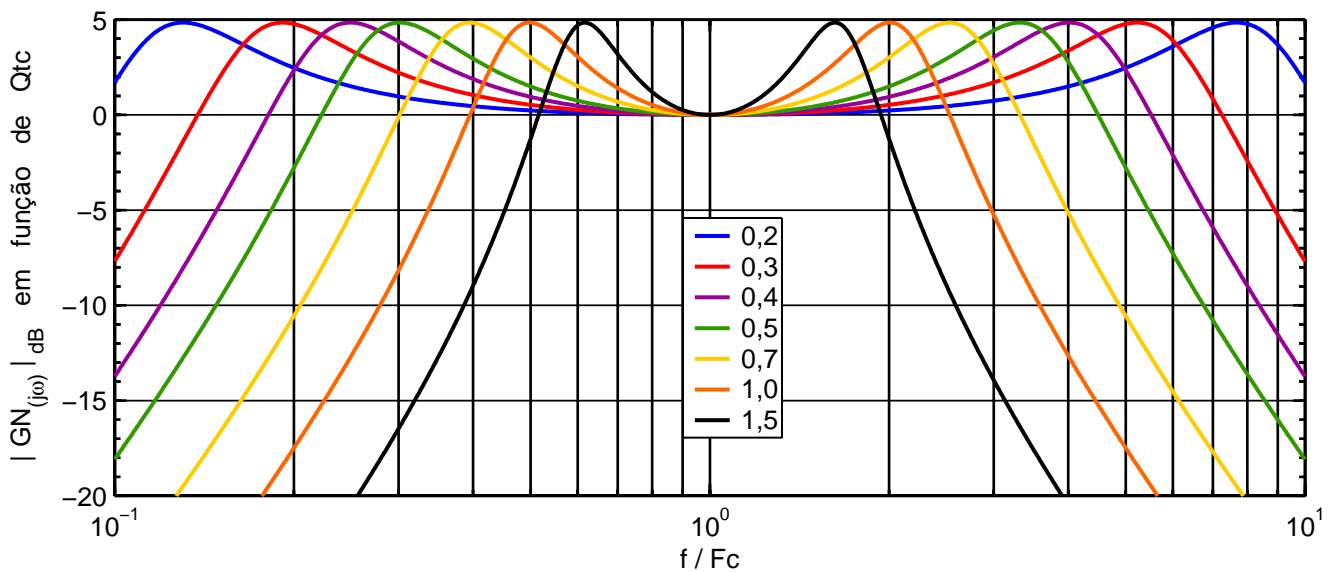
**Respostas normalizadas, em função do fator de amortecimento  $d$ , para diversos valores de  $Q_{tc}$ .**



**Fig. 10 - Comportamento da resposta normalizada para  $d = 0,5$  e  $Q_{tc}$  variando de 0,2 a 1,5 .**



**Fig. 11 - Comportamento da resposta normalizada para  $d = 0,4$  e  $Q_{tc}$  variando de 0,2 a 1,5 .**



**Fig. 12 - Comportamento da resposta normalizada para  $d = 0,3$  e  $Q_{tc}$  variando de 0,2 a 1,5 .**

### Respostas em função do fator de amortecimento $d$ , para diversos valores de $Q_{tc}$ .

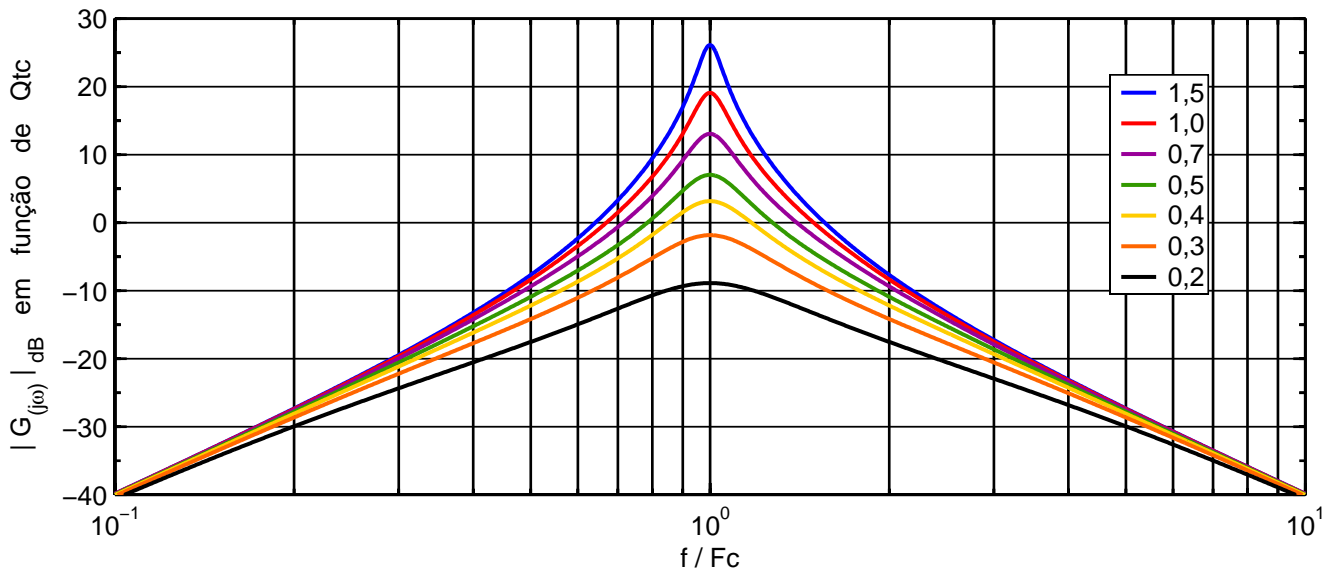


Fig. 13 - Comportamento da resposta para  $d = 1,5$  e  $Q_{tc}$  variando de 1,5 a 0,2 .

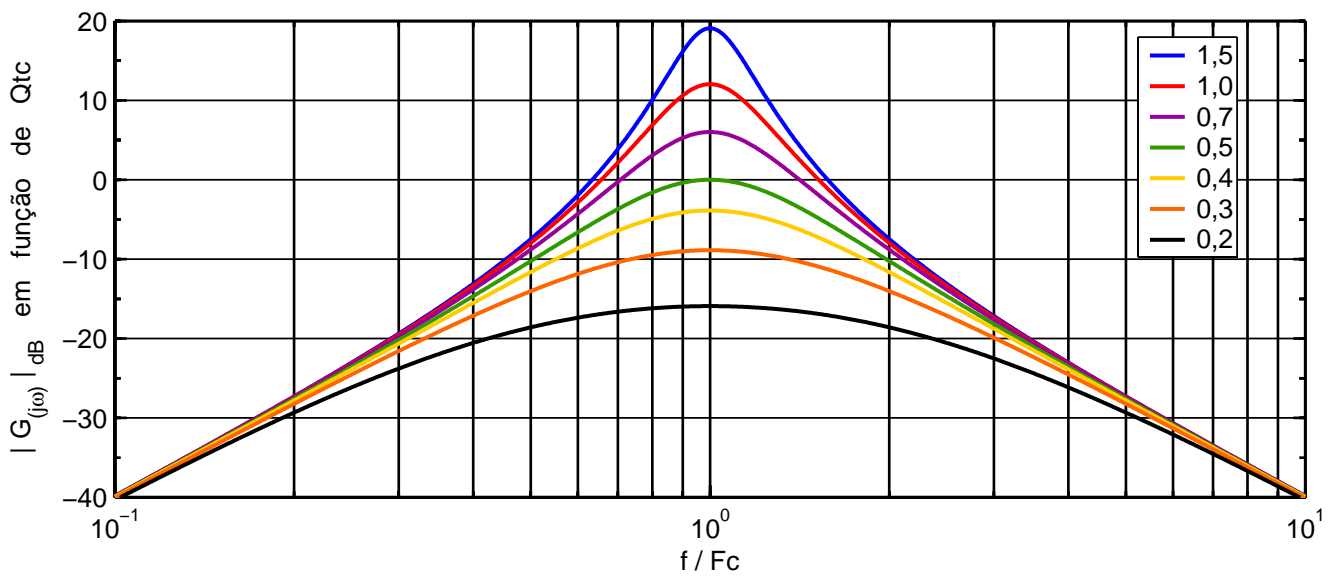


Fig. 14 - Comportamento da resposta para  $d = 1,0$  e  $Q_{tc}$  variando de 1,5 a 0,2 .

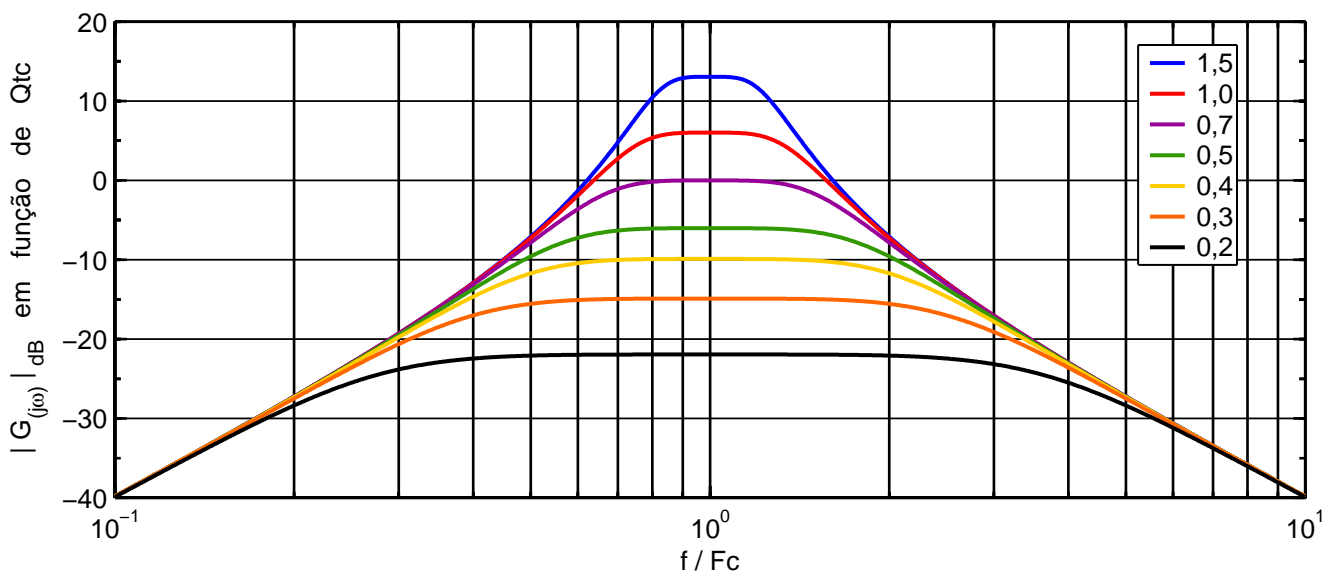


Fig. 15 - Comportamento da resposta para  $d = 0,707$  (resposta Butterworth) e  $Q_{tc}$  variando de 1,5 a 0,2 .

### Respostas em função do fator de amortecimento $d$ , para diversos valores de $Q_{tc}$ .

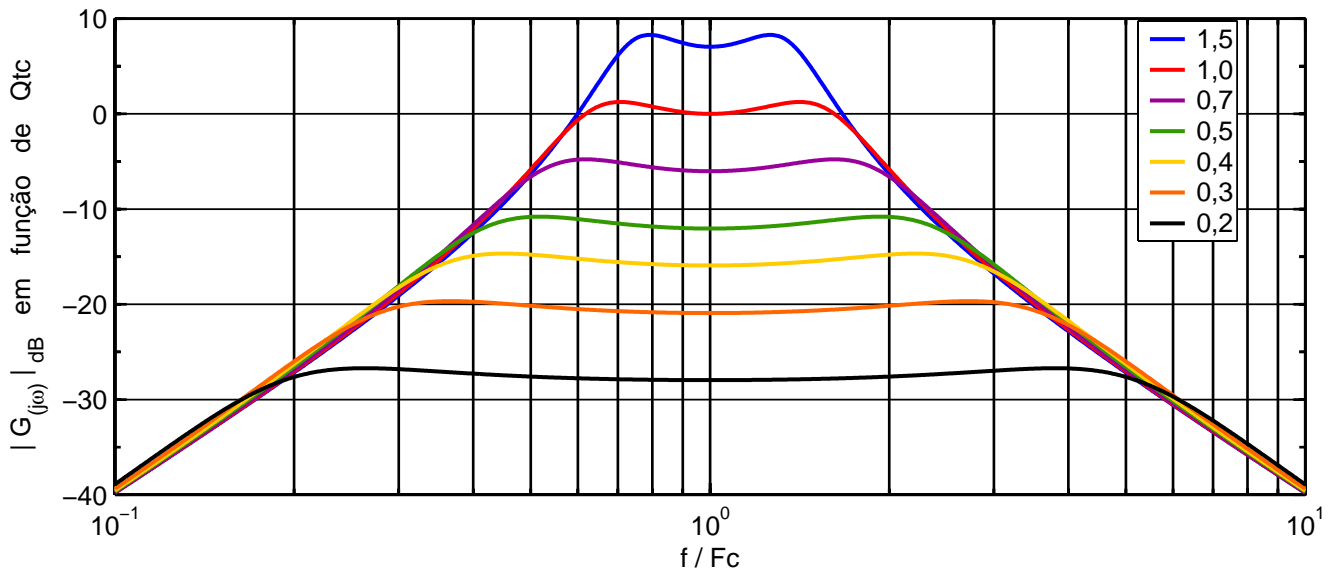


Fig. 16 - Comportamento da resposta para  $d = 0,5$  e  $Q_{tc}$  variando de 1,5 a 0,2 .

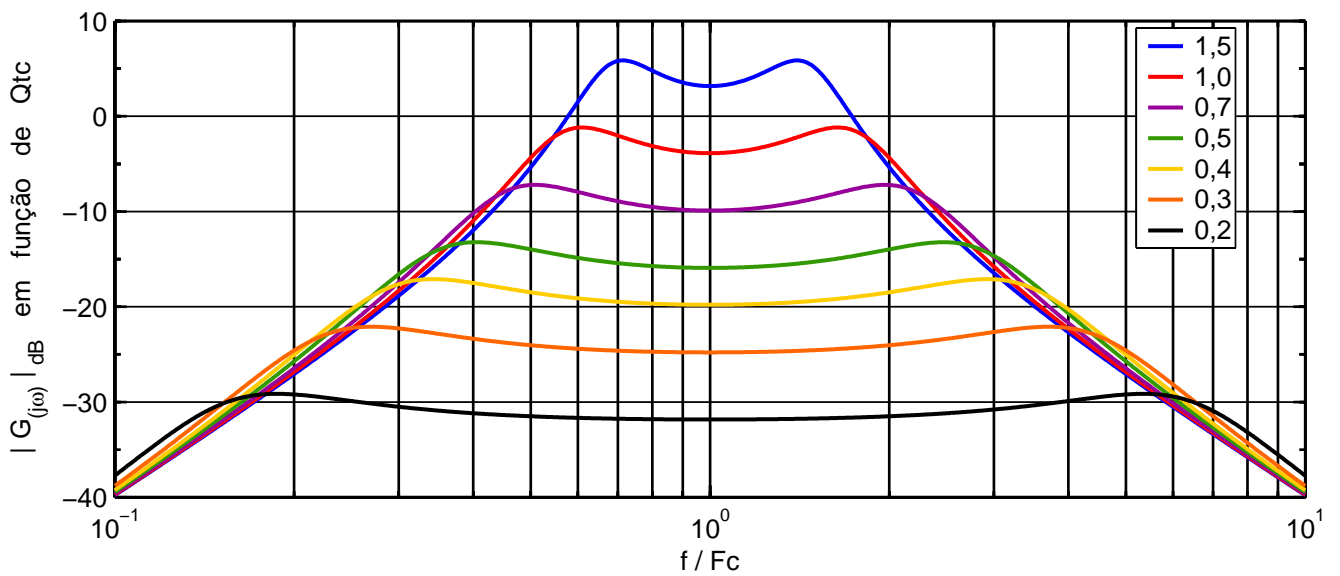


Fig. 17 - Comportamento da resposta para  $d = 0,4$  e  $Q_{tc}$  variando de 1,5 a 0,2 .

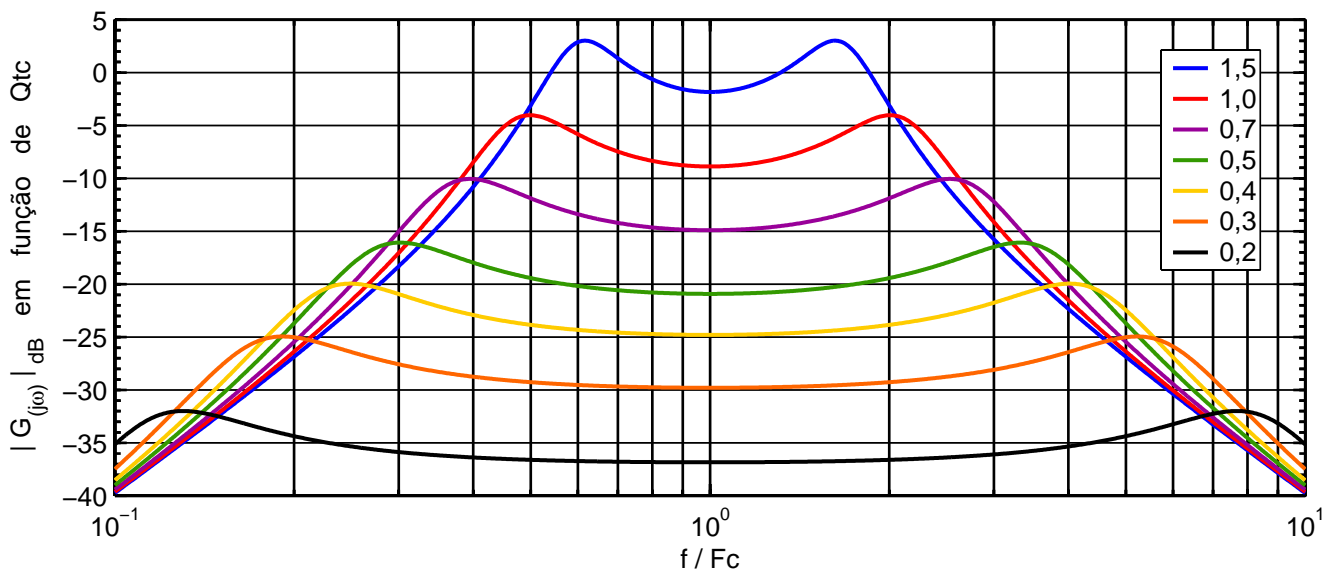


Fig. 18 - Comportamento da resposta para  $d = 0,3$  e  $Q_{tc}$  variando de 1,5 a 0,2 .

## Frequências de Corte a -3 dB

$$\left| G_{N(j\omega_N)} \right| = \frac{1}{\sqrt{(2 \cdot d \cdot \gamma)^2 + (\gamma^2 - 1)^2}} \quad \therefore \quad \left| G_{N(j\omega_{3N})} \right| = \frac{1}{\sqrt{2}} = \frac{1}{\sqrt{(2 \cdot d \cdot \gamma_3)^2 + (\gamma_3^2 - 1)^2}}$$

$$\left| G_{N(j\omega_{3N})} \right|^2 = \frac{1}{2} = \frac{1}{(2 \cdot d \cdot \gamma_3)^2 + (\gamma_3^2 - 1)^2}$$

$$2 = (2 \cdot d \cdot \gamma_3)^2 + (\gamma_3^2 - 1)^2 = 4 \cdot d^2 \cdot \gamma_3^2 + \gamma_3^4 - 2 \cdot \gamma_3^2 + 1$$

$$2 = \gamma_3^4 + (4 \cdot d^2 - 2) \cdot \gamma_3^2 + 1$$

$$\gamma_3^4 + (4 \cdot d^2 - 2) \cdot \gamma_3^2 - 1 = 0$$

$$\gamma_3^2 = x \quad \therefore \quad x^2 + (4 \cdot d^2 - 2) \cdot x - 1 = 0$$

$$x = -\frac{4 \cdot d^2 - 2}{2} \pm \frac{\sqrt{(4 \cdot d^2 - 2)^2 + 4}}{2} = 1 - 2 \cdot d^2 \pm \sqrt{(1 - 2 \cdot d^2)^2 + 1}$$

$$x = 1 - 2 \cdot d^2 \pm \sqrt{(1 - 2 \cdot d^2)^2 + 1}$$

$$c = 1 - 2 \cdot d^2 \quad (17) \quad ; \quad c \pm \sqrt{c^2 + 1} = \gamma_3^2 = x \quad ; \quad \gamma_3 = \pm \sqrt{c \pm \sqrt{c^2 + 1}}$$

$$\text{Para } \gamma_3 \text{ real : } \gamma_3 = \pm \sqrt{c + \sqrt{c^2 + 1}}$$

$$a = \sqrt{c + \sqrt{c^2 + 1}} \quad (16) \quad ; \quad \gamma_3 = \pm a$$

$$\gamma_3 = \pm a = \frac{\frac{F_3}{F_C} - \frac{F_C}{F_3}}{B} \quad ; \quad \pm a \cdot B = \frac{F_3}{F_C} - \frac{F_C}{F_3} = \frac{F_3^2 - F_C^2}{F_C \cdot F_3}$$

$$\pm a \cdot B \cdot F_C \cdot F_3 = F_3^2 - F_C^2 \quad \therefore \quad F_3^2 \mp a \cdot B \cdot F_C \cdot F_3 - F_C^2 = 0$$

$$F_3 = \mp \frac{a \cdot B \cdot F_C}{2} \pm \sqrt{\left(\frac{a \cdot B \cdot F_C}{2}\right)^2 + F_C^2}$$

Para  $F_3$  sempre positiva: 
$$F_3 = \mp \frac{a \cdot B \cdot F_C}{2} + \sqrt{\left(\frac{a \cdot B \cdot F_C}{2}\right)^2 + F_C^2}$$

$$F_3 = F_C \cdot \left[ \mp \frac{a \cdot B}{2} + \sqrt{\left(\frac{a \cdot B}{2}\right)^2 + 1} \right]$$

$$\frac{F_H}{F_C} = \frac{a \cdot B}{2} + \sqrt{\left(\frac{a \cdot B}{2}\right)^2 + 1} \quad ; \quad \frac{F_L}{F_C} = -\frac{a \cdot B}{2} + \sqrt{\left(\frac{a \cdot B}{2}\right)^2 + 1}$$

$$B = \frac{1}{2 \cdot d \cdot Q_{tc}} \quad ; \quad \frac{a \cdot B}{2} = b = \frac{a}{4 \cdot d \cdot Q_{tc}} \quad (15)$$

$$\frac{F_H}{F_C} = \frac{a}{4 \cdot d \cdot Q_{tc}} + \sqrt{\left(\frac{a}{4 \cdot d \cdot Q_{tc}}\right)^2 + 1}$$

$$\frac{F_L}{F_C} = -\frac{a}{4 \cdot d \cdot Q_{tc}} + \sqrt{\left(\frac{a}{4 \cdot d \cdot Q_{tc}}\right)^2 + 1}$$

$$\frac{F_{H,L}}{F_C} = \pm \frac{a \cdot B}{2} + \sqrt{\left(\frac{a \cdot B}{2}\right)^2 + 1} \quad \therefore \quad \frac{F_{H,L}}{F_C} = \pm b + \sqrt{b^2 + 1} \quad (14)$$

$$\frac{F_H}{F_C} = \frac{a \cdot B}{2} + \sqrt{\left(\frac{a \cdot B}{2}\right)^2 + 1} \quad ; \quad \frac{F_L}{F_C} = -\frac{a \cdot B}{2} + \sqrt{\left(\frac{a \cdot B}{2}\right)^2 + 1}$$

$$\frac{F_H}{F_C} - \frac{F_L}{F_C} = \frac{F_H - F_L}{F_C} = a \cdot B$$

$$\frac{F_L}{F_S} = (1 + \alpha) \cdot \left(-b + \sqrt{b^2 + 1}\right) \quad \therefore \quad V_{bl} = \frac{V_{as}}{\frac{(F_L/F_S)^2}{\left(-b + \sqrt{b^2 + 1}\right)^2} - 1} \quad (18)$$



$$\frac{F_H \cdot F_L}{F_C \cdot F_C} = \left( \frac{a \cdot B}{2} + \sqrt{\left(\frac{a \cdot B}{2}\right)^2 + 1} \right) \cdot \left( -\frac{a \cdot B}{2} + \sqrt{\left(\frac{a \cdot B}{2}\right)^2 + 1} \right)$$

$$\frac{F_H \cdot F_L}{F_C^2} = \left(\frac{a \cdot B}{2}\right)^2 + 1 - \left(\frac{a \cdot B}{2}\right)^2 = 1$$

$$F_H \cdot F_L = F_C^2$$

### Banda Passante

A banda Passante  $F_H - F_L$  é dada por  $\frac{F_H - F_L}{F_C} = a \cdot B$

Como  $\frac{a \cdot B}{2} = \frac{a}{4 \cdot d \cdot Q_{tc}}$ , então  $a \cdot B = \frac{a}{2 \cdot d \cdot Q_{tc}}$ . Logo,

$$F_H - F_L = \frac{a \cdot F_C}{2 \cdot d \cdot Q_{tc}} \quad \therefore \quad F_H - F_L = \frac{a \cdot F_s \cdot \sqrt{1 + \alpha}}{2 \cdot d \cdot Q_{ts} \cdot \sqrt{1 + \alpha}} \quad \therefore \quad F_H - F_L = \frac{a \cdot F_s}{2 \cdot d \cdot Q_{ts}}$$

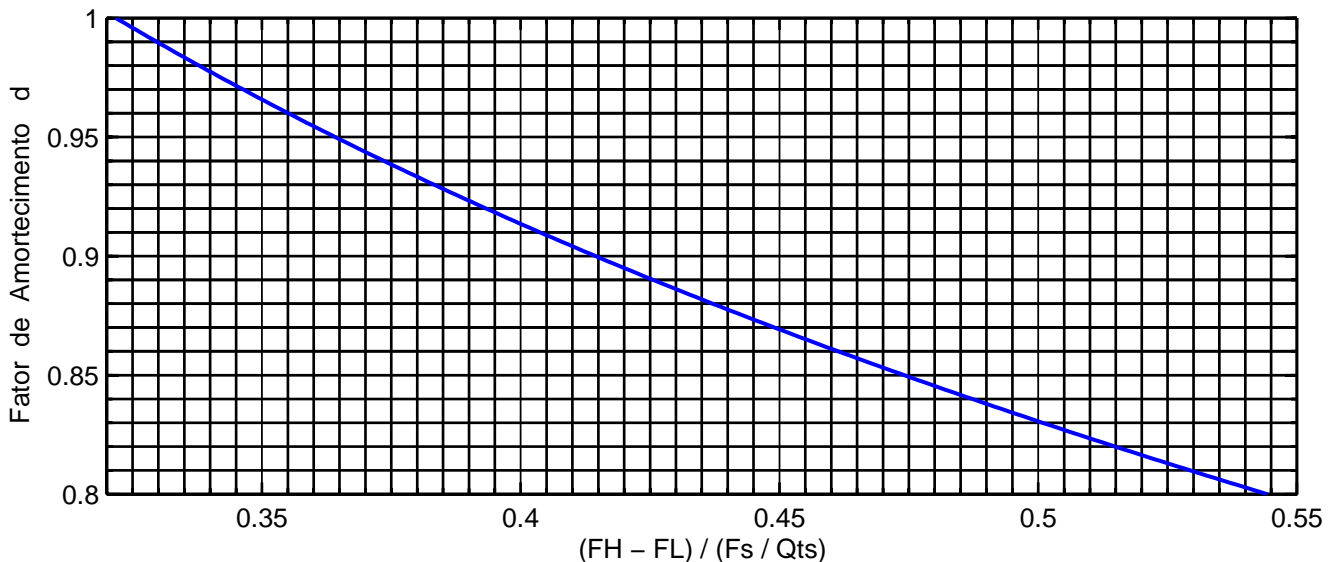
$$\frac{F_H - F_L}{\frac{F_C}{Q_{tc}}} = \frac{F_H - F_L}{\frac{F_s}{Q_{ts}}} = BW_N = \frac{a}{2 \cdot d} = \frac{\sqrt{1 - 2 \cdot d^2} + \sqrt{\left(1 - 2 \cdot d^2\right)^2 + 1}}{2 \cdot d}$$

Resolvendo a equação acima, poderemos explicitar **d** em função da banda passante normalizada,  $BW_N$ :

$$d = \frac{1}{2} \cdot \sqrt{\frac{1}{BW_N^2 + 1} + \sqrt{\frac{1}{(BW_N^2 + 1)^2} + \frac{1}{BW_N^2 \cdot (BW_N^2 + 1)}}}$$

**Resolução horizontal: 0,05**

**Resolução vertical: 0,01**

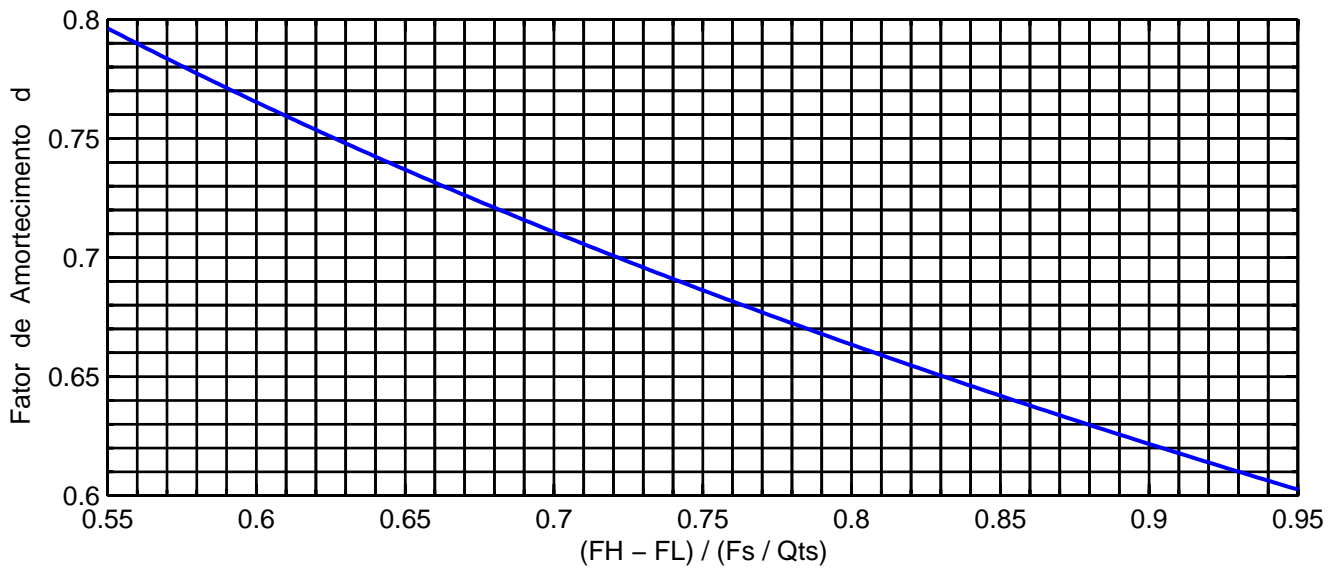


**Fig. 19 - Banda passante normalizada em função do fator de amortecimento.**

**Resolução horizontal: 0,01**

**Fig. 20**

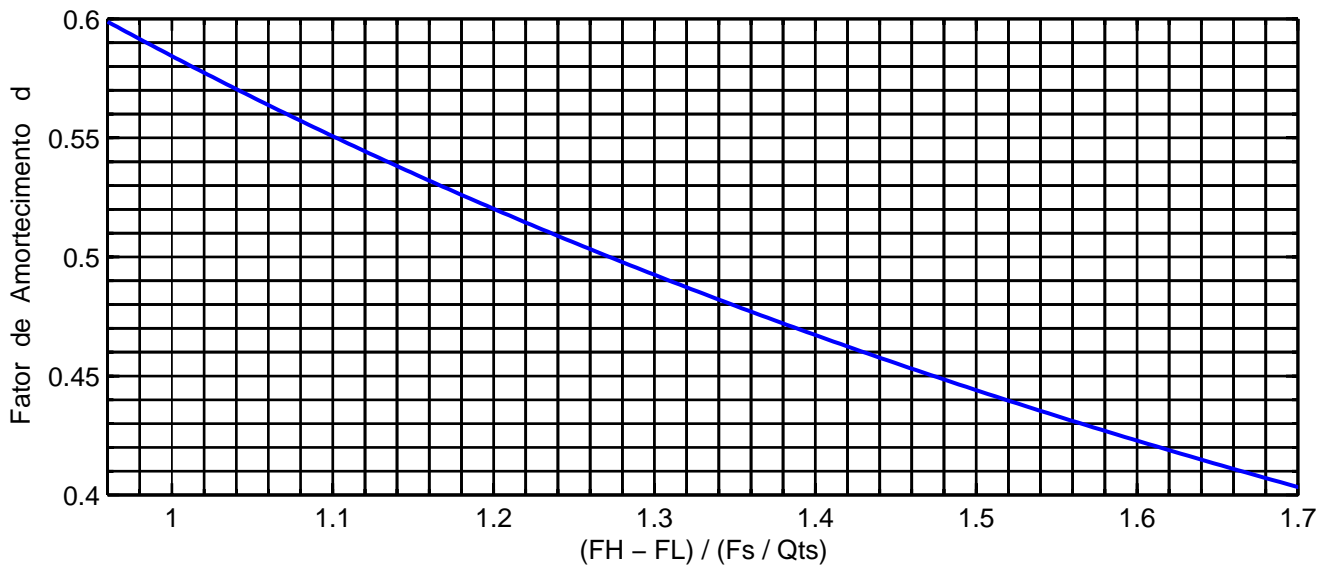
**Resolução vertical: 0,01**



**Resolução horizontal: 0,02**

**Fig. 21**

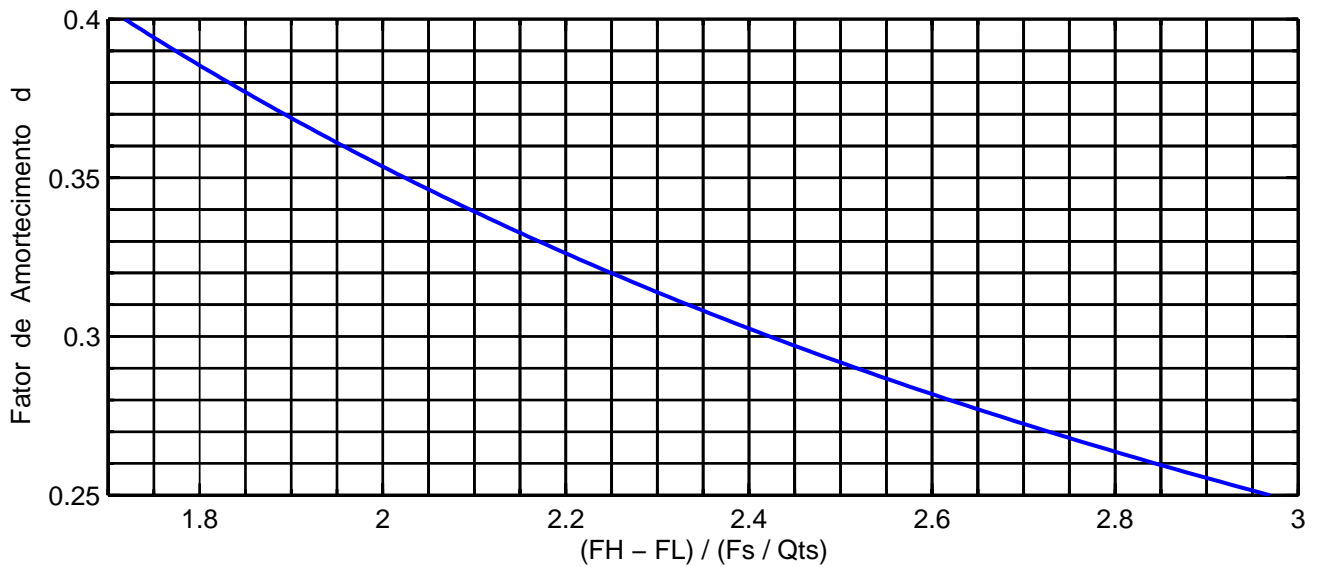
**Resolução vertical: 0,01**



**Resolução horizontal: 0,05**

**Fig. 22**

**Resolução vertical: 0,01**



Assim, vemos que a banda passante é função de  $d$  (o fator de amortecimento do sistema), e do cociente  $F_s/Q_{ts}$ . Desse modo, escolhido o fator de amortecimento, o cociente  $\frac{F_H - F_L}{F_s/Q_{ts}}$  fica determinado. Essa quantidade pode ser entendida como a banda passante, normalizada em relação à frequência  $F_s/Q_{ts}$ . Escolhido o valor desejado para  $F_H - F_L$ , o cociente  $F_s/Q_{ts}$  fica, então, determinado, o que permite a utilização de qualquer falante, desde que o valor calculado para  $F_s/Q_{ts}$  seja respeitado.

Para uma resposta Butterworth,  $a = 1$  e  $d = 0,707 = 1/\sqrt{2}$

$$\frac{F_s}{Q_{ts}} = \frac{F_H - F_L}{\frac{a}{2 \cdot d}} = \frac{F_H - F_L}{\frac{\sqrt{2}}{2}}$$

Para uma banda passante de 40 a 140 Hz, teremos  $\frac{F_s}{Q_{ts}} = \frac{140 - 100}{\frac{\sqrt{2}}{2}} = 100 \cdot \sqrt{2}$ .

Desse modo, quaisquer falantes onde  $F_s/Q_{ts} = 141$  poderão ser usados.

## Picos na Resposta

Os eventuais picos na resposta podem ser determinados pesquisando-se os pontos de máximo da resposta.

Para isso, podemos igualar a 0 a derivada de  $\left| G_{N(j\omega_N)} \right|^2$ , em relação a  $\gamma$ , para a obtenção dos valores de  $\gamma$  que tornam o ganho máximo, conforme o desenvolvimento abaixo:

$$\left| G_{N(j\omega_N)} \right|^2 = \frac{1}{(2 \cdot d \cdot \gamma)^2 + (\gamma^2 - 1)^2} = \frac{1}{4 \cdot d^2 \cdot \gamma^2 + \gamma^4 - 2 \cdot \gamma^2 + 1} = \frac{1}{\gamma^4 + 2 \cdot (2 \cdot d^2 - 1) \cdot \gamma^2 + 1}$$

$$\frac{d}{d\gamma} \left[ \left| G_{N(j\omega_N)} \right|^2 \right] = \frac{- \left[ 4 \cdot \gamma^3 + 4 \cdot (2 \cdot d^2 - 1) \cdot \gamma \right]}{\left[ \gamma^4 + 2 \cdot (2 \cdot d^2 - 1) \cdot \gamma^2 + 1 \right]^2} = 0$$

O que foi feito sabendo-se que a derivada do cociente  $\frac{u}{v}$  é igual a  $\frac{v \cdot u' - u \cdot v'}{v^2}$  sendo que  $(')$  representa a derivada da função.

Igualando a zero a derivada, obteremos os valores de gama que tornam máxima a função:

$$- \left[ 4 \cdot \gamma^3 + 4 \cdot (2 \cdot d^2 - 1) \cdot \gamma \right] = 0 \quad \therefore \quad 4 \cdot \gamma^3 + 4 \cdot (2 \cdot d^2 - 1) \cdot \gamma = 0 \quad \therefore \quad \gamma^2 + 2 \cdot d^2 - 1 = 0$$

$$\gamma_M^2 + 2 \cdot d^2 - 1 = 0 \quad \therefore \quad \gamma_M^2 = 1 - 2 \cdot d^2 \quad \therefore \quad \gamma_M = \pm \sqrt{1 - 2 \cdot d^2}$$

$$\left| G_{N(j\omega_N)} \right|_{\text{MAX}}^2 = \frac{1}{(2 \cdot d \cdot \gamma_M)^2 + (\gamma_M^2 - 1)^2} = R^2$$

$$R^2 = \frac{1}{4 \cdot d^2 \cdot \gamma_M^2 + (\gamma_M^2 - 1)^2} = \frac{1}{4 \cdot d^2 \cdot (1 - 2 \cdot d^2) + (1 - 2 \cdot d^2 - 1)^2} = \frac{1}{4 \cdot d^2 - 8 \cdot d^4 + 4 \cdot d^4}$$

$$R^2 = \frac{1}{4 \cdot d^2 - 4 \cdot d^4} = \frac{1}{4 \cdot d^2 \cdot (1 - 2 \cdot d^2)} \quad \therefore \quad R = \frac{1}{\sqrt{4 \cdot d^2 \cdot (1 - 2 \cdot d^2)}}$$

$$R_{(\text{dB})} = 20 \cdot \text{Log} \left[ \frac{1}{\sqrt{4 \cdot d^2 \cdot (1 - 2 \cdot d^2)}} \right] \quad \text{que pode ser simplificada, conforme abaixo:}$$

$$R_{(\text{dB})} = -10 \cdot \text{Log} [4 \cdot d^2 \cdot (1 - d^2)] \quad \text{para } d \leq 0,707 \quad ; \quad \text{para } d > 0,707 \text{ então } R=0 \quad (13)$$

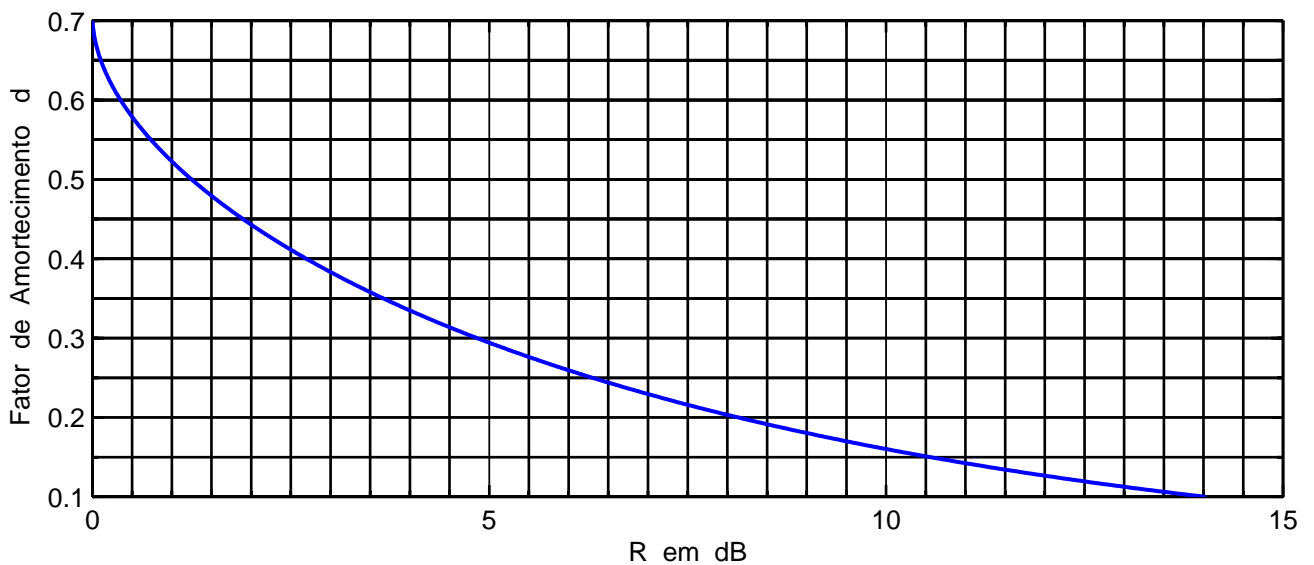


Fig. 23 - Pico na resposta em função do fator de amortecimento.

$$\frac{F_H - F_L}{a \cdot F_C} = B = \frac{1}{2 \cdot d \cdot Q_{tc}} \quad \therefore \quad F_H - F_L = \frac{a \cdot F_s}{2 \cdot d \cdot Q_{ts}}$$

$$\gamma = \frac{\omega_N - \frac{1}{\omega_N}}{B} = 2 \cdot d \cdot Q_{tc} \cdot \left( \omega_N - \frac{1}{\omega_N} \right)$$

## Frequências dos Picos

As frequências que correspondem aos picos na resposta podem ser obtidas conforme abaixo:

$$\gamma_M = \pm \sqrt{1 - 2 \cdot d^2}$$

$$\gamma_M \cdot B \cdot F_c \cdot F_M = F_M^2 - F_c^2 \quad \therefore \quad F_M^2 - \gamma_M \cdot B \cdot F_c \cdot F_M - F_c^2 = 0$$

$$F_M = \frac{\gamma_M \cdot B \cdot F_c}{2} \pm \sqrt{\left(\frac{\gamma_M \cdot B \cdot F_c}{2}\right)^2 + F_c^2}$$

$$\frac{F_M}{F_c} = \frac{\gamma_M \cdot B}{2} + \sqrt{\left(\frac{\gamma_M \cdot B}{2}\right)^2 + 1} \quad (\text{para } F_M > 0 \text{ interessa apenas a raiz soma})$$

$$\frac{F_M}{F_c} = \pm \frac{B \cdot \sqrt{1 - 2 \cdot d^2}}{2} + \sqrt{\left(\frac{B \cdot \sqrt{1 - 2 \cdot d^2}}{2}\right)^2 + 1}$$

$$\frac{F_{M2}}{F_c} = \frac{B \cdot \sqrt{1 - 2 \cdot d^2}}{2} + \sqrt{\left(\frac{B \cdot \sqrt{1 - 2 \cdot d^2}}{2}\right)^2 + 1}$$

$$\frac{F_{M1}}{F_c} = -\frac{B \cdot \sqrt{1 - 2 \cdot d^2}}{2} + \sqrt{\left(\frac{B \cdot \sqrt{1 - 2 \cdot d^2}}{2}\right)^2 + 1}$$

### Exemplo:

Em uma caixa band pass simétrica, de quarta ordem, calcule a amplitude dos picos e suas respectivas frequências, sabendo-se que  $d = 0,440$ ,  $B = 1$  e  $F_c = 74,83$  Hz.

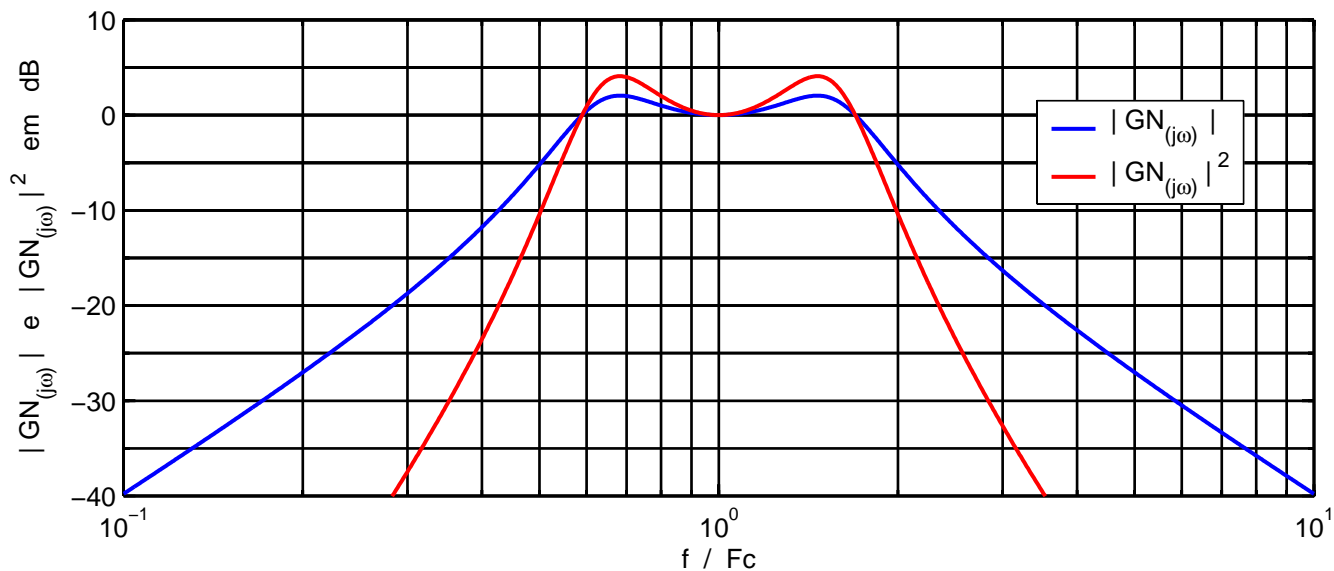
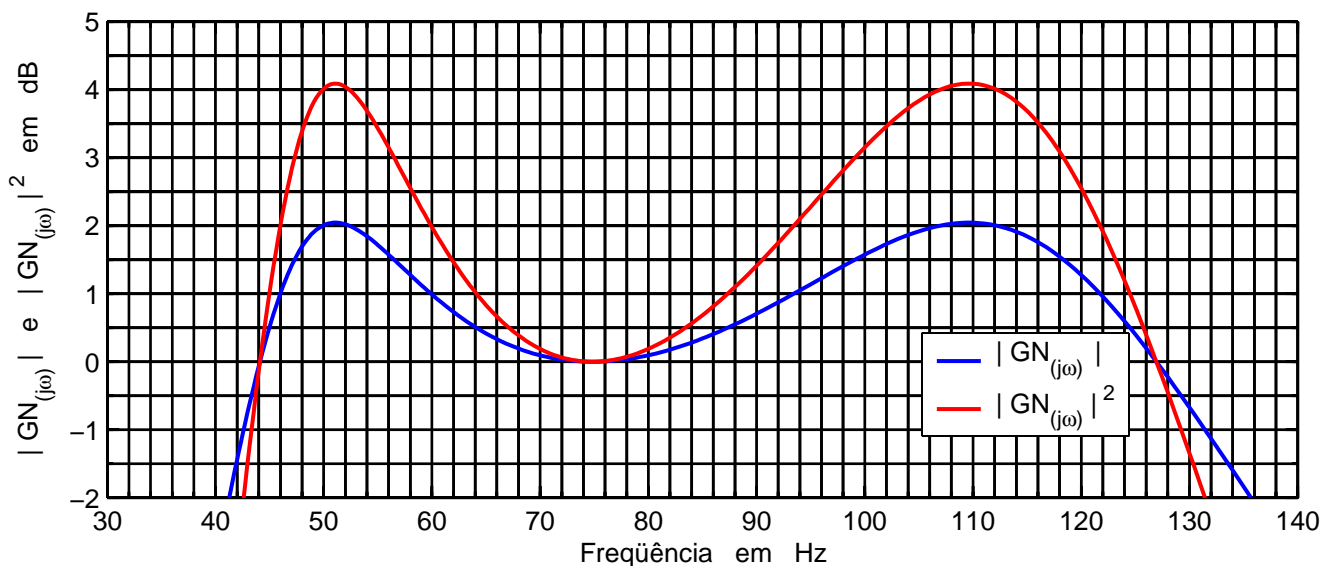
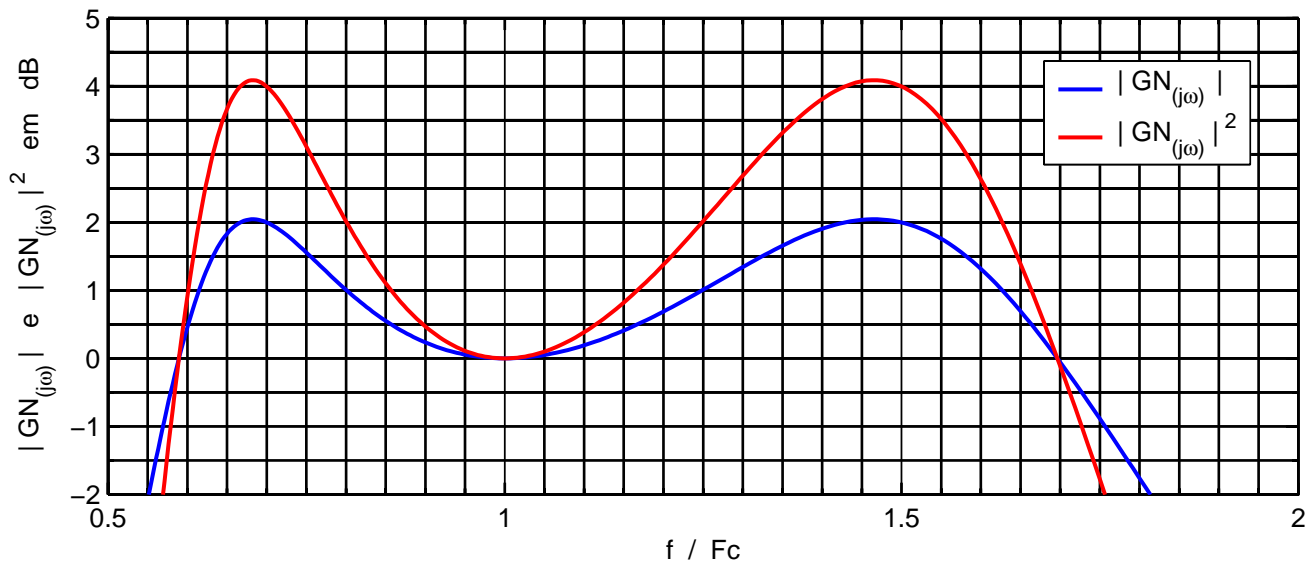
$$R_{(dB)} = -10 \cdot \text{Log} \left[ 4 \cdot d^2 \cdot (1 - d^2) \right] = -10 \cdot \text{Log} \left[ 4 \cdot 0,44^2 \cdot (1 - 0,44^2) \right] = 2 \text{ dB}$$

$$\frac{F_{M2}}{F_c} = \frac{1 \cdot \sqrt{1 - 2 \cdot 0,44^2}}{2} + \sqrt{\left(\frac{1 \cdot \sqrt{1 - 2 \cdot 0,44^2}}{2}\right)^2 + 1} = 0,391 + 1,074 = 1,465$$

$$\frac{F_{M1}}{F_c} = -0,391 + 1,074 = 0,682$$

$$F_{M2} = 1,465 \cdot 74,83 = 109,7 \text{ Hz} \quad ; \quad F_{M1} = 0,682 \cdot 74,83 = 51,1 \text{ Hz}$$

Módulos do polinômio normalizado da resposta, e seu quadrado (para facilitar a derivação na pesquisa dos pontos de máximo), sendo  $d = 0,440$  ,  $B = 1$  e  $F_c = 74,83$  Hz.



## Determinação das Frequências $F_1$ e $F_2$ onde $\gamma = \pm 1$

$$\left| G_{N(j\omega_N)} \right| = \frac{1}{\sqrt{(2 \cdot d \cdot \gamma)^2 + (\gamma^2 - 1)^2}} \quad \therefore \quad \left| G_{N(j\omega_{1,2N})} \right| = \frac{1}{2 \cdot d} = \frac{1}{\sqrt{(2 \cdot d \cdot \gamma_{1,2})^2 + (\gamma_{1,2}^2 - 1)^2}}$$

Conforme podemos constatar acima, para  $\gamma = \pm 1$  teremos  $\left| G_{N(j\omega_{1,2N})} \right| = \frac{1}{2 \cdot d}$  o que leva a:

$$\left| G_{N(j\omega_{1,2N})} \right|^2 = \frac{1}{4 \cdot d^2} = \frac{1}{(2 \cdot d \cdot \gamma_{1,2})^2 + (\gamma_{1,2}^2 - 1)^2}$$

$$4 \cdot d^2 = (2 \cdot d \cdot \gamma_{1,2})^2 + (\gamma_{1,2}^2 - 1)^2 = 4 \cdot d^2 \cdot \gamma_{1,2}^2 + \gamma_{1,2}^4 - 2 \cdot \gamma_{1,2}^2 + 1$$

$$4 \cdot d^2 = \gamma_{1,2}^4 + (4 \cdot d^2 - 2) \cdot \gamma_{1,2}^2 + 1$$

$$\gamma_{1,2}^4 + (4 \cdot d^2 - 2) \cdot \gamma_{1,2}^2 + 1 - 4 \cdot d^2 = 0$$

$$\gamma_{1,2}^2 = x \quad \therefore \quad x^2 + (4 \cdot d^2 - 2) \cdot x + 1 - 4 \cdot d^2 = 0$$

$$x = -\frac{4 \cdot d^2 - 2}{2} \pm \frac{\sqrt{(4 \cdot d^2 - 2)^2 - 4 \cdot (1 - 4 \cdot d^2)}}{2} = 1 - 2 \cdot d^2 \pm \sqrt{(1 - 2 \cdot d^2)^2 + 4 \cdot d^2 - 1}$$

$$x = 1 - 2 \cdot d^2 \pm \sqrt{(1 - 2 \cdot d^2)^2 + 4 \cdot d^2 - 1}$$

$$x = 1 - 2 \cdot d^2 \pm \sqrt{1 - 4 \cdot d^2 + 4 \cdot d^4 + 4 \cdot d^2 - 1} = 1 - 2 \cdot d^2 \pm \sqrt{4 \cdot d^4} = 1 - 2 \cdot d^2 \pm 2 \cdot d^2$$

$$\text{Para } \gamma = \pm 1 \quad \Rightarrow \quad x = 1 - 2 \cdot d^2 + 2 \cdot d^2 = 1$$

$$\gamma_{1,2}^2 = x = 1 \quad \therefore \quad \gamma_{1,2} = \pm \sqrt{x} = \pm \sqrt{1} = \pm 1$$

$$\gamma_{1,2} = \pm 1 = \frac{\frac{F_{1,2}}{F_C} - \frac{F_C}{F_{1,2}}}{B} ; \quad \pm B = \frac{F_{1,2}}{F_C} - \frac{F_C}{F_{1,2}} = \frac{F_{1,2}^2 - F_C^2}{F_C \cdot F_{1,2}}$$

$$\pm B \cdot F_C \cdot F_{1,2} = F_{1,2}^2 - F_C^2 \quad \therefore \quad F_{1,2}^2 \mp B \cdot F_C \cdot F_{1,2} - F_C^2 = 0$$

$$F_{1,2} = \mp \frac{\mathbf{B} \cdot \mathbf{F}_C}{2} \pm \sqrt{\left(\frac{\mathbf{B} \cdot \mathbf{F}_C}{2}\right)^2 + F_C^2}$$

Para  $F_1$  e  $F_2$  sempre positivas:  $F_{1,2} = \mp \frac{\mathbf{B} \cdot \mathbf{F}_C}{2} + \sqrt{\left(\frac{\mathbf{B} \cdot \mathbf{F}_C}{2}\right)^2 + F_C^2}$

$$F_{1,2} = F_C \cdot \left[ \mp \frac{\mathbf{B}}{2} + \sqrt{\left(\frac{\mathbf{B}}{2}\right)^2 + 1} \right]$$

$$\frac{F_1}{F_C} = -\frac{\mathbf{B}}{2} + \sqrt{\left(\frac{\mathbf{B}}{2}\right)^2 + 1} \quad ; \quad \frac{F_2}{F_C} = \frac{\mathbf{B}}{2} + \sqrt{\left(\frac{\mathbf{B}}{2}\right)^2 + 1}$$

$$\mathbf{B} = \frac{1}{2 \cdot d \cdot Q_{tc}}$$

$$\frac{F_{2,1}}{F_C} = \pm \frac{\mathbf{B}}{2} + \sqrt{\left(\frac{\mathbf{B}}{2}\right)^2 + 1}$$

$$\frac{F_2}{F_C} = \frac{\mathbf{B}}{2} + \sqrt{\left(\frac{\mathbf{B}}{2}\right)^2 + 1} \quad ; \quad \frac{F_1}{F_C} = -\frac{\mathbf{B}}{2} + \sqrt{\left(\frac{\mathbf{B}}{2}\right)^2 + 1}$$

$$\frac{F_2}{F_C} - \frac{F_1}{F_C} = \frac{\mathbf{B}}{2} + \sqrt{\left(\frac{\mathbf{B}}{2}\right)^2 + 1} + \frac{\mathbf{B}}{2} - \sqrt{\left(\frac{\mathbf{B}}{2}\right)^2 + 1} = \mathbf{B}$$

$$\mathbf{B} = \frac{F_2 - F_1}{F_C} = \frac{F_2 - F_1}{\sqrt{F_2 \cdot F_1}} = \frac{F_2}{F_1} - \frac{F_1}{F_2}$$

$$\frac{F_H - F_L}{F_C} = a \cdot \mathbf{B} = a \cdot \frac{F_2 - F_1}{F_C}$$

$$F_H - F_L = a \cdot (F_2 - F_1)$$

$$\frac{F_2}{F_C} \cdot \frac{F_1}{F_C} = \frac{F_2 \cdot F_1}{F_C^2} = \left[ \frac{\mathbf{B}}{2} + \sqrt{\left(\frac{\mathbf{B}}{2}\right)^2 + 1} \right] \cdot \left[ -\frac{\mathbf{B}}{2} + \sqrt{\left(\frac{\mathbf{B}}{2}\right)^2 + 1} \right]$$



$$\frac{F_2 \cdot F_1}{F_C^2} = \left(\frac{B}{2}\right)^2 + 1 - \left(\frac{B}{2}\right)^2 = 1$$

$$F_C^2 = F_2 \cdot F_1 = F_H \cdot F_L$$

### Resposta Butterworth

No caso de uma resposta Butterworth,  $a = 1 \Rightarrow c = 0 \Rightarrow d = \frac{1}{\sqrt{2}}$

$$\text{Como } a = 1, \quad \frac{F_H}{F_C} = \frac{B}{2} + \sqrt{\left(\frac{B}{2}\right)^2 + 1} \quad ; \quad \frac{F_L}{F_C} = -\frac{B}{2} + \sqrt{\left(\frac{B}{2}\right)^2 + 1}$$

$$\text{E sendo} \quad \frac{F_2}{F_C} = \frac{B}{2} + \sqrt{\left(\frac{B}{2}\right)^2 + 1} \quad ; \quad \frac{F_1}{F_C} = -\frac{B}{2} + \sqrt{\left(\frac{B}{2}\right)^2 + 1}$$

Concluimos que, quando a resposta é do tipo Butterworth,  $F_H = F_2$  e  $F_L = F_1$ .

### Outra solução para $\gamma$

Alem da solução anteriormente encontrada, para  $\gamma = \pm 1$ , existe uma outra, que coexiste com a primeira, sempre que  $d < \frac{1}{2}$ , onde  $\gamma$  será diferente de 1 mas  $\left|G_{N_{(j\omega 1, 2N)}}\right| = \frac{1}{2 \cdot d}$ , o que mostraremos abaixo.

Conforme vimos antes,  $x = 1 - 2 \cdot d^2 \pm 2 \cdot d^2$ . Tomando agora a solução diferença, temos:

$$x = 1 - 2 \cdot d^2 - 2 \cdot d^2 = 1 - 4 \cdot d^2 = \gamma^2 \quad \therefore \quad \gamma = \pm \sqrt{1 - 4 \cdot d^2}$$

Logo, para  $\gamma$  ser real,  $d$  deverá ser menor ou igual a 0,5. Sendo esta condição satisfeita, teremos mais dois valores de  $\gamma$  onde o módulo do ganho será, também, igual a  $\frac{1}{2 \cdot d}$ :

$$\gamma_{22} = \sqrt{1 - 4 \cdot d^2} \quad ; \quad \gamma_{11} = -\sqrt{1 - 4 \cdot d^2}$$

$$\gamma_{22,11} = \pm \sqrt{1 - 4 \cdot d^2} = \frac{\frac{F_{22,11}}{F_C} - \frac{F_C}{F_{22,11}}}{B} \quad \therefore \quad \frac{F_{22,11}}{F_C} - \frac{F_C}{F_{22,11}} = \pm B \cdot \sqrt{1 - 4 \cdot d^2}$$

$$\frac{F_{22}}{F_c} = \frac{B \cdot \sqrt{1 - 4 \cdot d^2}}{2} + \sqrt{\left(\frac{B \cdot \sqrt{1 - 4 \cdot d^2}}{2}\right)^2 + 1}$$

$$\frac{F_{11}}{F_c} = -\frac{B \cdot \sqrt{1 - 4 \cdot d^2}}{2} + \sqrt{\left(\frac{B \cdot \sqrt{1 - 4 \cdot d^2}}{2}\right)^2 + 1}$$

**Exemplo:**

Em uma caixa band pass simétrica, de quarta ordem, calcule as frequências  $F_2$  e  $F_1$ , sabendo-se que  $d = 0,440$ ,  $B = 1$  e  $F_c = 74,83$  Hz.

$$\left| G_{N_{(j\omega 1,2N)}} \right| = \frac{1}{2 \cdot d} = \frac{1}{2 \cdot 0,44} = 1,1364$$

$$\left| G_{N_{(j\omega 1,2N)}} \right|_{dB} = -20 \cdot \text{Log}(2 \cdot d) = -20 \cdot \text{Log}(2 \cdot 0,44) = 1,11 \text{ dB}$$

$$\frac{F_2}{F_c} = \frac{B}{2} + \sqrt{\left(\frac{B}{2}\right)^2 + 1} \quad \therefore \quad \frac{F_2}{F_c} = \frac{1}{2} + \sqrt{\left(\frac{1}{2}\right)^2 + 1} = 0,5 + 1,118 = 1,618$$

$$\frac{F_1}{F_c} = -\frac{B}{2} + \sqrt{\left(\frac{B}{2}\right)^2 + 1} \quad \therefore \quad \frac{F_1}{F_c} = -\frac{1}{2} + \sqrt{\left(\frac{1}{2}\right)^2 + 1} = -0,5 + 1,118 = 0,618$$

$$F_2 = F_c \cdot 1,680 = 74,83 \cdot 1,618 = 121,1 \text{ Hz}$$

$$F_1 = F_c \cdot 0,618 = 74,83 \cdot 0,618 = 46,2 \text{ Hz}$$

Como  $d < 0,5$ , teremos ainda  $\gamma_{22,11} = \pm \sqrt{1 - 4 \cdot d^2} = \pm \sqrt{1 - 4 \cdot 0,44^2} = \pm 0,4750$

$$\frac{F_{22}}{F_c} = \frac{1 \cdot \sqrt{1 - 4 \cdot 0,44^2}}{2} + \sqrt{\left(\frac{1 \cdot \sqrt{1 - 4 \cdot 0,44^2}}{2}\right)^2 + 1} = 0,2375 + 1,0278 = 1,2653$$

$$\frac{F_{11}}{F_c} = -\frac{B \cdot \sqrt{1 - 4 \cdot d^2}}{2} + \sqrt{\left(\frac{B \cdot \sqrt{1 - 4 \cdot d^2}}{2}\right)^2 + 1} = -0,2375 + 1,0278 = 0,7903$$

$$F_{22} = F_c \cdot 1,2653 = 74,83 \cdot 1,2653 = 94,7 \text{ Hz}$$

$$F_{11} = F_c \cdot 0,7903 = 74,83 \cdot 0,7903 = 59,1 \text{ Hz}$$

Respostas para  $d = 0,440$  ,  $B = 1$  e  $F_c = 74,83$  Hz

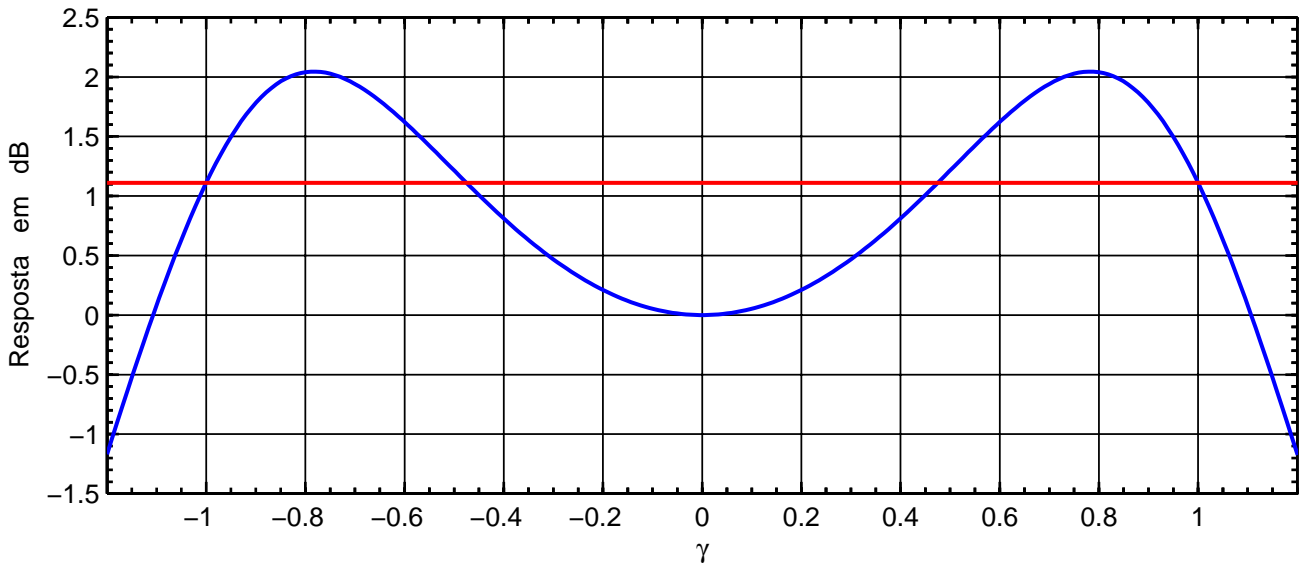


Fig. 27 - Notar os valores de  $\gamma$  que tornam o módulo do polinômio igual a  $1/2d$ , no caso 1,1 dB.

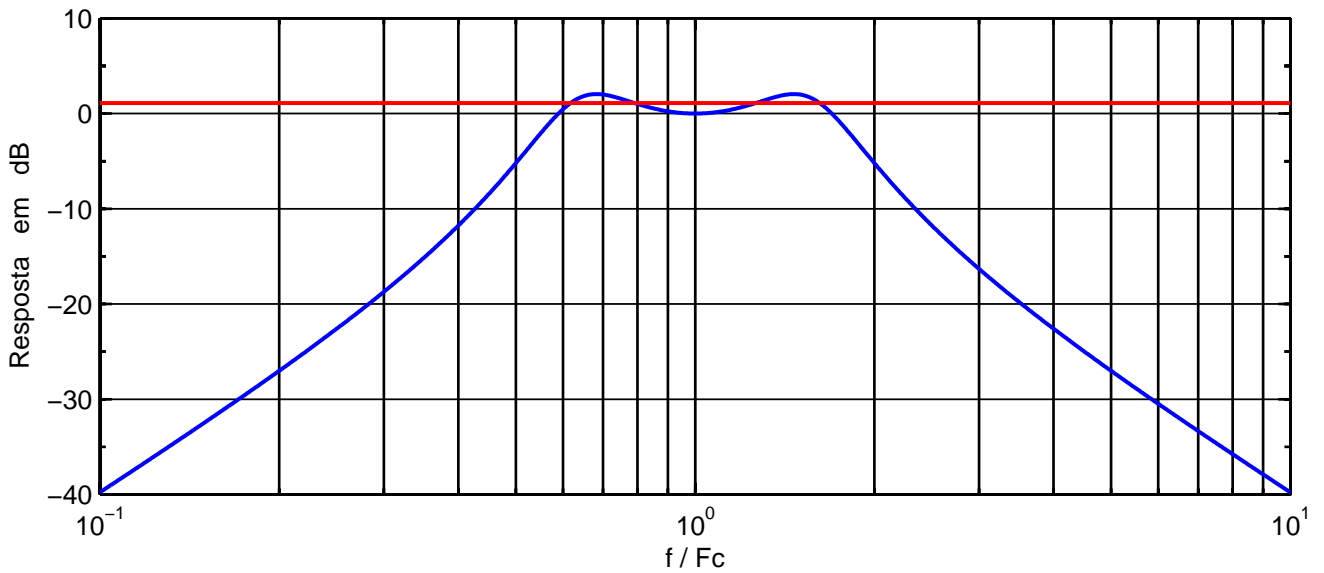


Fig. 28 - Resposta normalizada, mostrando as frequências onde o módulo vale  $1/2d$ , no caso 1,1 dB.

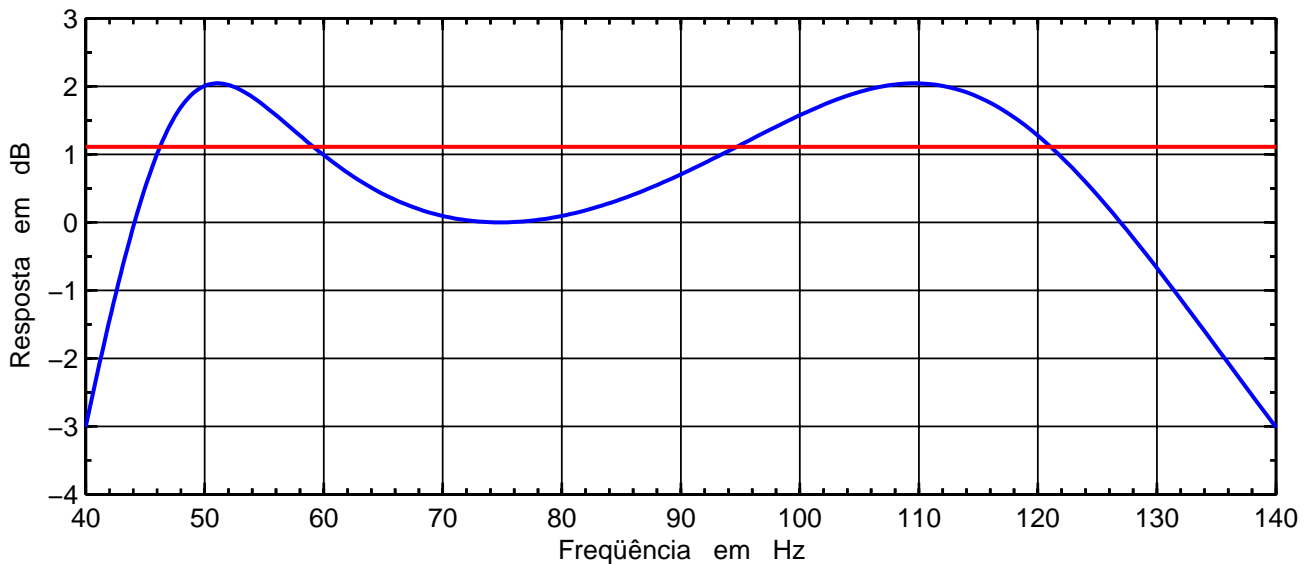


Fig. 29 - Resposta normalizada em amplitude, mostrando as frequências onde o módulo vale  $1/2d$ , no caso 1,1 dB

## Deslocamento do cone

$$X_{d(s)} = \frac{Ud}{s \cdot Sd} = Pg \cdot \frac{Sd^2}{\omega_c \cdot Mms \cdot s \cdot Sd} \cdot \frac{\frac{s}{\omega_c}}{\frac{s^2}{\omega_c^2} + \frac{s^2}{\omega_b^2} \cdot \frac{B^2}{\frac{s^2}{\omega_b^2} + 1} + \frac{s}{\omega_c} \cdot 2 \cdot d \cdot B + 1}$$

$$X_{d(s)} = Pg \cdot \frac{Sd}{\omega_c^2 \cdot Mms} \cdot \frac{1}{\frac{s^2}{\omega_c^2} + \frac{s^2}{\omega_b^2} \cdot \frac{B^2}{\frac{s^2}{\omega_b^2} + 1} + \frac{s}{\omega_c} \cdot 2 \cdot d \cdot B + 1}$$

$$Pg \cdot \frac{Sd}{\omega_c^2 \cdot Mms} = Pg \cdot Sd \cdot Cms \cdot \frac{\omega_s^2}{\omega_c^2}$$

$$X_{d(s)} = Pg \cdot Sd \cdot Cms \cdot \frac{\omega_s^2}{\omega_c^2} \cdot \frac{1}{\frac{s^2}{\omega_c^2} + \frac{s^2}{\omega_b^2} \cdot \frac{B^2}{\frac{s^2}{\omega_b^2} + 1} + \frac{s}{\omega_c} \cdot 2 \cdot d \cdot B + 1}$$

$$X_{d(s)} = Pg \cdot Sd \cdot Cms \cdot \frac{\omega_s^2}{\omega_c^2} \cdot \frac{\frac{s^2}{\omega_b^2} + 1}{\frac{s^2}{\omega_c^2} \cdot \left( \frac{s^2}{\omega_b^2} + 1 \right) + B^2 \cdot \frac{s^2}{\omega_b^2} + 2 \cdot d \cdot B \cdot \frac{s}{\omega_c} \cdot \left( \frac{s^2}{\omega_b^2} + 1 \right) + \frac{s^2}{\omega_b^2} + 1}$$

$$X_{d(s)} = Pg \cdot Sd \cdot Cms \cdot \frac{\omega_s^2}{\omega_c^2} \cdot \frac{\frac{s^2}{\omega_b^2} + 1}{\frac{s^4}{\omega_b^2 \cdot \omega_c^2} + \frac{s^2}{\omega_c^2} + B^2 \cdot \frac{s^2}{\omega_b^2} + 2 \cdot d \cdot B \cdot \frac{s^3}{\omega_b^2 \cdot \omega_c} + 2 \cdot d \cdot B \cdot \frac{s}{\omega_c} + \frac{s^2}{\omega_b^2} + 1}$$

$$X_{d(s)} = Pg \cdot Sd \cdot Cms \cdot \frac{\omega_s^2}{\omega_c^2} \cdot \frac{\frac{s^2}{\omega_b^2} + 1}{\frac{s^4}{\omega_b^2 \cdot \omega_c^2} + 2 \cdot d \cdot B \cdot \frac{s^3}{\omega_b^2 \cdot \omega_c} + \frac{s^2}{\omega_c^2} + \left( B^2 + 1 \right) \cdot \frac{s^2}{\omega_b^2} + 2 \cdot d \cdot B \cdot \frac{s}{\omega_c} + 1}$$

Como  $Pg = Eg \cdot \frac{\beta L}{(R_g + R_E) \cdot Sd}$ , temos:

$$P_g \cdot \frac{S_d \cdot C_{ms} \cdot \omega_s^2}{\omega_c^2} = E_g \cdot \frac{\beta L}{(R_g + R_E) \cdot S_d} \cdot \frac{S_d \cdot C_{ms} \cdot \omega_s^2}{\omega_c^2} = E_g \cdot \frac{\beta L \cdot C_{ms}}{(R_g + R_E)} \cdot \frac{\omega_s^2}{\omega_c^2}$$

$$X_{d(s)} = E_g \cdot \frac{\beta L \cdot C_{ms}}{R_g + R_E} \cdot \frac{\frac{\omega_s^2}{\omega_c^2} \cdot \left( \frac{s^2}{\omega_b^2} + 1 \right)}{\frac{s^4}{\omega_b^2 \cdot \omega_c^2} + 2 \cdot d \cdot B \cdot \frac{s^3}{\omega_b^2 \cdot \omega_c} + \frac{s^2}{\omega_c^2} + (B^2 + 1) \cdot \frac{s^2}{\omega_b^2} + 2 \cdot d \cdot B \cdot \frac{s}{\omega_c} + 1}$$

$$X_{d(s)} = E_g \cdot \sigma_x \cdot K_x \cdot GX_{(s)} \quad ; \quad X_{(s)} = K_x \cdot GX_{(s)} \quad ; \quad X_{d(s)} = E_g \cdot \sigma_x \cdot X_{(s)}$$

Tabela 1 - Componentes da Função Deslocamento do Cone		
$X_{d(s)} = E_g \cdot \sigma_x \cdot K_x \cdot GX_{(s)}$	Função deslocamento do cone	Metro
$E_g$	Tensão aplicada	Volt
$\sigma_x = \frac{\beta L \cdot C_{ms}}{R_g + R_E}$	Sensibilidade estática (DC) ao deslocamento	metro/Volt
$K_x = \frac{\omega_s^2}{\omega_c^2} = \frac{F_s^2}{F_c^2} \quad (19)$	Constante de deslocamento	-
$GX_{(s)}$	Polinômio do deslocamento do cone	-
$X_{(s)} = K_x \cdot GX_{(s)}$	Deslocamento normalizado do cone	-

$$GX_{(s)} = \frac{\frac{s^2}{\omega_b^2} + 1}{\frac{s^4}{\omega_b^2 \cdot \omega_c^2} + 2 \cdot d \cdot B \cdot \frac{s^3}{\omega_b^2 \cdot \omega_c} + \frac{s^2}{\omega_c^2} + (B^2 + 1) \cdot \frac{s^2}{\omega_b^2} + 2 \cdot d \cdot B \cdot \frac{s}{\omega_c} + 1}$$

$$X_{(s)} = K_x \cdot \frac{\frac{s^2}{\omega_b^2} + 1}{\frac{s^4}{\omega_b^2 \cdot \omega_c^2} + 2 \cdot d \cdot B \cdot \frac{s^3}{\omega_b^2 \cdot \omega_c} + \frac{s^2}{\omega_c^2} + (B^2 + 1) \cdot \frac{s^2}{\omega_b^2} + 2 \cdot d \cdot B \cdot \frac{s}{\omega_c} + 1}$$

$$GX_{(j\omega)} = \frac{1 - \frac{\omega^2}{\omega_b^2}}{\frac{\omega^4}{\omega_b^2 \cdot \omega_c^2} - j \cdot 2 \cdot d \cdot B \cdot \frac{\omega^3}{\omega_b^2 \cdot \omega_c} - \frac{\omega^2}{\omega_c^2} - (B^2 + 1) \cdot \frac{\omega^2}{\omega_b^2} + j \cdot 2 \cdot d \cdot B \cdot \frac{\omega}{\omega_c} + 1}$$

$$GX_{(j\omega)} = \frac{1 - \frac{\omega^2}{\omega_b^2}}{\frac{\omega^4}{\omega_b^2 \cdot \omega_C^2} - \frac{\omega^2}{\omega_C^2} - (B^2 + 1) \cdot \frac{\omega^2}{\omega_b^2} + 1 + j \cdot 2 \cdot d \cdot B \cdot \frac{\omega}{\omega_C} - j \cdot 2 \cdot d \cdot B \cdot \frac{\omega^3}{\omega_b^2 \cdot \omega_C}}$$

$$GX_{(j\omega)} = \frac{1 - \frac{\omega^2}{\omega_b^2}}{\frac{\omega^4}{\omega_b^2 \cdot \omega_C^2} - \frac{\omega^2}{\omega_C^2} - (B^2 + 1) \cdot \frac{\omega^2}{\omega_b^2} + 1 + j \cdot 2 \cdot d \cdot B \cdot \frac{\omega}{\omega_C} \cdot \left(1 - \frac{\omega^2}{\omega_b^2}\right)}$$

$$\left|GX_{(j\omega)}\right|^2 = \frac{\left(1 - \frac{\omega^2}{\omega_b^2}\right)^2}{\left[\frac{\omega^4}{\omega_b^2 \cdot \omega_C^2} - \frac{\omega^2}{\omega_C^2} - (B^2 + 1) \cdot \frac{\omega^2}{\omega_b^2} + 1\right]^2 + \left[2 \cdot d \cdot B \cdot \frac{\omega}{\omega_C} \cdot \left(1 - \frac{\omega^2}{\omega_b^2}\right)\right]^2}$$

Para resposta simétrica, vem:

$$GX_{(s)} = \frac{\frac{s^2}{\omega_C^2} + 1}{\frac{s^4}{\omega_C^4} + 2 \cdot d \cdot B \cdot \frac{s^3}{\omega_C^3} + (B^2 + 2) \cdot \frac{s^2}{\omega_C^2} + 2 \cdot d \cdot B \cdot \frac{s}{\omega_C} + 1}$$

$$GX_{(s_N)} = \frac{s_N^2 + 1}{s_N^4 + 2 \cdot d \cdot B \cdot s_N^3 + (B^2 + 2) \cdot s_N^2 + 2 \cdot d \cdot B \cdot s_N + 1}$$

$$X_{(s_N)} = K_X \cdot \frac{1 + s_N^2}{D_{(s_N)}} \quad (20)$$

$$D_{(s_N)} = s_N^4 + 2 \cdot d \cdot B \cdot s_N^3 + (B^2 + 2) \cdot s_N^2 + 2 \cdot d \cdot B \cdot s_N + 1$$

$$GX_{(j\omega_N)} = \frac{1 - \omega_N^2}{\omega_N^4 - (B^2 + 2) \cdot \omega_N^2 + 1 + j \cdot 2 \cdot d \cdot B \cdot \omega_N \cdot (1 - \omega_N^2)}$$

$$\left|X_{(j\omega_N)}\right|^2 = K_X^2 \cdot \frac{(1 - \omega_N^2)^2}{\left[\omega_N^4 - (B^2 + 2) \cdot \omega_N^2 + 1\right]^2 + \left[2 \cdot d \cdot B \cdot \omega_N \cdot (1 - \omega_N^2)\right]^2} \quad (21)$$

Band pass simétrica, onde:  $d = 0,44$  ;  $B = 1$  ;  $Q_{tc} = 1,136$  ;  $F_c = 74,83$  Hz ;  $K_x = (F_s / F_c)^2$

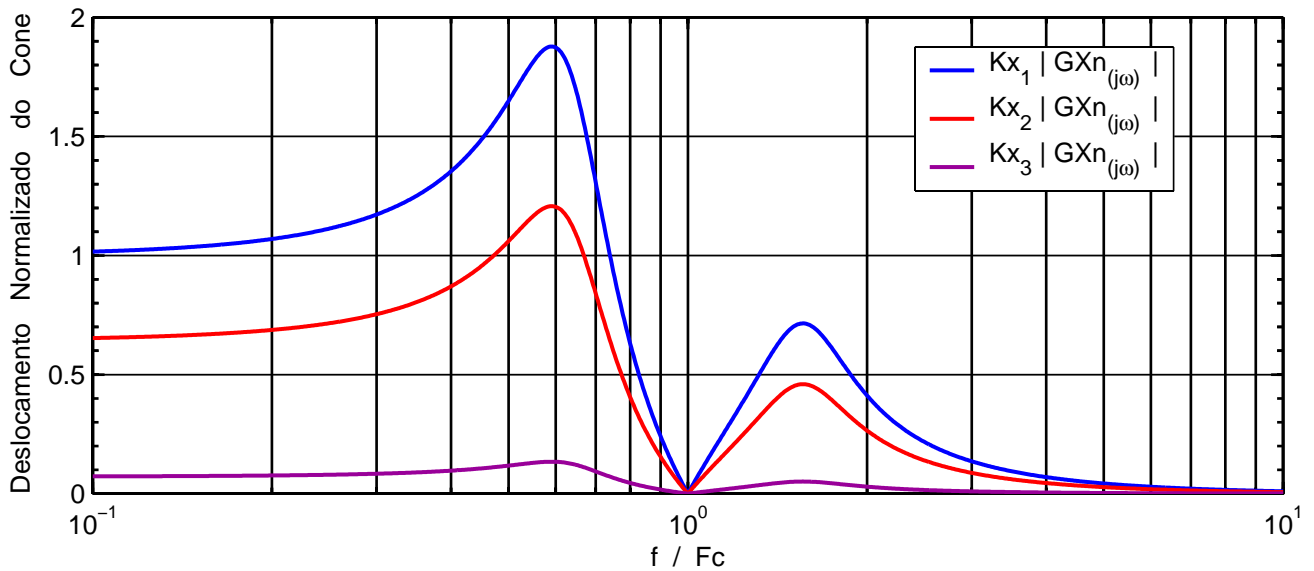


Fig. 30 -  $K_{x_1} = 1$  ;  $K_{x_2} = 60 / 74,83 = 0,64$  ;  $K_{x_3} = 20 / 74,83 = 0,07$

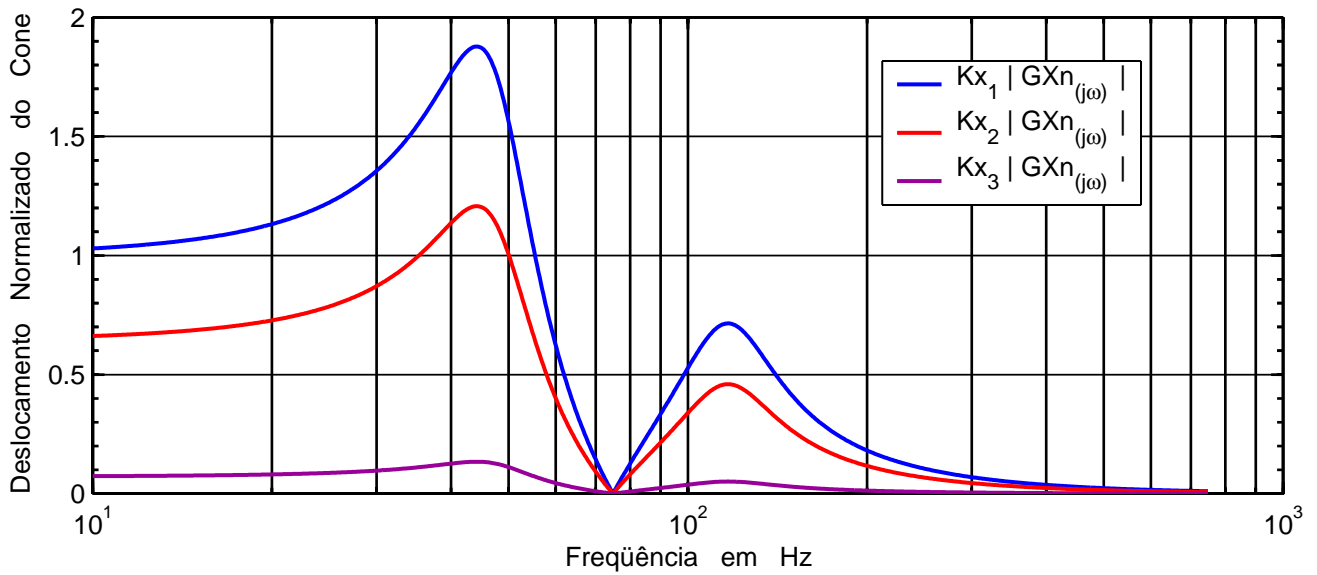


Fig. 31 -  $K_{x_1} = 1$  ;  $K_{x_2} = 60 / 74,83 = 0,64$  ;  $K_{x_3} = 20 / 74,83 = 0,07$

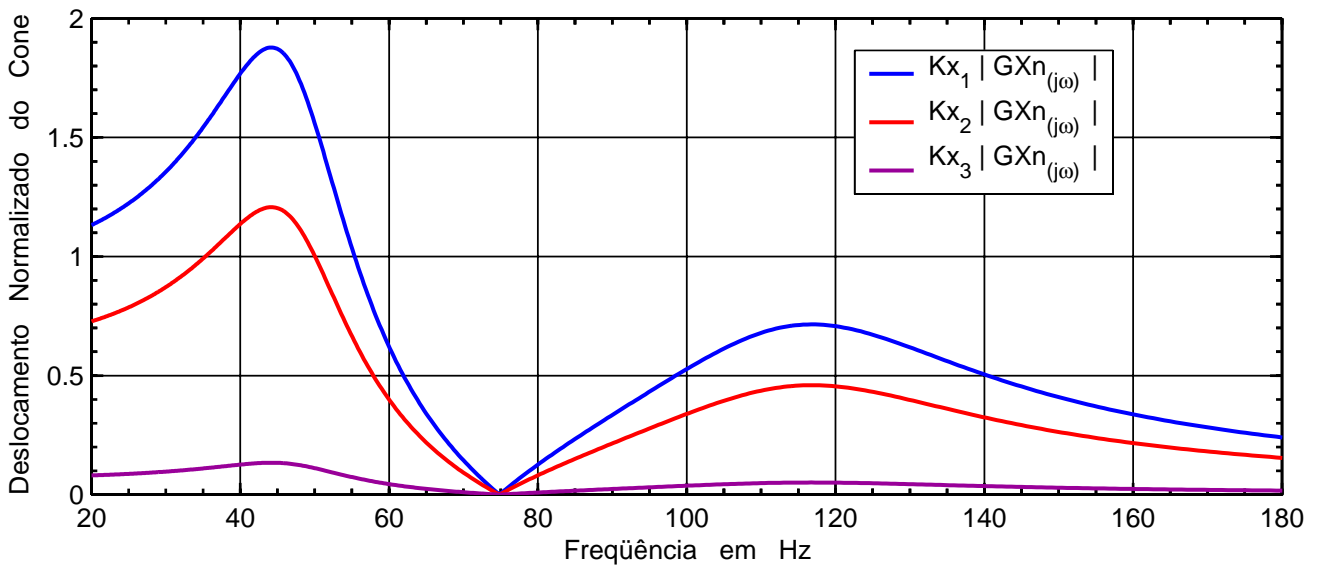
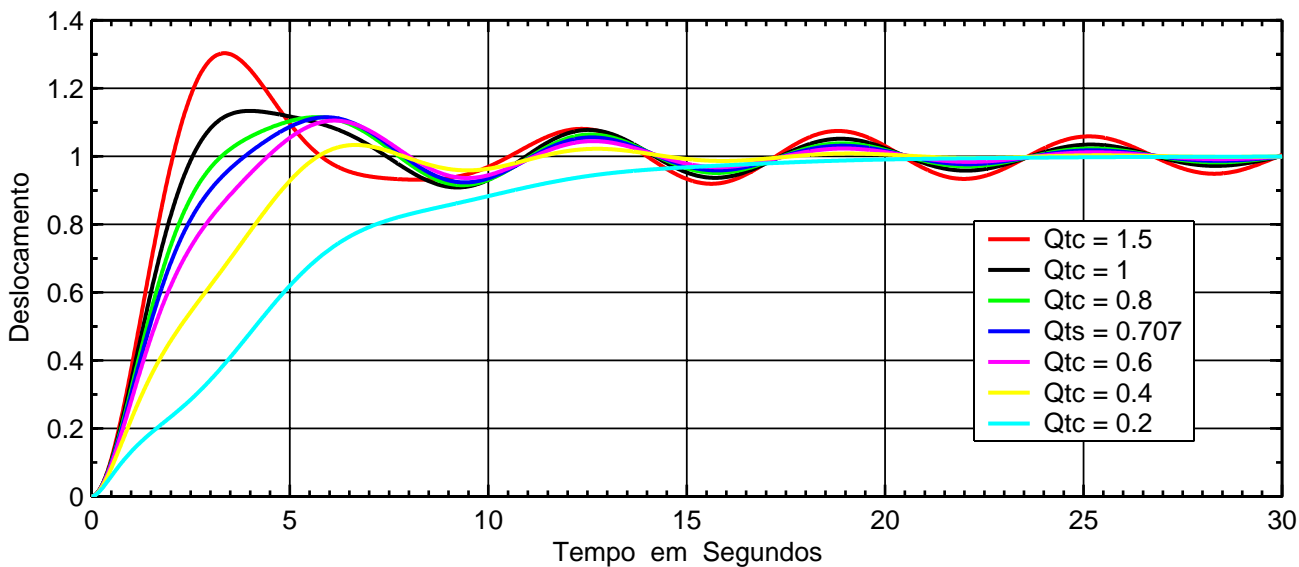
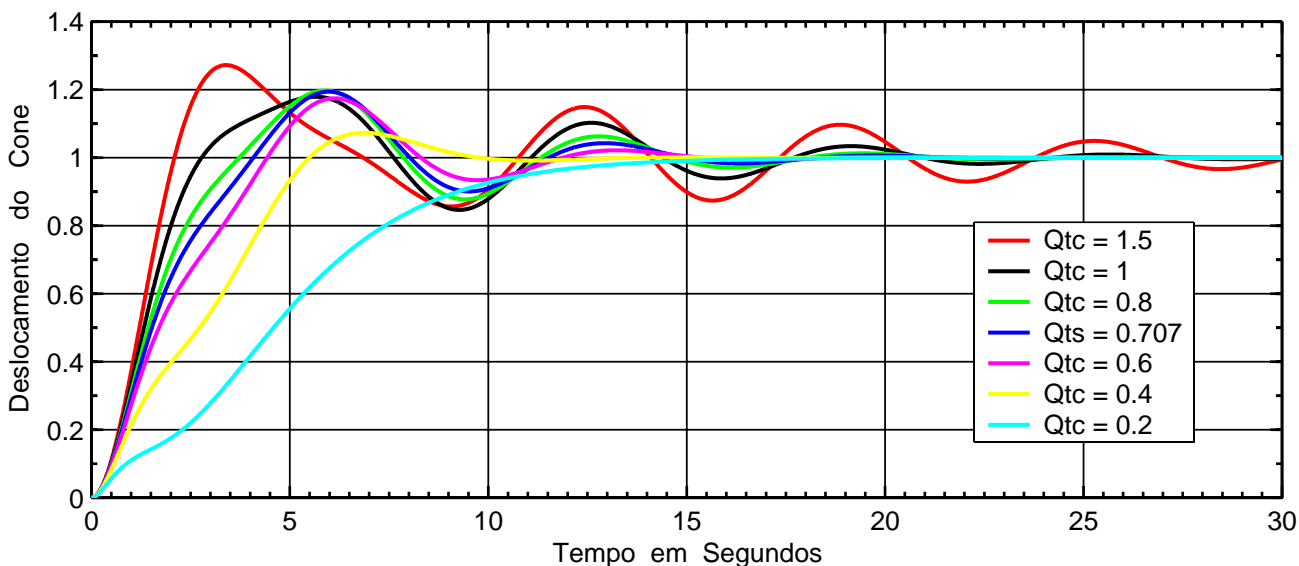


Fig. 32 -  $K_{x_1} = 1$  ;  $K_{x_2} = 60 / 74,83 = 0,64$  ;  $K_{x_3} = 20 / 74,83 = 0,07$

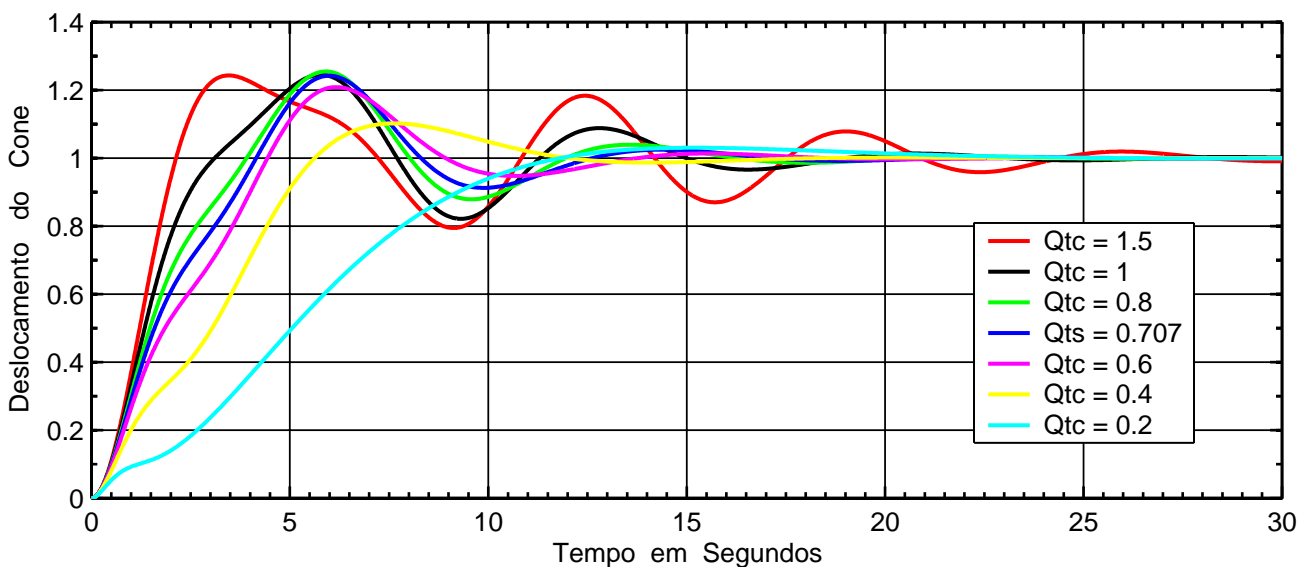
**Respostas do deslocamento do cone, ao degrau, em função de  $d$ , para diversos valores de  $Q_{tc}$ .**



**Fig. 33 -  $d = 1,5$**



**Fig. 34 -  $d = 1,0$**



**Fig. 35 -  $d = 0,8$**



Respostas do deslocamento do cone, ao degrau, em função de  $d$ , para diversos valores de  $Q_{tc}$ .

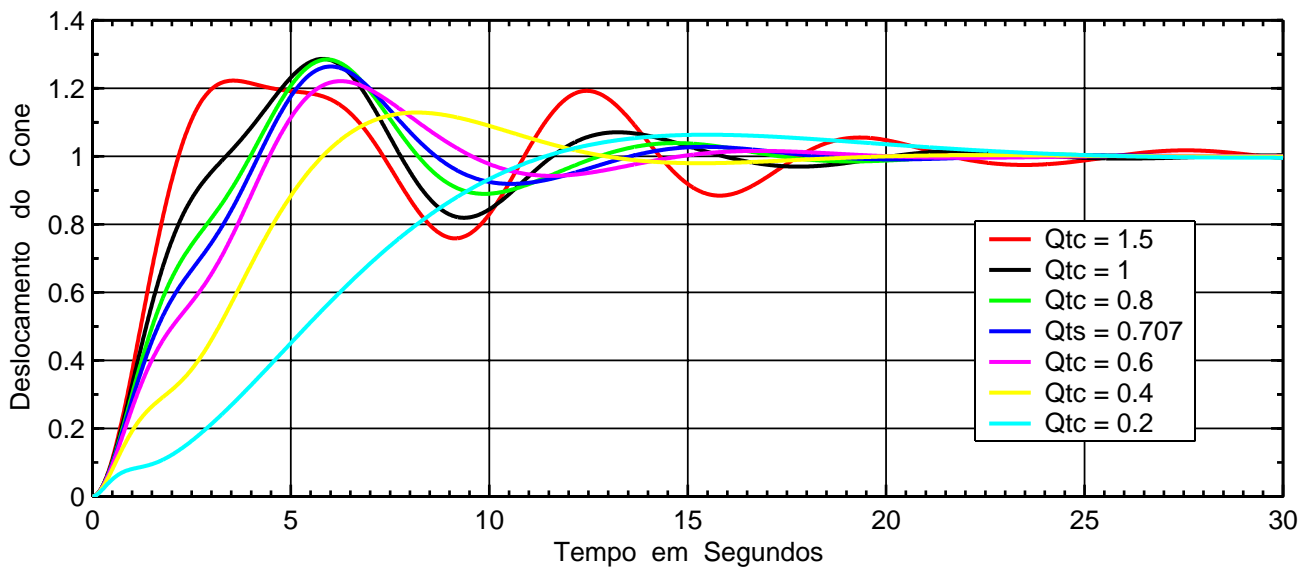


Fig. 36 -  $d = 0,707$

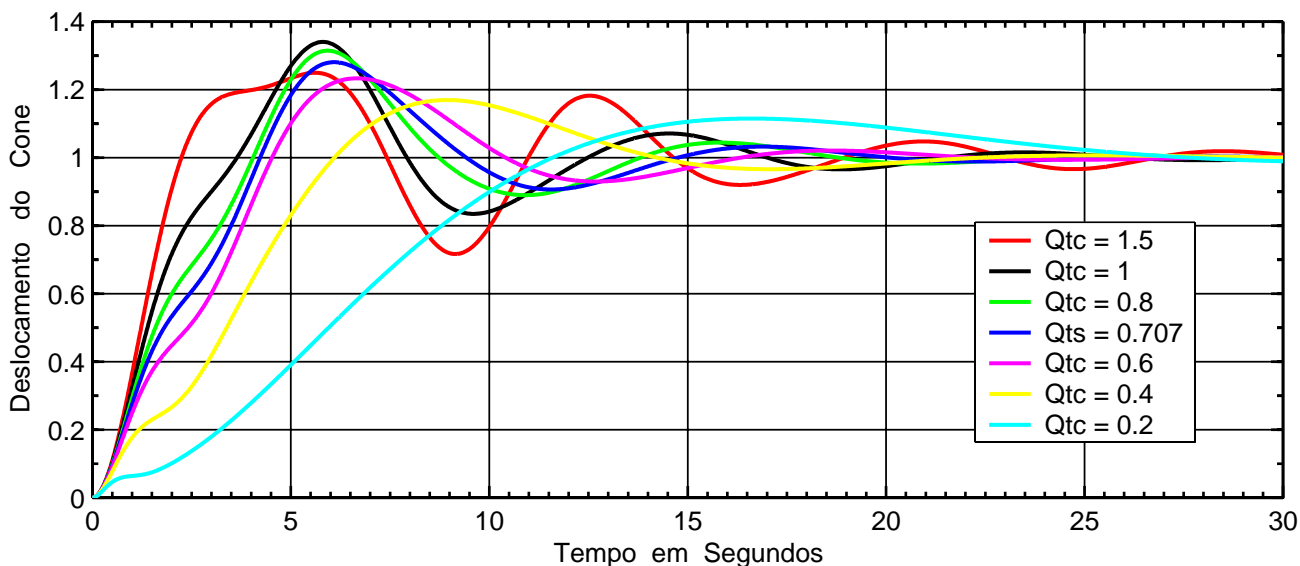


Fig. 37 -  $d = 0,6$

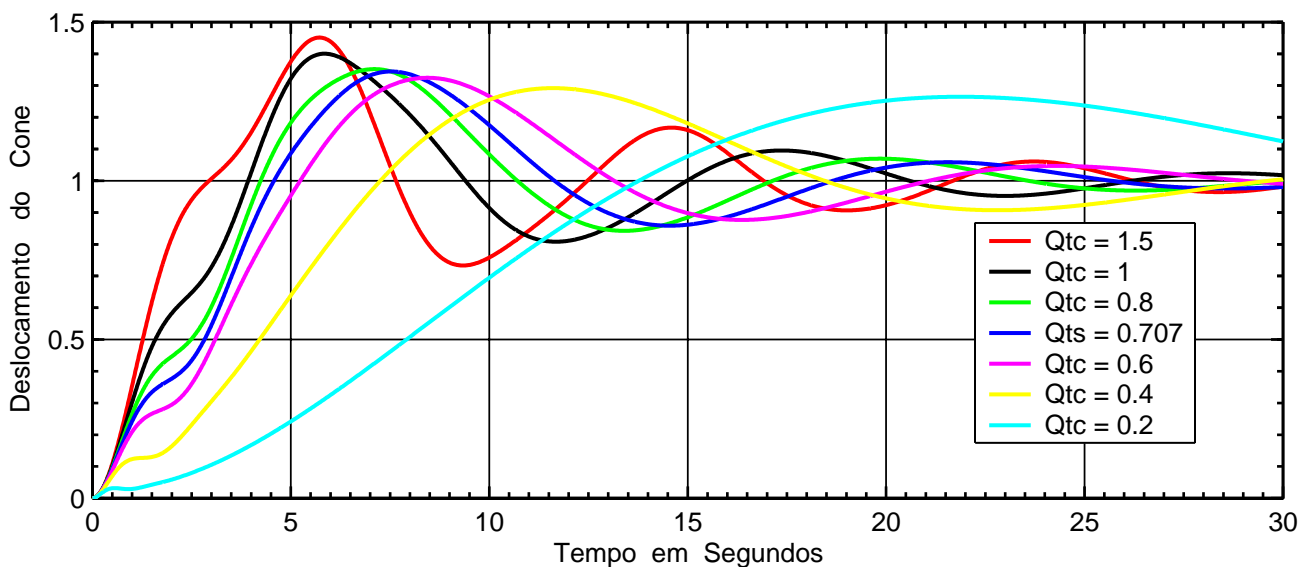


Fig. 38 -  $d = 0,4$

## Exemplos

### Exemplo 1

Projetar um sistema BP, com resposta Butterworth e frequências de corte em 20 e 40 Hz.

No caso de uma resposta Butterworth (a mais plana possível),  $R = 0$  dB e  $d = 0,707$ . Nas Figs. 39 e 40 temos as Curvas de Resposta obtidas.

Devemos ressaltar que essa solução não é única, uma vez que a relação  $F_s/Q_{ts}$  pode ser satisfeita por uma infinidade de valores.

Como a resposta é Butterworth,  $F_2 = F_H$  e  $F_1 = F_L$

$$F_C^2 = F_L \cdot F_H \quad \therefore \quad F_C = \sqrt{F_L \cdot F_H} \quad \therefore \quad F_C = \sqrt{20 \cdot 40} = 20 \cdot \sqrt{2} = 28,28 \text{ Hz}$$

$$B = \frac{F_2 - F_1}{F_C} = \frac{F_H - F_L}{F_C} = \frac{40 - 20}{20 \cdot \sqrt{2}} = \frac{1}{\sqrt{2}}$$

$$PA = -40 \cdot \text{Log}(B) = -40 \cdot \text{Log}\left(\frac{\sqrt{2}}{2}\right) = 6 \text{ dB}$$

$$Q_{tc} = \frac{1}{2 \cdot d \cdot B} = \frac{1}{2 \cdot \frac{\sqrt{2}}{2} \cdot \frac{1}{\sqrt{2}}} = 1$$

$$\frac{F_C}{Q_{tc}} = \frac{F_s}{Q_{ts}} = \frac{20 \cdot \sqrt{2}}{1} = 20 \cdot \sqrt{2}$$

Arbitrando  $F_s = 22$  Hz, teremos  $Q_{ts} = \frac{22}{20 \cdot \sqrt{2}} = 0,778$ . Arbitrando  $V_{as} = 100$  litros, vem:

$$F_C = F_s \cdot \sqrt{1 + \alpha} \quad \therefore \quad \alpha = \left(\frac{F_C}{F_s}\right)^2 - 1 \quad \therefore \quad \alpha = \left(\frac{20 \cdot \sqrt{2}}{22}\right)^2 - 1 = 0,6529$$

$$V_b = \frac{V_{as}}{\alpha} = \frac{100}{0,6529} = 153 \text{ L}$$

$$d = \frac{1}{2 \cdot Q_{ts} \cdot \sqrt{\alpha_2}} \quad \therefore \quad \alpha_2 = \frac{1}{(2 \cdot d \cdot Q_{ts})^2} = \frac{1}{\left(2 \cdot \frac{\sqrt{2}}{2} \cdot 0,778\right)^2} = 0,8621$$

$$V_{b2} = \frac{V_{as}}{\alpha_2} = \frac{100}{0,8621} = 121 \text{ L}$$

Mantendo o  $V_{as}$  igual a 100 litros e supondo  $F_s = 20 \text{ Hz}$ , teremos  $Q_{ts} = \frac{20}{20 \cdot \sqrt{2}} = \frac{1}{\sqrt{2}} = 0,707$ .

$$\alpha = \left( \frac{20 \cdot \sqrt{2}}{20} \right)^2 - 1 = 1 \quad ; \quad V_b = \frac{V_{as}}{\alpha} = \frac{100}{1} = 100 \text{ L}$$

$$\alpha_2 = \frac{1}{(2 \cdot d \cdot Q_{ts})^2} = \frac{1}{\left( 2 \cdot \frac{\sqrt{2}}{2} \cdot \frac{\sqrt{2}}{2} \right)^2} = 1 \quad ; \quad V_{b2} = \frac{V_{as}}{\alpha_2} = \frac{100}{1} = 100 \text{ L}$$

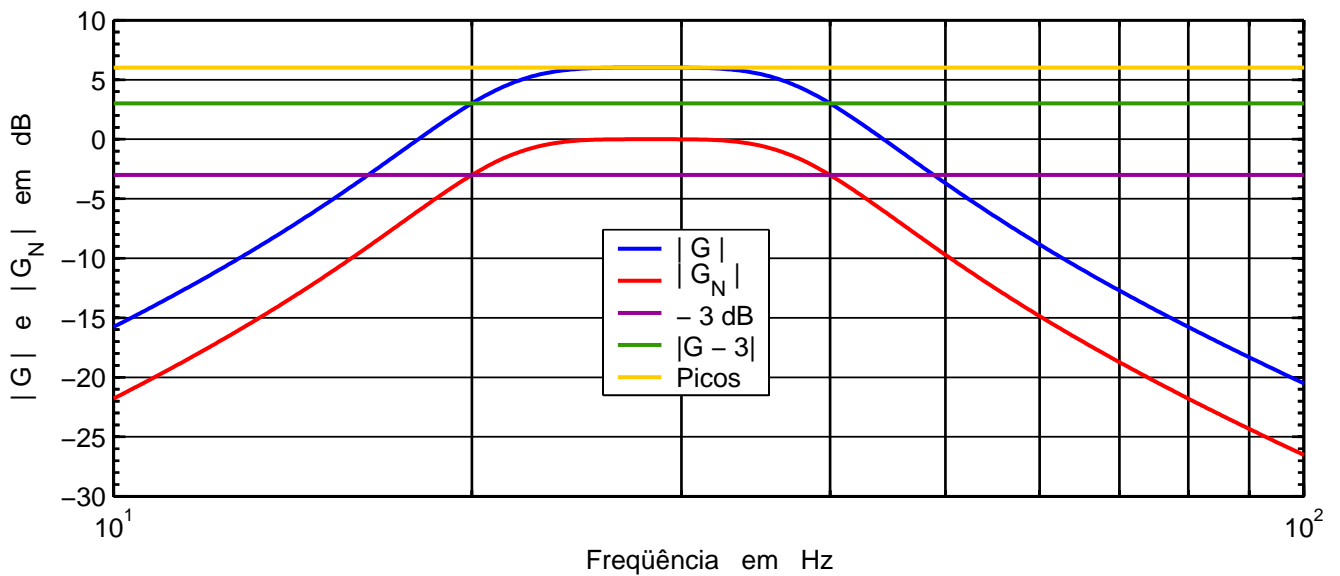


Fig. 39 - Polinômio da resposta e seu correspondente normalizado em amplitude, e os pontos de máximo e de -3 dB.

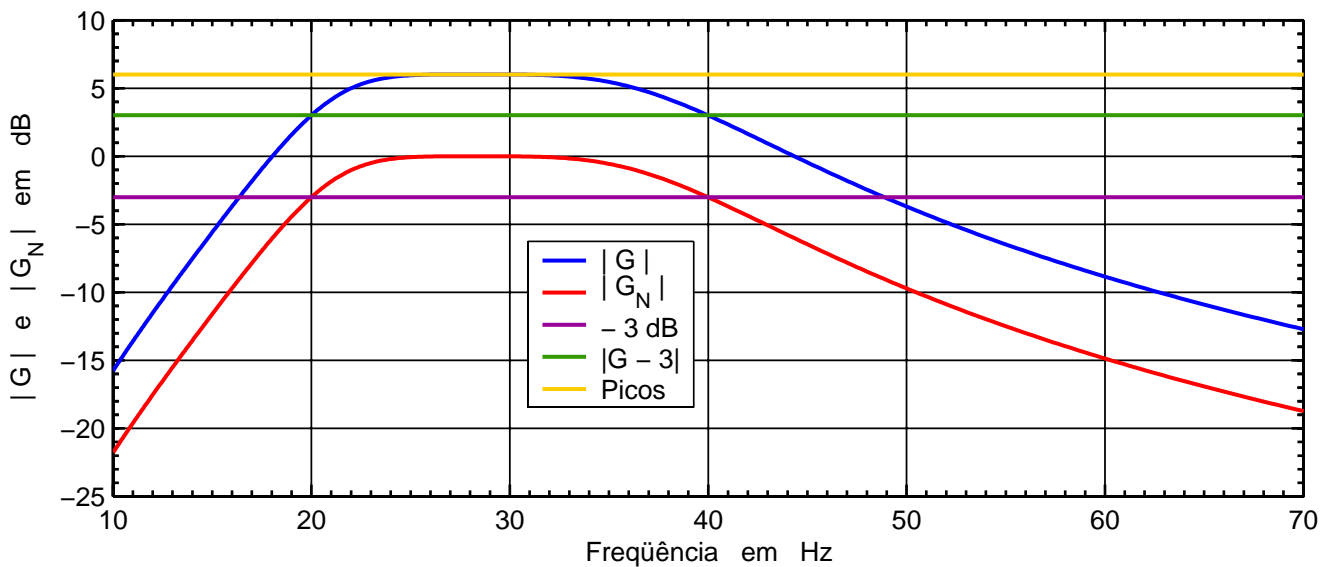


Fig. 40 - Idem, em escala linear.

## Exemplo 2

Especificar um falante adequado para um sistema Bandpass com os cortes em 40 Hz e 140 Hz e PA = 0 dB. Na Fig. 6 temos os valores encontrados, correspondentes a um falante com  $F_s = 60$  Hz,  $Q_{ts} = 0,911$  e  $V_{as} = 100$  litros. A Fig. 7 mostra as respectivas curvas de Resposta e do Deslocamento do Cone. Como esta solução não é única, as Figs. 8 e 9 mostram os resultados correspondentes a um falante com  $F_s = 40$  Hz,  $Q_{ts} = 0,607$  e  $V_{as} = 100$  litros.

Nas Figs. 41 e 42 temos os resultados referentes a um falante com  $F_s = 20$  Hz,  $Q_{ts} = 0,304$  e  $V_{as} = 100$  litros.

$$PA = 0 \quad \Rightarrow \quad B = 1$$

$$F_C = \sqrt{F_L \cdot F_H} = \sqrt{40 \cdot 140} = 74,83 \text{ Hz}$$

$$B = \frac{F_H - F_L}{a \cdot F_C} \quad \therefore \quad a = \frac{F_H - F_L}{B \cdot F_C} = \frac{140 - 40}{1 \cdot \sqrt{40 \cdot 140}} = 1,336$$

$$a = \sqrt{c + \sqrt{c^2 + 1}} \quad \therefore \quad a^2 = c + \sqrt{c^2 + 1} \quad \therefore \quad a^2 - c = \sqrt{c^2 + 1}$$

$$(a^2 - c)^2 = c^2 + 1 \quad \therefore \quad a^4 - 2 \cdot a^2 \cdot c + c^2 = c^2 + 1 \quad \therefore \quad a^4 - 2 \cdot a^2 \cdot c = 1$$

$$c = \frac{a^4 - 1}{2 \cdot a^2} = \frac{1,336^4 - 1}{2 \cdot 1,336^2} = 0,6129$$

$$c = 1 - 2 \cdot d^2 \quad \therefore \quad d = \sqrt{\frac{1 - c}{2}} = \sqrt{\frac{1 - 0,6129}{2}} = 0,440$$

$$Q_{tc} = \frac{1}{2 \cdot d \cdot B} = \frac{1}{2 \cdot 0,44 \cdot 1} = 1,136$$

$$\frac{F_s}{Q_{ts}} = \frac{F_C}{Q_{tc}} = \frac{\sqrt{40 \cdot 140}}{1,136} = 65,85$$

Escolhendo um falante com  $F_s = 60$  Hz e  $V_{as} = 100$  litros, vem:

$$Q_{ts} = \frac{F_s}{65,85} = \frac{60}{65,85} = 0,911$$

$$1 + \alpha = \frac{F_C^2}{F_S^2} \quad \therefore \quad \alpha = \frac{V_{as}}{V_{b1}} = \frac{40 \cdot 140}{60^2} - 1 = 1,556 - 1 = 0,556$$

$$V_{b1} = \frac{V_{as}}{\alpha} = \frac{100}{0,556} = 180 \text{ litros}$$

$$d = \frac{1}{2 \cdot Q_{ts} \cdot \sqrt{\alpha_2}} \quad \therefore \quad \alpha_2 = \frac{V_{as}}{V_{b2}} = \frac{1}{(2 \cdot d \cdot Q_{ts})^2} = \frac{1}{(2 \cdot 0,44 \cdot 0,911)^2} = 1,556$$

$$V_{b2} = \frac{V_{as}}{\alpha_2} = \frac{100}{1,556} = 64,3 \text{ litros}$$

Como  $B = 1$ , os módulos dos polinômios  $G_{(j\omega)}$  e  $G_{N(j\omega)}$  coincidem, conforme podemos ver abaixo.

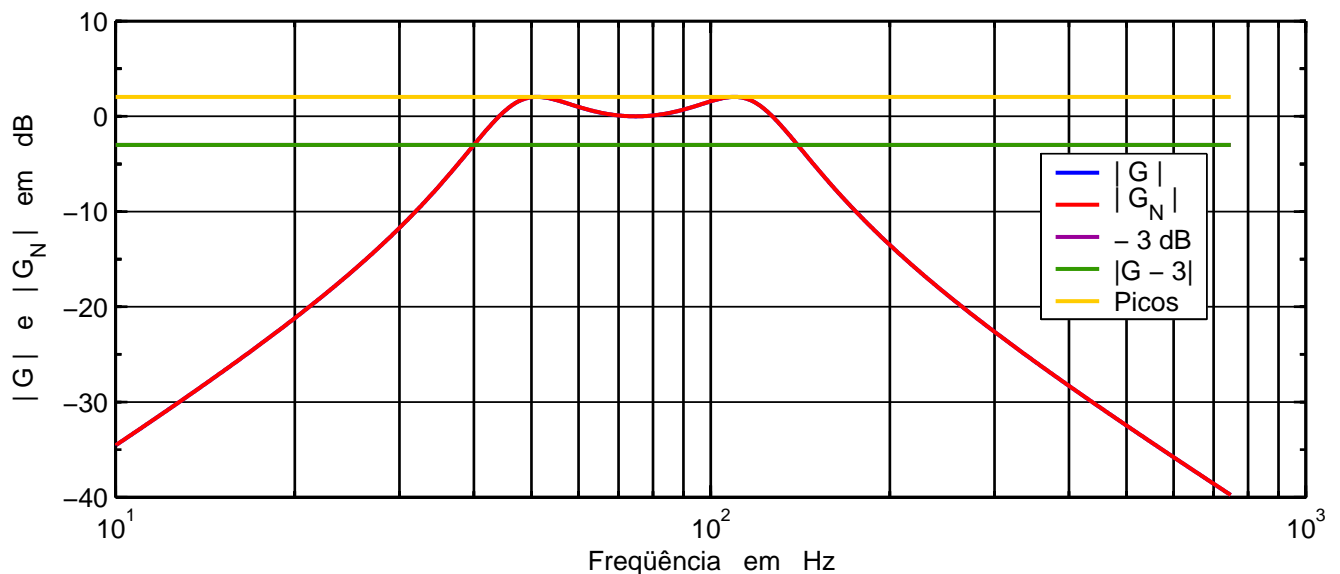


Fig. 41 - Polinômio da resposta e seu correspondente normalizado em amplitude, e os pontos de máximo e de -3 dB.

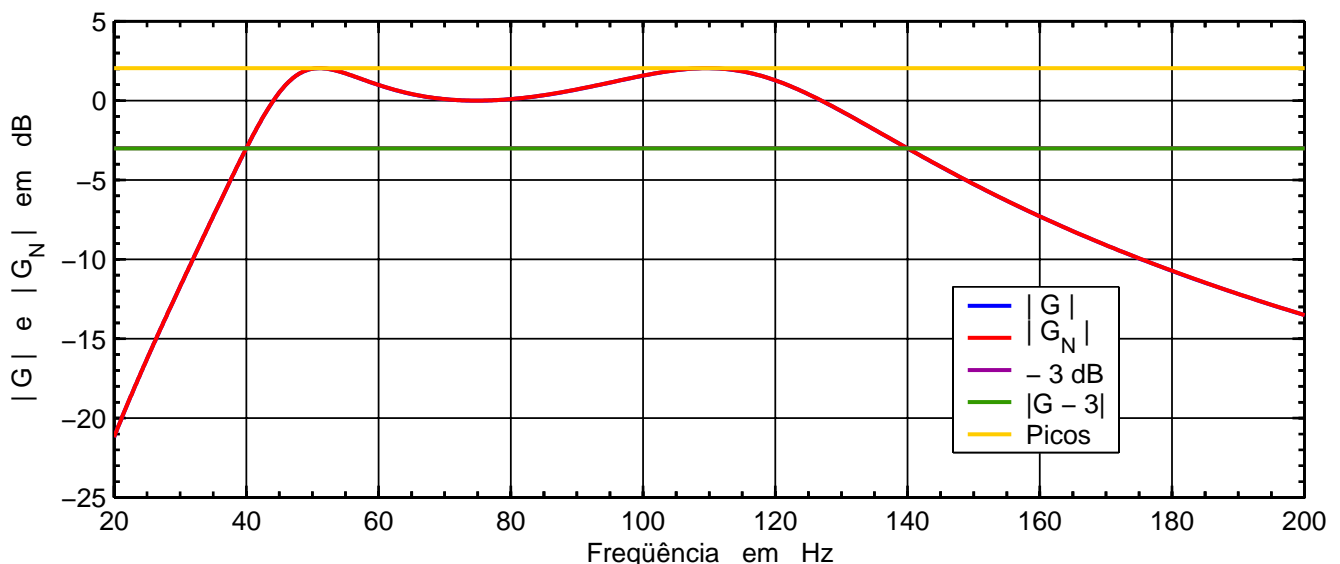


Fig. 42 - Idem, em escala linear.

### Exemplo 3

Utilizando um alto-falante com  $F_s = 40$  Hz,  $Q_{ts} = 0,321$  e  $V_{as} = 100$  litros, projetar um sistema Bandpass com um fator de amortecimento unitário, estando o corte inferior em 40 Hz.

Como  $d = 1$ , então  $R = 0$  dB. Neste caso, a solução é única, estando os resultados mostrados nas Figs. 43 e 44.

$$F_C = F_s \cdot \sqrt{1 + \alpha} \quad \alpha_T = \frac{V_{as}}{V_{B2} \cdot (1 + \alpha)} = B^2 \quad F_C^2 = F_1 \cdot F_2 = F_L \cdot F_H$$

$$\frac{1}{Q_{tc}} = 2 \cdot d \cdot B \quad \therefore \quad B = \frac{1}{2 \cdot d \cdot Q_{tc}}$$

$$d = \frac{1}{2 \cdot Q_{ts} \cdot \sqrt{\alpha_2}} \quad \therefore \quad \alpha_2 = \frac{1}{(2 \cdot d \cdot Q_{ts})^2} = \frac{V_{as}}{V_{b2}} \quad \therefore \quad V_{b2} = (2 \cdot d \cdot Q_{ts})^2 \cdot V_{as}$$

$$V_{b2} = (2 \cdot d \cdot Q_{ts})^2 \cdot V_{as} = (2 \cdot 1 \cdot 0,321)^2 \cdot 100 = 41,2 \text{ L}$$

$$c = 1 - 2 \cdot d^2 = 1 - 2 \cdot 1^2 = -1$$

$$a = \sqrt{-1 + \sqrt{(-1)^2 + 1}} = \sqrt{-1 + \sqrt{1 + 1}} = \sqrt{-1 + 1,414} = \sqrt{0,414} = 0,6236$$

$$b = \frac{a}{4 \cdot d \cdot Q_{tc}} = \frac{\sqrt{0,414}}{4 \cdot 1 \cdot Q_{tc}} = \frac{0,161}{Q_{tc}}$$

$$\alpha_T = \frac{V_{as}}{V_{B2} \cdot (1 + \alpha)} = B^2 \quad \therefore \quad \alpha = \frac{V_{as}}{B^2 \cdot V_{B2}} - 1 = \frac{V_{as}}{V_{b1}}$$

$$F_{H,L} = F_C \cdot \left[ \pm \frac{0,161}{Q_{tc}} + \sqrt{\left(\frac{0,161}{Q_{tc}}\right)^2 + 1} \right] \quad ; \quad \frac{F_{H,L}}{F_C} = \pm \frac{0,161}{Q_{tc}} + \sqrt{\left(\frac{0,161}{Q_{tc}}\right)^2 + 1}$$

$$\frac{F_{H,L}}{F_C} \mp \frac{0,161}{Q_{tc}} = \pm \sqrt{\left(\frac{0,161}{Q_{tc}}\right)^2 + 1} \quad ; \quad \left(\frac{F_{H,L}}{F_C} \mp \frac{0,161}{Q_{tc}}\right)^2 = \left(\frac{0,161}{Q_{tc}}\right)^2 + 1$$

$$\frac{F_{H,L}^2}{F_C^2} \mp 2 \cdot \frac{F_{H,L}}{F_C} \cdot \frac{0,161}{Q_{tc}} + \frac{0,161^2}{Q_{tc}^2} = \frac{0,161^2}{Q_{tc}^2} + 1 \quad ; \quad \frac{F_{H,L}^2}{F_C^2} \mp \frac{F_{H,L}}{F_C} \cdot \frac{0,322}{Q_{tc}} - 1 = 0$$

$$\frac{F_{H,L}}{F_C} = \pm \frac{0,161}{Q_{tc}} \pm \sqrt{\left(\frac{0,161}{Q_{tc}}\right)^2 + 1}$$

Para resultados positivos,  $\frac{F_{H,L}}{F_C} = \pm \frac{0,161}{Q_{tc}} + \sqrt{\left(\frac{0,161}{Q_{tc}}\right)^2 + 1}$

$$\frac{F_H}{F_C} = + \frac{0,161}{Q_{tc}} + \sqrt{\left(\frac{0,161}{Q_{tc}}\right)^2 + 1} \quad ; \quad \frac{F_L}{F_C} = - \frac{0,161}{Q_{tc}} + \sqrt{\left(\frac{0,161}{Q_{tc}}\right)^2 + 1}$$

$$F_L = - 0,161 \cdot \frac{F_C}{Q_{tc}} + \sqrt{\left(0,161 \cdot \frac{F_C}{Q_{tc}}\right)^2 + F_C^2} \quad \text{pois} \quad \frac{F_C}{Q_{tc}} = \frac{F_S}{Q_{ts}}$$

$$\left(F_L + 0,161 \cdot \frac{F_S}{Q_{ts}}\right)^2 = \left(0,161 \cdot \frac{F_S}{Q_{ts}}\right)^2 + F_C^2$$

$$\left(40 + 0,161 \cdot \frac{40}{0,321}\right)^2 = \left(0,161 \cdot \frac{40}{0,321}\right)^2 + F_C^2$$

$$(40 + 20)^2 = (20)^2 + F_C^2 \quad \therefore \quad F_C^2 = 3600 - 400 = 3200 \quad \therefore \quad F_C = \sqrt{3200} = 40 \cdot \sqrt{2} \text{ Hz}$$

$$F_H = 0,161 \cdot \frac{F_C}{Q_{tc}} + \sqrt{\left(0,161 \cdot \frac{F_C}{Q_{tc}}\right)^2 + F_C^2} \quad ; \quad F_H = 0,161 \cdot \frac{F_S}{Q_{ts}} + \sqrt{\left(0,161 \cdot \frac{F_S}{Q_{ts}}\right)^2 + F_C^2}$$

$$F_H = 0,161 \cdot \frac{40}{0,321} + \sqrt{\left(0,161 \cdot \frac{40}{0,321}\right)^2 + (40 \cdot \sqrt{2})^2}$$

$$F_H = 20 + \sqrt{(20)^2 + (40 \cdot \sqrt{2})^2} = 20 + \sqrt{400 + 3200} = 20 + 60 = 80 \text{ Hz}$$

$$\alpha = \left(\frac{F_C}{F_S}\right)^2 - 1 = \left(\frac{40 \cdot \sqrt{2}}{40}\right)^2 - 1 = 2 - 1 = 1$$

$$V_{b1} = \frac{V_{as}}{\alpha} = \frac{100}{1} = 100 \text{ L}$$

$$\alpha_2 = \frac{1}{(2 \cdot d \cdot Q_{ts})^2} = \frac{V_{as}}{V_{b2}} \quad \therefore \quad V_{b2} = (2 \cdot d \cdot Q_{ts})^2 \cdot V_{as} = (2 \cdot 1 \cdot 0,321)^2 \cdot 100 = 41,2 \text{ L}$$

$$B = \frac{1}{2 \cdot d \cdot Q_{tc}} = \frac{1}{2 \cdot d \cdot Q_{ts} \cdot \sqrt{1 + \alpha}} = \frac{1}{2 \cdot 1 \cdot 0,321 \cdot \sqrt{1 + 1}} = 1,101$$

$$P_a = -40 \cdot \text{Log}(B) = -40 \cdot \text{Log}(1,101) = -1,7 \text{ dB}$$

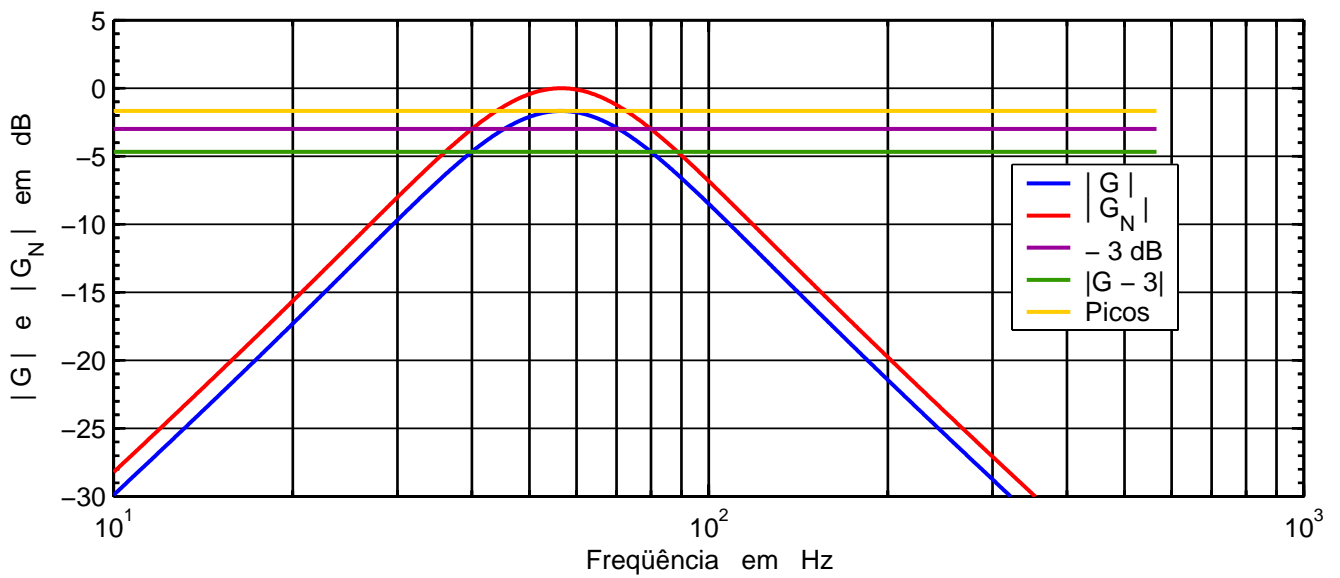


Fig. 43 - Polinômio da resposta e seu correspondente normalizado em amplitude, e os pontos de máximo e de -3 dB.

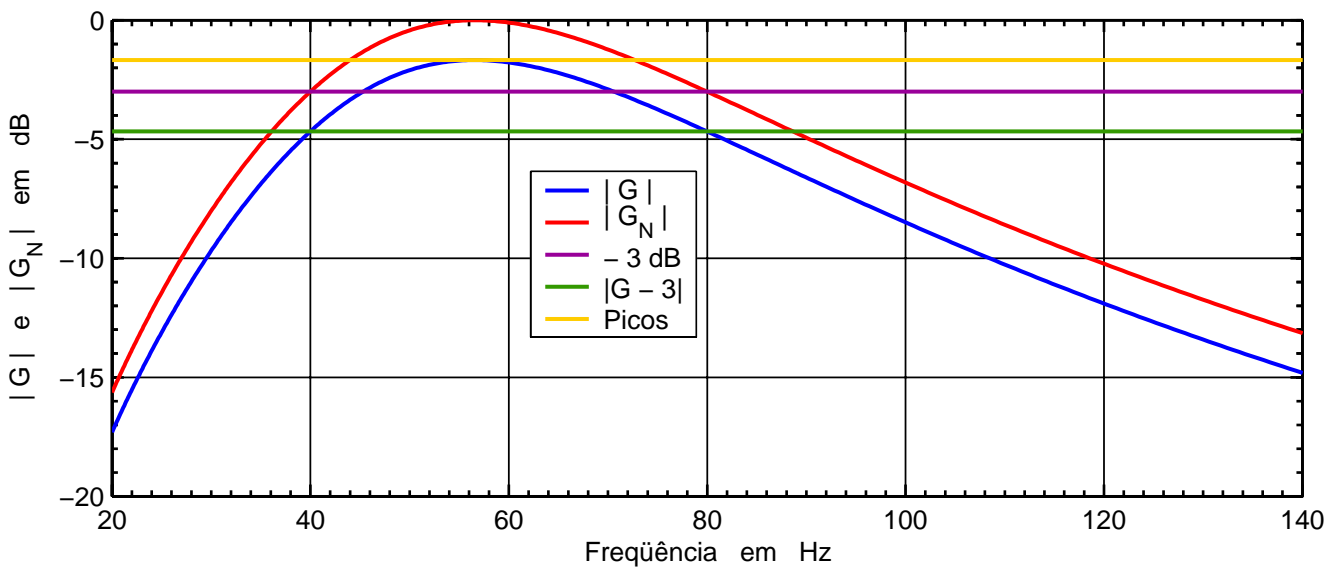


Fig. 44 - Idem, em escala linear.



## O Lado Elétrico

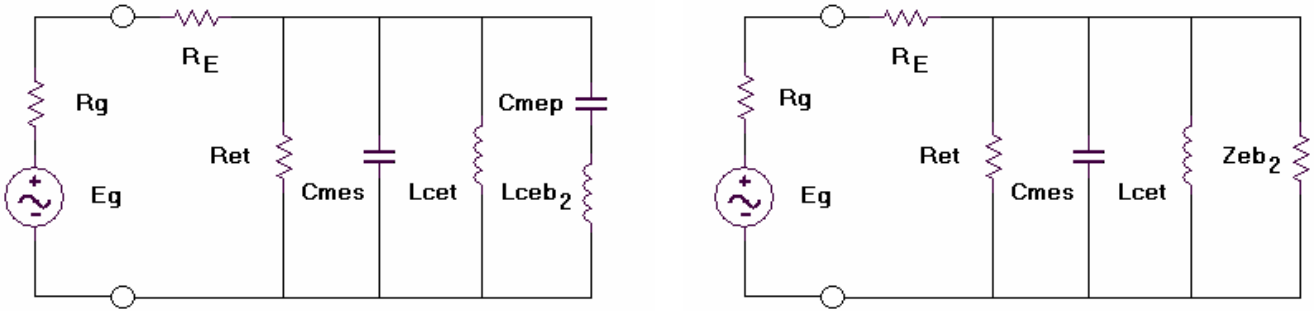


Fig. 45 - Circuito equivalente visto pelo lado elétrico.

$$R_{et} = \frac{(\beta L)^2}{S d^2 \cdot (R_{as} + R_{ab_1})} \quad ; \quad \omega_b^2 = \frac{1}{L_{ceb_2} \cdot C_{nep}}$$

$$Z_{eb_2} = s \cdot L_{ceb_2} + \frac{1}{s \cdot C_{nep}} = \frac{s^2 \cdot L_{ceb_2} \cdot C_{nep} + 1}{s \cdot C_{nep}} = \frac{\frac{s^2}{\omega_b^2} + 1}{s \cdot C_{nep}}$$

$$Z_E = \frac{1}{\frac{1}{R_{et}} + s \cdot C_{mes} + \frac{1}{s \cdot L_{cet}} + \frac{1}{Z_{eb_2}}} = \frac{1}{\frac{1}{R_{et}} + s \cdot C_{mes} + \frac{1}{s \cdot L_{cet}} + \frac{s \cdot C_{nep}}{\frac{s^2}{\omega_b^2} + 1}}$$

$$Z_E = \frac{s \cdot L_{cet}}{s \cdot \frac{L_{cet}}{R_{et}} + s^2 \cdot L_{cet} \cdot C_{mes} + 1 + s^2 \cdot \frac{L_{cet} \cdot C_{nep}}{\frac{s^2}{\omega_b^2} + 1}}$$

$$Z_E = R_{et} \cdot \frac{\frac{s}{\omega_c} \cdot \omega_c \cdot L_{cet}}{\omega_c \cdot R_{et}} \cdot \frac{1}{s^2 \cdot L_{cet} \cdot C_{mes} + s \cdot \frac{L_{cet}}{R_{et}} + 1 + s^2 \cdot \frac{L_{cet} \cdot C_{nep}}{\frac{s^2}{\omega_b^2} + 1}}$$

$$\omega_c^2 = \frac{1}{L_{cet} \cdot C_{mes}} \quad ; \quad \frac{1}{Q_{tc}} = \frac{\omega_c \cdot L_{cet}}{R_{et}}$$

$$Z_E = R_{et} \cdot \frac{\frac{s}{\omega_c} \cdot \omega_c \cdot L_{cet}}{\omega_c \cdot R_{et}} \cdot \frac{1}{\frac{s^2}{\omega_c^2} + \frac{s}{\omega_c} \cdot \frac{\omega_c \cdot L_{cet}}{R_{et}} + 1 + s^2 \cdot \frac{L_{cet} \cdot C_{nep}}{\frac{s^2}{\omega_b^2} + 1}}$$

$$Z_E = \text{Ret} \cdot \frac{\frac{s}{\omega_C} \cdot \frac{1}{Qtc}}{\frac{s^2}{\omega_C^2} + \frac{s}{\omega_C} \cdot \frac{1}{Qtc} + 1 + s^2 \cdot \frac{\text{Lcet} \cdot \text{Cmep}}{\frac{s^2}{\omega_b^2} + 1}}$$

$$Z_E = \text{Ret} \cdot \frac{\frac{1}{Qtc} \cdot \frac{s}{\omega_C} \cdot \left( \frac{s^2}{\omega_b^2} + 1 \right)}{\left( \frac{s^2}{\omega_b^2} + 1 \right) \cdot \left( \frac{s^2}{\omega_C^2} + \frac{s}{\omega_C} \cdot \frac{1}{Qtc} + 1 \right) + s^2 \cdot \text{Lcet} \cdot \text{Cmep}}$$

$$\omega_b^2 = \frac{1}{\text{Lceb}_2 \cdot \text{Cmep}} \quad \therefore \quad \text{Cmep} = \frac{1}{\omega_b^2 \cdot \text{Lceb}_2}$$

$$Z_E = \text{Ret} \cdot \frac{\frac{1}{Qtc} \cdot \frac{s}{\omega_C} \cdot \left( \frac{s^2}{\omega_b^2} + 1 \right)}{\left( \frac{s^2}{\omega_b^2} + 1 \right) \cdot \left( \frac{s^2}{\omega_C^2} + \frac{s}{\omega_C} \cdot \frac{1}{Qtc} + 1 \right) + \frac{s^2}{\omega_b^2} \cdot \frac{\text{Lcet}}{\text{Lceb}_2}}$$

$$\frac{\text{Lcet}}{\text{Lceb}_2} = \frac{\text{Cat}}{\text{Cab}_2} = \frac{\text{Cas}}{\text{Cab}_2} \cdot \frac{1}{1 + \alpha} = \frac{\alpha_2}{1 + \alpha} = B^2$$

$$Z_E = \text{Ret} \cdot \frac{\frac{1}{Qtc} \cdot \frac{s}{\omega_C} \cdot \left( \frac{s^2}{\omega_b^2} + 1 \right)}{\left( \frac{s^2}{\omega_b^2} + 1 \right) \cdot \left( \frac{s^2}{\omega_C^2} + \frac{s}{\omega_C} \cdot \frac{1}{Qtc} + 1 \right) + \frac{s^2}{\omega_b^2} \cdot B^2}$$

$$Z_E = \text{Ret} \cdot \frac{\frac{1}{Qtc} \cdot \frac{s}{\omega_C} \cdot \left( \frac{s^2}{\omega_b^2} + 1 \right)}{\left( \frac{s^4}{\omega_b^2 \cdot \omega_C^2} + \frac{s^3}{\omega_b^2 \cdot \omega_C} \cdot \frac{1}{Qtc} + \frac{s^2}{\omega_b^2} + \frac{s^2}{\omega_C^2} + \frac{s}{\omega_C} \cdot \frac{1}{Qtc} + 1 \right) + \frac{s^2}{\omega_b^2} \cdot B^2}$$

$$Z_E = \text{Ret} \cdot \frac{\frac{1}{Qtc} \cdot \frac{s}{\omega_C} \cdot \left( \frac{s^2}{\omega_b^2} + 1 \right)}{\frac{s^4}{\omega_b^2 \cdot \omega_C^2} + \frac{s^3}{\omega_b^2 \cdot \omega_C} \cdot \frac{1}{Qtc} + \frac{s^2}{\omega_b^2} + \frac{s^2}{\omega_b^2} \cdot B^2 + \frac{s^2}{\omega_C^2} + \frac{s}{\omega_C} \cdot \frac{1}{Qtc} + 1}$$

$$Z_E = \text{Ret} \cdot \frac{\frac{1}{Qtc} \cdot \frac{s}{\omega_C} \cdot \left( \frac{s^2}{\omega_b^2} + 1 \right)}{\frac{s^4}{\omega_b^2 \cdot \omega_C^2} + \frac{s^3}{\omega_b^2 \cdot \omega_C} \cdot \frac{1}{Qtc} + \frac{s^2}{\omega_b^2} \cdot (1 + B^2) + \frac{s^2}{\omega_C^2} + \frac{s}{\omega_C} \cdot \frac{1}{Qtc} + 1}$$

$$Z_E = \text{Ret} \cdot \frac{\frac{1}{Qtc} \cdot \frac{s}{\omega_C} \cdot \left( \frac{s^2}{\omega_b^2} + 1 \right)}{\frac{s^4}{\omega_b^2 \cdot \omega_C^2} + \frac{s^3}{\omega_b^2 \cdot \omega_C} \cdot \frac{1}{Qtc} + s^2 \cdot \left( \frac{1 + B^2}{\omega_b^2} + \frac{1}{\omega_C^2} \right) + \frac{s}{\omega_C} \cdot \frac{1}{Qtc} + 1}$$

$$Z_{VC} = R_g + R_E + Z_E$$

$$Z_{VC} = R_g + R_E + \text{Ret} \cdot \frac{\frac{1}{Qtc} \cdot \frac{s}{\omega_C} \cdot \left( \frac{s^2}{\omega_b^2} + 1 \right)}{\frac{s^4}{\omega_b^2 \cdot \omega_C^2} + \frac{s^3}{\omega_b^2 \cdot \omega_C} \cdot \frac{1}{Qtc} + s^2 \cdot \left( \frac{1 + B^2}{\omega_b^2} + \frac{1}{\omega_C^2} \right) + \frac{s}{\omega_C} \cdot \frac{1}{Qtc} + 1}$$

Para uma resposta simétrica,  $\omega_C = \omega_b$

$$Z_{VC} = R_g + R_E + \text{Ret} \cdot \frac{\frac{1}{Qtc} \cdot \frac{s}{\omega_C} \cdot \left( \frac{s^2}{\omega_C^2} + 1 \right)}{\frac{s^4}{\omega_C^4} + \frac{s^3}{\omega_C^3} \cdot \frac{1}{Qtc} + \frac{s^2}{\omega_C^2} \cdot (B^2 + 2) + \frac{s}{\omega_C} \cdot \frac{1}{Qtc} + 1}$$

Como  $\frac{1}{Qtc} = 2 \cdot d \cdot B$ , vem:

$$Z_{VC} = R_g + R_E + \text{Ret} \cdot \frac{\frac{1}{Qtc} \cdot \frac{s}{\omega_C} \cdot \left( \frac{s^2}{\omega_C^2} + 1 \right)}{\frac{s^4}{\omega_C^4} + \frac{s^3}{\omega_C^3} \cdot 2 \cdot d \cdot B + \frac{s^2}{\omega_C^2} \cdot (B^2 + 2) + \frac{s}{\omega_C} \cdot 2 \cdot d \cdot B + 1}$$

Se  $R_{ab_1}$  for desprezível,  $\text{Ret} \simeq \text{Res}$

$$Z_{VC} = R_g + R_E + \text{Res} \cdot \frac{\frac{1}{Qtc} \cdot \frac{s}{\omega_C} \cdot \left( \frac{s^2}{\omega_C^2} + 1 \right)}{\frac{s^4}{\omega_C^4} + \frac{s^3}{\omega_C^3} \cdot 2 \cdot d \cdot B + \frac{s^2}{\omega_C^2} \cdot (B^2 + 2) + \frac{s}{\omega_C} \cdot 2 \cdot d \cdot B + 1}$$

Desprezando  $R_g$ , vem:

$$Z_{VC} = R_E + R_{es} \cdot \frac{\frac{1}{Q_{tc}} \cdot \frac{s}{\omega_C} \cdot \left( \frac{s^2}{\omega_C^2} + 1 \right)}{\frac{s^4}{\omega_C^4} + \frac{s^3}{\omega_C^3} \cdot 2 \cdot d \cdot B + \frac{s^2}{\omega_C^2} \cdot (B^2 + 2) + \frac{s}{\omega_C} \cdot 2 \cdot d \cdot B + 1}$$

$$Z_{VC} = R_E \cdot \left[ 1 + \frac{R_{es}}{R_E} \cdot \frac{\frac{1}{Q_{tc}} \cdot \frac{s}{\omega_C} \cdot \left( \frac{s^2}{\omega_C^2} + 1 \right)}{\frac{s^4}{\omega_C^4} + \frac{s^3}{\omega_C^3} \cdot 2 \cdot d \cdot B + \frac{s^2}{\omega_C^2} \cdot (B^2 + 2) + \frac{s}{\omega_C} \cdot 2 \cdot d \cdot B + 1} \right]$$

$$\frac{R_{es}}{R_E} = \frac{Q_{ms}}{Q_{es}} \quad ; \quad \frac{R_E + R_{es}}{R_E} = \frac{Q_{ms}}{Q_{ts}}$$

$$Z_{VC} = R_E \cdot \left[ 1 + \frac{Q_{ms}}{Q_{es}} \cdot \frac{\frac{1}{Q_{tc}} \cdot \frac{s}{\omega_C} \cdot \left( \frac{s^2}{\omega_C^2} + 1 \right)}{\frac{s^4}{\omega_C^4} + \frac{s^3}{\omega_C^3} \cdot 2 \cdot d \cdot B + \frac{s^2}{\omega_C^2} \cdot (B^2 + 2) + \frac{s}{\omega_C} \cdot 2 \cdot d \cdot B + 1} \right]$$

$$Z_{VC} = R_E \cdot \left[ 1 + \frac{\frac{s}{\omega_C} \cdot \left( \frac{s^2}{\omega_C^2} + 1 \right) \cdot \frac{Q_{ms}}{Q_{es} \cdot Q_{tc}}}{\frac{s^4}{\omega_C^4} + \frac{s^3}{\omega_C^3} \cdot 2 \cdot d \cdot B + \frac{s^2}{\omega_C^2} \cdot (B^2 + 2) + \frac{s}{\omega_C} \cdot 2 \cdot d \cdot B + 1} \right]$$

$$Z_{VC} = R_E \cdot \left[ \frac{\frac{s^4}{\omega_C^4} + \frac{s^3}{\omega_C^3} \cdot 2 \cdot d \cdot B + \frac{s^2}{\omega_C^2} \cdot (B^2 + 2) + \frac{s}{\omega_C} \cdot 2 \cdot d \cdot B + 1 + \frac{s}{\omega_C} \cdot \left( \frac{s^2}{\omega_C^2} + 1 \right) \cdot \frac{Q_{ms}}{Q_{es} \cdot Q_{tc}}}{\frac{s^4}{\omega_C^4} + \frac{s^3}{\omega_C^3} \cdot 2 \cdot d \cdot B + \frac{s^2}{\omega_C^2} \cdot (B^2 + 2) + \frac{s}{\omega_C} \cdot 2 \cdot d \cdot B + 1} \right]$$

$$Z_{VC} = R_E \cdot \frac{\frac{s^4}{\omega_C^4} + \frac{s^3}{\omega_C^3} \cdot \left( 2 \cdot d \cdot B + \frac{Q_{ms}}{Q_{es} \cdot Q_{tc}} \right) + \frac{s^2}{\omega_C^2} \cdot (B^2 + 2) + \frac{s}{\omega_C} \cdot \left( 2 \cdot d \cdot B + \frac{Q_{ms}}{Q_{es} \cdot Q_{tc}} \right) + 1}{\frac{s^4}{\omega_C^4} + \frac{s^3}{\omega_C^3} \cdot 2 \cdot d \cdot B + \frac{s^2}{\omega_C^2} \cdot (B^2 + 2) + \frac{s}{\omega_C} \cdot 2 \cdot d \cdot B + 1}$$

$$Z_{VC} = R_E \cdot GZ_{VC}$$

$$GZ_{vc(j\omega)} = \frac{\frac{\omega^4}{\omega_C^4} - j \cdot \frac{\omega^3}{\omega_C^3} \cdot \left(2 \cdot d \cdot B + \frac{Q_{ms}}{Q_{es} \cdot Q_{tc}}\right) - \frac{\omega^2}{\omega_C^2} \cdot (B^2 + 2) + j \cdot \frac{\omega}{\omega_C} \cdot \left(2 \cdot d \cdot B + \frac{Q_{ms}}{Q_{es} \cdot Q_{tc}}\right) + 1}{\frac{\omega^4}{\omega_C^4} - j \cdot \frac{\omega^3}{\omega_C^3} \cdot 2 \cdot d \cdot B - \frac{\omega^2}{\omega_C^2} \cdot (B^2 + 2) + j \cdot \frac{\omega}{\omega_C} \cdot 2 \cdot d \cdot B + 1}$$

$$GZ_{vc(j\omega)} = \frac{\frac{\omega^4}{\omega_C^4} - \frac{\omega^2}{\omega_C^2} \cdot (B^2 + 2) + 1 + j \cdot \frac{\omega}{\omega_C} \cdot \left(1 - \frac{\omega^2}{\omega_C^2}\right) \cdot \left(2 \cdot d \cdot B + \frac{Q_{ms}}{Q_{es} \cdot Q_{tc}}\right)}{\frac{\omega^4}{\omega_C^4} - \frac{\omega^2}{\omega_C^2} \cdot (B^2 + 2) + 1 + j \cdot \frac{\omega}{\omega_C} \cdot \left(1 - \frac{\omega^2}{\omega_C^2}\right) \cdot 2 \cdot d \cdot B}$$

$$|GZ_{vc(j\omega)}|^2 = \frac{\left[\frac{\omega^4}{\omega_C^4} - \frac{\omega^2}{\omega_C^2} \cdot (B^2 + 2) + 1\right]^2 + \left[\frac{\omega}{\omega_C} \cdot \left(1 - \frac{\omega^2}{\omega_C^2}\right) \cdot \left(2 \cdot d \cdot B + \frac{Q_{ms}}{Q_{es} \cdot Q_{tc}}\right)\right]^2}{\left[\frac{\omega^4}{\omega_C^4} - \frac{\omega^2}{\omega_C^2} \cdot (B^2 + 2) + 1\right]^2 + \left[\frac{\omega}{\omega_C} \cdot 2 \cdot d \cdot B \cdot \left(1 - \frac{\omega^2}{\omega_C^2}\right)\right]^2}$$

$$\Theta_{(j\omega)} = \operatorname{tg}^{-1} \left[ \frac{\frac{\omega}{\omega_C} \cdot \left(1 - \frac{\omega^2}{\omega_C^2}\right) \cdot \left(2 \cdot d \cdot B + \frac{Q_{ms}}{Q_{es} \cdot Q_{tc}}\right)}{\frac{\omega^4}{\omega_C^4} - \frac{\omega^2}{\omega_C^2} \cdot (B^2 + 2) + 1} \right] - \operatorname{tg}^{-1} \left[ \frac{\frac{\omega}{\omega_C} \cdot \left(1 - \frac{\omega^2}{\omega_C^2}\right) \cdot 2 \cdot d \cdot B}{\frac{\omega^4}{\omega_C^4} - \frac{\omega^2}{\omega_C^2} \cdot (B^2 + 2) + 1} \right]$$

### Normalizando em Relação à Fc

$$Z_{vc} = R_E \cdot \frac{s_N^4 + s_N^3 \cdot \left(2 \cdot d \cdot B + \frac{Q_{ms}}{Q_{es} \cdot Q_{tc}}\right) + s_N^2 \cdot (B^2 + 2) + s_N \cdot \left(2 \cdot d \cdot B + \frac{Q_{ms}}{Q_{es} \cdot Q_{tc}}\right) + 1}{s_N^4 + s_N^3 \cdot 2 \cdot d \cdot B + s_N^2 \cdot (B^2 + 2) + s_N \cdot 2 \cdot d \cdot B + 1}$$

$$GZ_{vc(j\omega_N)} = \frac{s_N^4 - s_N^2 \cdot (B^2 + 2) + 1 + j \cdot s_N \cdot (1 - s_N^2) \cdot \left(2 \cdot d \cdot B + \frac{Q_{ms}}{Q_{es} \cdot Q_{tc}}\right)}{s_N^4 - s_N^2 \cdot (B^2 + 2) + 1 + j \cdot s_N \cdot (1 - s_N^2) \cdot 2 \cdot d \cdot B}$$

$$|GZ_{vc(j\omega_N)}|^2 = \frac{\left[s_N^4 - s_N^2 \cdot (B^2 + 2) + 1\right]^2 + \left[s_N \cdot (1 - s_N^2) \cdot \left(2 \cdot d \cdot B + \frac{Q_{ms}}{Q_{es} \cdot Q_{tc}}\right)\right]^2}{\left[s_N^4 - s_N^2 \cdot (B^2 + 2) + 1\right]^2 + \left[s_N \cdot 2 \cdot d \cdot B \cdot (1 - s_N^2)\right]^2}$$

$$\Theta_{(j\omega_N)} = \operatorname{tg}^{-1} \left[ \frac{s_N \cdot (1 - s_N^2) \cdot \left(2 \cdot d \cdot B + \frac{Q_{ms}}{Q_{es} \cdot Q_{tc}}\right)}{s_N^4 - s_N^2 \cdot (B^2 + 2) + 1} \right] - \operatorname{tg}^{-1} \left[ \frac{s_N \cdot (1 - s_N^2) \cdot 2 \cdot d \cdot B}{s_N^4 - s_N^2 \cdot (B^2 + 2) + 1} \right]$$

Band pass simétrica, onde:  $d = 0,44$  ;  $B = 1$  ;  $Q_{tc} = 1,136$  ;  $F_c = 74,83$  Hz ;  $Q_{ts} = 0,911$  e  $F_s = 60$  Hz

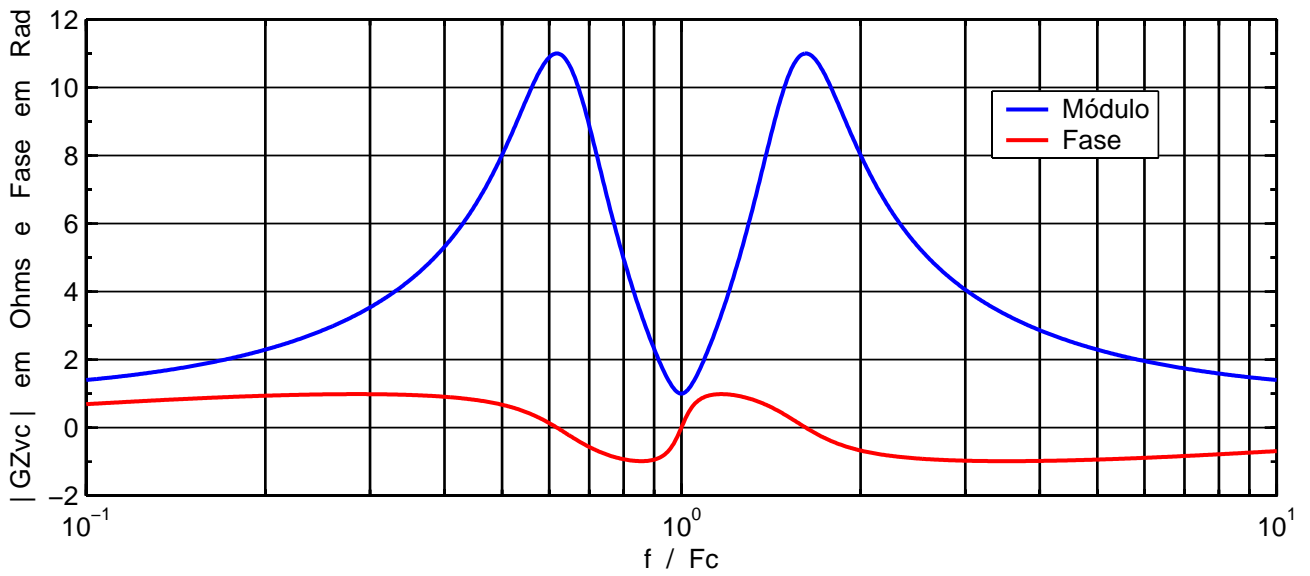


Fig. 46 - Módulo de  $GZ_{vc}$  e fase em radianos, normalizados em relação à  $F_c$ .

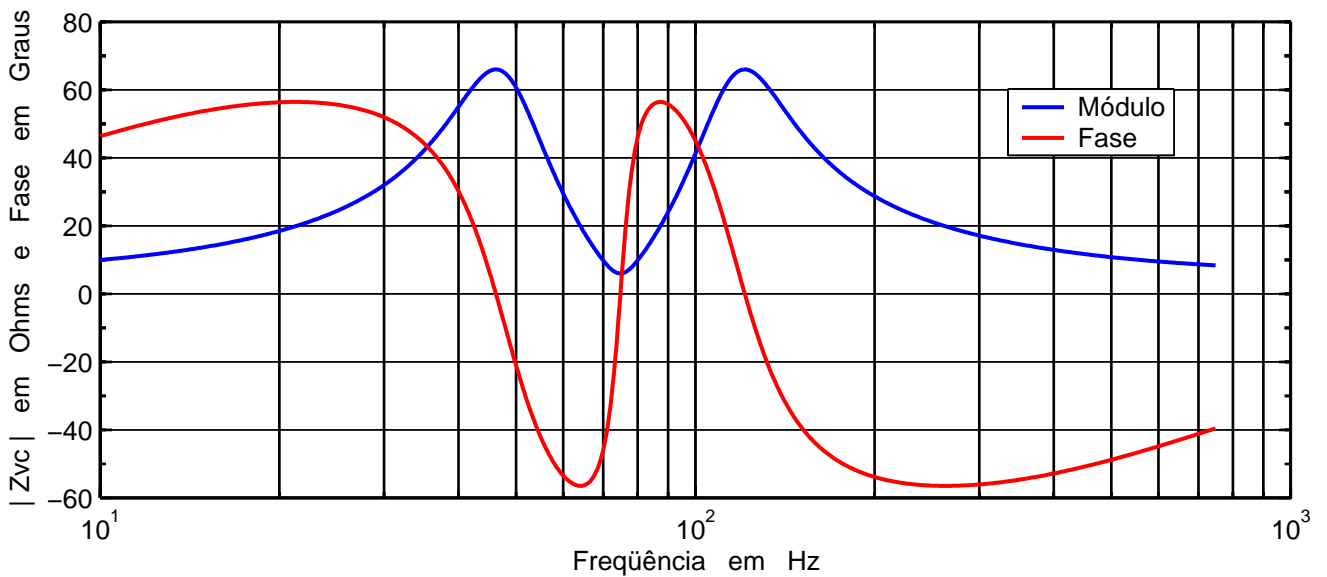


Fig. 47 - Módulo de  $Z_{vc}$  e fase em graus em função da frequência.

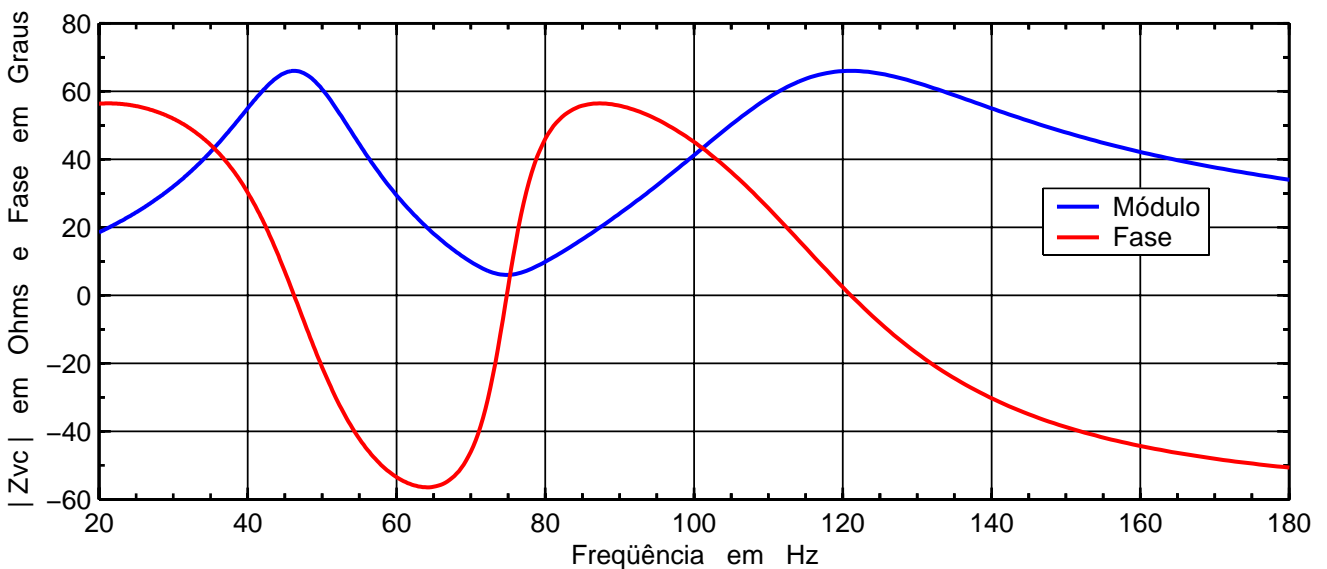


Fig. 48 - Módulo de  $Z_{vc}$  e fase em graus em função da frequência, escala linear.

## Eficiência

### A proposta de Thiele e Small

A eficiência de um alto-falante, ou caixa acústica, é definida como sendo o cociente entre a potência acústica obtida e a potência elétrica aplicada:

$$\eta = \frac{W_A}{W_E}$$

onde a potência acústica é aquela dissipada na componente resistiva da impedância de radiação  $R_{ar}$ , sendo esta, aproximadamente, dada por:

$$R_{ar} = \frac{\rho \cdot \omega^2}{2\pi \cdot C}$$

Então,  $W_A = R_{ar} \cdot |U_{p(s)}|^2$ , pois, no caso de uma band pass de quarta ordem, a velocidade volumétrica é aquela no duto.

$$U_p = P_g \cdot \frac{Sd^2}{\omega_C \cdot M_{ms}} \cdot \frac{\frac{s}{\omega_C}}{\frac{s^4}{\omega_b^2 \cdot \omega_C^2} + \frac{s^3 \cdot 2 \cdot d \cdot B}{\omega_b^2 \cdot \omega_C} + s^2 \cdot \left[ \frac{1}{\omega_b^2} \cdot (1 + B^2) + \frac{1}{\omega_C^2} \right] + \frac{s \cdot 2 \cdot d \cdot B}{\omega_C} + 1}$$

Para uma resposta simétrica:

$$U_p = P_g \cdot \frac{Sd^2}{\omega_C \cdot M_{ms}} \cdot \frac{\frac{s}{\omega_C}}{\frac{s^4}{\omega_C^4} + \frac{s^3 \cdot 2 \cdot d \cdot B}{\omega_C^3} + \frac{s^2}{\omega_C^2} \cdot (B^2 + 2) + \frac{s \cdot 2 \cdot d \cdot B}{\omega_C} + 1}$$

$$U_p = P_g \cdot \frac{Sd^2}{s \cdot M_{ms}} \cdot \frac{\frac{s^2}{\omega_C^2}}{\frac{s^4}{\omega_C^4} + \frac{s^3 \cdot 2 \cdot d \cdot B}{\omega_C^3} + \frac{s^2}{\omega_C^2} \cdot (B^2 + 2) + \frac{s \cdot 2 \cdot d \cdot B}{\omega_C} + 1}$$

$$U_p = P_g \cdot \frac{Sd^2}{s \cdot M_{ms}} \cdot \frac{\frac{s_N^2}{\omega_C^2}}{s_N^4 + s_N^3 \cdot 2 \cdot d \cdot B + s_N^2 \cdot (B^2 + 2) + s_N \cdot 2 \cdot d \cdot B + 1}$$

$$G_{(s_N)} = \frac{\frac{s_N^2}{\omega_C^2}}{s_N^4 + s_N^3 \cdot 2 \cdot d \cdot B + s_N^2 \cdot (B^2 + 2) + s_N \cdot 2 \cdot d \cdot B + 1}$$

$$U_p = P_g \cdot \frac{Sd^2}{s \cdot M_{ms}} \cdot G_{(s_N)} = P_g \cdot \frac{Sd^2}{M_{ms}} \cdot \frac{1}{s} \cdot G_{(s_N)}$$

$$\text{Como } P_g = E_g \cdot \frac{\beta L}{(R_g + R_E) \cdot S_d}, \text{ vem:}$$

$$U_p = E_g \cdot \frac{\beta L}{(R_g + R_E) \cdot S_d} \cdot \frac{S_d^2}{Mms} \cdot \frac{1}{s} \cdot G_{(s_N)}$$

$$U_p = E_g \cdot \frac{\beta L}{R_g + R_E} \cdot \frac{S_d}{Mms} \cdot \frac{1}{s} \cdot G_{(s_N)}$$

$$W_A = R_{ar} \cdot |U_{p(s)}|^2 = \frac{\rho \cdot \omega^2}{2\pi \cdot C} \cdot \left[ E_g \cdot \frac{\beta L}{R_g + R_E} \cdot \frac{S_d}{Mms} \right]^2 \cdot \frac{1}{s^2} \cdot |G_{(s_N)}|^2$$

$$W_A = \frac{\rho}{2\pi \cdot C} \cdot \left[ E_g \cdot \frac{\beta L}{R_g + R_E} \cdot \frac{S_d}{Mms} \right]^2 \cdot \left( \frac{\omega}{s} \right)^2 \cdot |G_{(s_N)}|^2$$

$$W_A = \frac{\rho}{2\pi \cdot C} \cdot \left[ E_g \cdot \frac{\beta L}{R_g + R_E} \cdot \frac{S_d}{Mms} \right]^2 \cdot \left| \frac{\omega}{s} \cdot G_{(s_N)} \right|^2$$

$$\left| \frac{\omega}{s} \cdot G_{(s_N)} \right|^2 = \left| \frac{\omega}{j\omega} \cdot G_{(j\omega_N)} \right|^2 = |G_{(j\omega_N)}|^2$$

$$W_A = R_{ar} \cdot |U_{p(s)}|^2 = \frac{\rho}{2\pi \cdot C} \cdot \left[ E_g \cdot \frac{\beta L}{R_g + R_E} \cdot \frac{S_d}{Mms} \right]^2 \cdot |G_{(j\omega_N)}|^2$$

Thiele e Small definiram a potência elétrica absorvida pelo falante como sendo aquela dissipada em  $R_E$ , que possui um valor aproximadamente igual ao valor da impedância mínima do falante.

Esta simplificação permite a obtenção de uma equação mais fácil de manipular que, embora útil na comparação de falantes, não retrata perfeitamente o fenômeno, uma vez que a potência elétrica absorvida varia com a frequência.

Assim sendo, devemos considerar a eficiência de referencia como sendo válida nas vizinhanças da impedância nominal.

$$W_E = R_E \cdot \left[ \frac{E_g}{R_g + R_E} \right]^2$$



$$\eta_{BP} = \frac{W_A}{W_E} = \frac{\frac{\rho}{2\pi \cdot C} \cdot \left[ \frac{Eg \cdot \frac{\beta L}{(R_g + R_E)} \cdot \frac{Sd}{Mms}}{R_E \cdot \left[ \frac{Eg}{R_g + R_E} \right]^2} \right]^2 \cdot |G_{(j\omega_N)}|^2}$$

$$\eta_{BP} = \frac{\rho}{2\pi \cdot C} \cdot \frac{(\beta L)^2}{R_E} \cdot \left( \frac{Sd}{Mms} \right)^2 \cdot |G_{(j\omega_N)}|^2$$

$$\eta_0 = \frac{\rho}{2\pi \cdot C} \cdot \frac{(\beta L)^2}{R_E} \cdot \left( \frac{Sd}{Mms} \right)^2 = \frac{9,6 \cdot 10^{-10} \cdot F_s^3 \cdot Vas}{Qes} \quad (22)$$

$$\eta_{BP} = \eta_0 \cdot |G_{(j\omega_N)}|^2$$

Calculando a eficiência para  $\omega = \omega_C$ , ou seja, na frequência central da banda passante, teremos:

$$\eta_{BP} = \eta_0 \cdot |G_{(j\omega_N)}|^2 = \eta_0 \cdot \frac{1/B^4}{(2 \cdot d \cdot \gamma)^2 + (\gamma^2 - 1)^2}$$

Como  $\gamma = 0$  para  $\omega = \omega_C$ , temos:

$$\eta_{BP} = \frac{\eta_0}{B^4} \quad (23) \quad \therefore \quad \frac{\eta_{BP}}{\eta_0} = \frac{1}{B^4}$$

Assim, podemos dizer que a eficiência de uma caixa band pass, simétrica, de quarta ordem, na frequência  $F_c$ , comparada à eficiência do mesmo alto-falante, instalado em uma caixa tipo radiador direto (fechada, refletor de graves, radiador passivo) será igual a  $1/B^4$  (guardadas as devidas ressalvas quanto à aproximação feita na análise).

## Outra abordagem

Se calcularmos a potência elétrica como sendo uma função da frequência, ao invés de considerá-la constante, conforme fizemos anteriormente, teremos um resultado muito mais geral, capaz de mostrar como a eficiência varia com a frequência.

O resultado obtido antes se torna um caso particular para a frequência central  $F_c$ , como veremos a seguir.

$$Z_{vc(j\omega_N)} = R_E \cdot GZ_{vc(j\omega_N)} \quad \therefore \quad |Z_{vc(j\omega_N)}| = R_E \cdot |GZ_{vc(j\omega_N)}|$$

$$W_E = \frac{Eg^2}{|Zvc_{(j\omega_N)}|} \cdot \cos(\Theta_{(j\omega_N)}) = \frac{Eg^2}{R_E} \cdot \frac{1}{|GZvc_{(j\omega_N)}|} \cdot \cos(\Theta_{(j\omega_N)})$$

$$\Theta_{(j\omega_N)} = \operatorname{tg}^{-1} \left[ \frac{\frac{\omega}{\omega_C} \cdot \left(1 - \frac{\omega^2}{\omega_C^2}\right) \cdot \left(2 \cdot d \cdot B + \frac{Qms}{Qes \cdot Qtc}\right)}{\frac{\omega^4}{\omega_C^4} - \frac{\omega^2}{\omega_C^2} \cdot (B^2 + 2) + 1} \right] - \operatorname{tg}^{-1} \left[ \frac{\frac{\omega}{\omega_C} \cdot \left(1 - \frac{\omega^2}{\omega_C^2}\right) \cdot 2 \cdot d \cdot B}{\frac{\omega^4}{\omega_C^4} - \frac{\omega^2}{\omega_C^2} \cdot (B^2 + 2) + 1} \right]$$

Desprezando  $R_g$ , vem:

$$W_A = R_{ar} \cdot |U_{P(s)}|^2 = \frac{\rho}{2\pi \cdot C} \cdot \left[ Eg \cdot \frac{\beta L}{R_E} \cdot \frac{Sd}{Mms} \right]^2 \cdot |G_{(j\omega_N)}|^2$$

$$\eta_{BP} = \frac{W_A}{W_E} = \frac{\frac{\rho}{2\pi \cdot C} \cdot \left[ Eg \cdot \frac{\beta L}{R_E} \cdot \frac{Sd}{Mms} \right]^2 \cdot |G_{(j\omega_N)}|^2}{\frac{Eg^2}{R_E} \cdot \frac{1}{|GZvc_{(j\omega_N)}|} \cdot \cos(\Theta_{(j\omega_N)})}$$

$$\eta_{BP} = \frac{\rho}{2\pi \cdot C} \cdot \frac{(\beta L)^2}{R_E} \cdot \left( \frac{Sd}{Mms} \right)^2 \cdot \frac{|GZvc_{(j\omega_N)}|}{\cos(\Theta_{(j\omega_N)})} \cdot |G_{(j\omega_N)}|^2$$

$$\eta_{BP} = \eta_O \cdot \frac{|GZvc_{(j\omega_N)}|}{\cos(\Theta_{(j\omega_N)})} \cdot |G_{(j\omega_N)}|^2 \quad \therefore \quad \frac{\eta_{BP}}{\eta_O} = \frac{|GZvc_{(j\omega_N)}|}{\cos(\Theta_{(j\omega_N)})} \cdot |G_{(j\omega_N)}|^2$$

$$\text{Em } \omega = \omega_C \Rightarrow |GZvc_{(j\omega_N)}| = 1 \ ; \ \cos(\Theta_{(j\omega_N)}) = 1 \ ; \ |G_{(j\omega_N)}|^2 = \frac{1}{B^4} \ \therefore \ \frac{\eta_{BP}}{\eta_O} = \frac{1}{B^4}$$

O resultado acima, confirma aquele encontrado anteriormente, que fica agora reduzido a um caso particular.

As figuras adiante permitem uma visualização cômuda de  $\eta_{BP}$ , em função da frequência, e de  $\gamma$ .

Band pass simétrica, onde:  $d = 0,44$  ;  $B = 1$  ;  $Q_{tc} = 1,136$  ;  $F_c = 74,83$  Hz ;  $Q_{ts} = 0,911$  e  $F_s = 60$  Hz

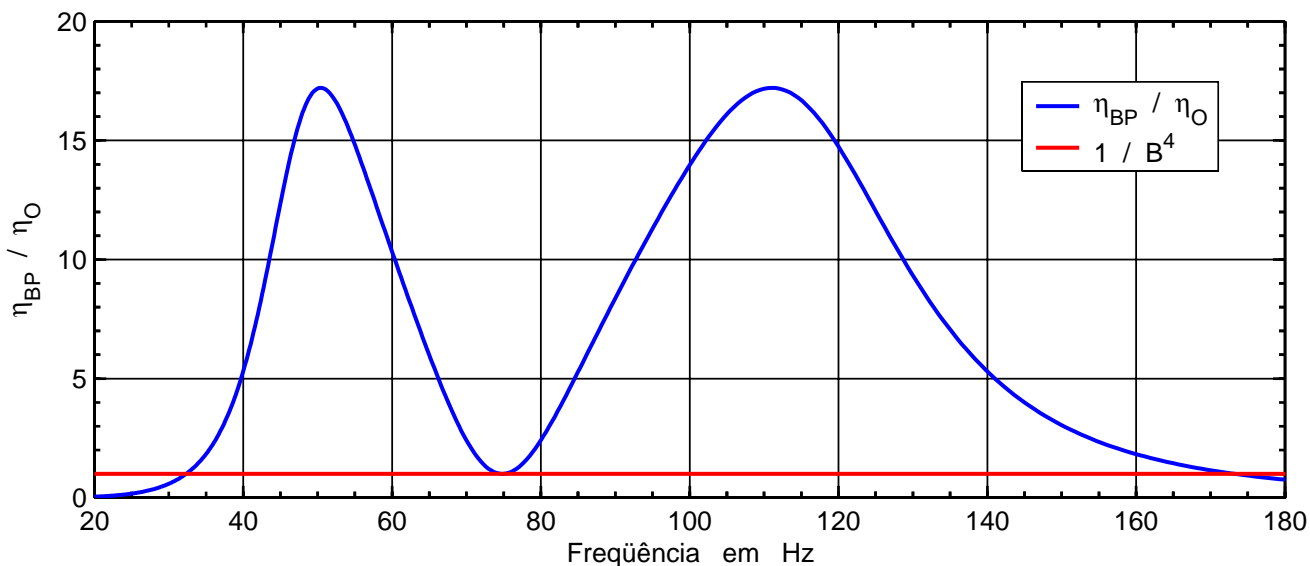


Fig. 49 - Eficiência relativa em função da frequência e a eficiência em  $F_c$  .

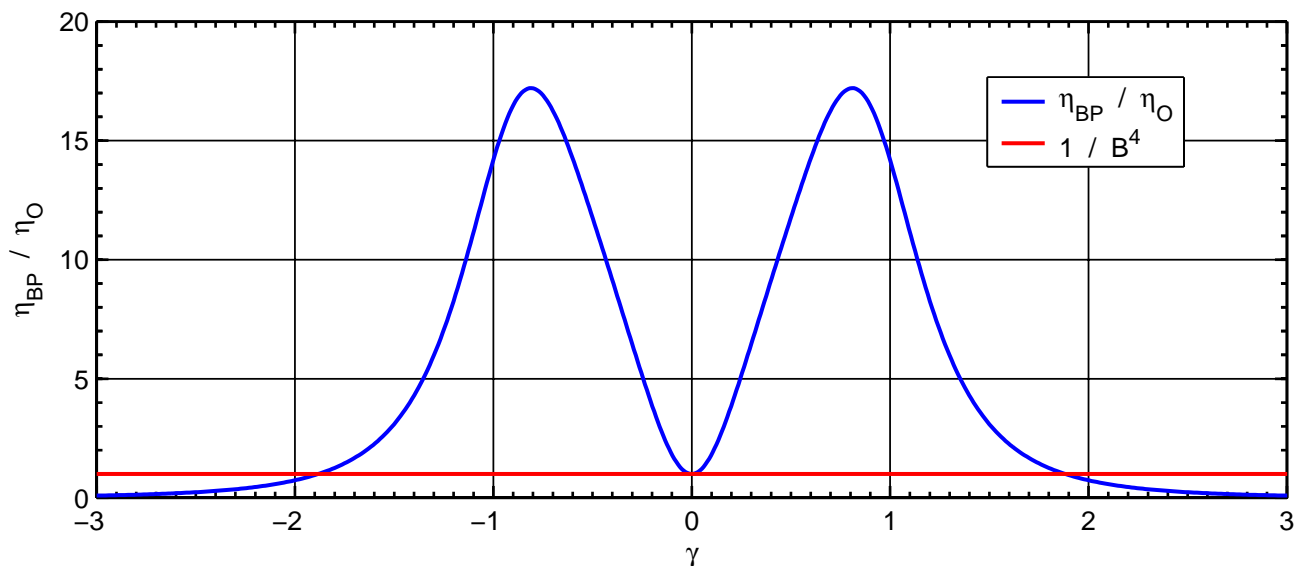


Fig. 50 - Eficiência relativa em função de  $\gamma$  e a eficiência em  $\gamma = 0$  .

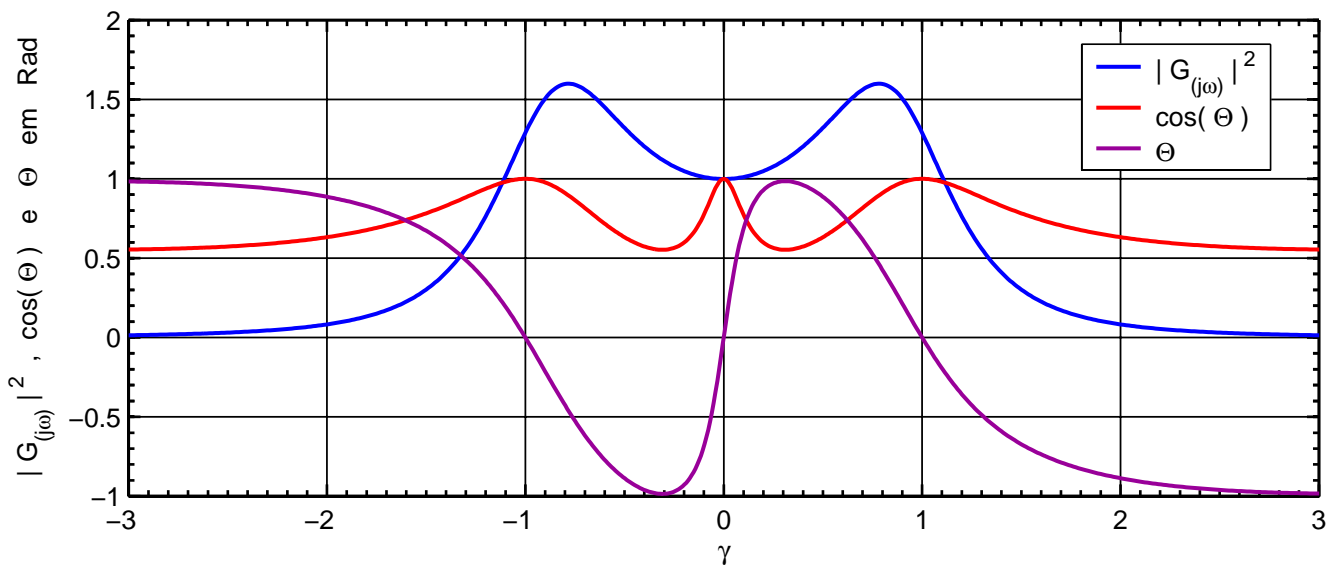


Fig. 51 - Componentes da eficiência.

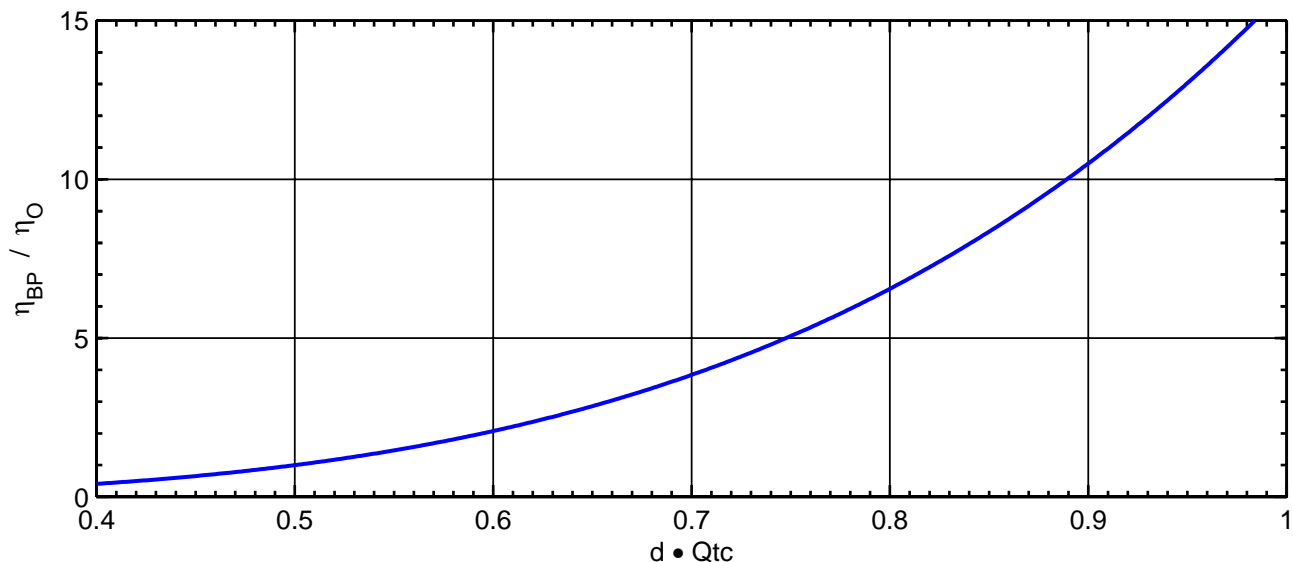


Fig. 52 - Eficiência relativa em função de  $d \cdot Qtc$  .

## Bibliografia

- 1 – A Bandpass Loudspeaker Enclosure  
L. R. Fincham  
Apresentado na 63<sup>a</sup> Convenção da AES, maio de 1979
- 2 – The Third Dimension: Simmetrically Loaded  
Jean Margerand  
Speaker Builder, 06/1988
- 3 – Bandpass Loudspeaker Systems  
Homero Sette Silva  
The Reference, Southern Califórnia Áudio Society, USA, 07/1991
- 4 – Alto Falantes & Caixas Acústicas Pelo Método de T-S  
Homero Sette Silva  
H. Sheldon Serviços de Marketing Ltda. , Inverno de 1996
- 5 – Interface Amplificador Falante em Regime de Alta Potência  
Ruy L. B. Monteiro  
Apresentado na 4<sup>a</sup> Convenção da AES Brasil, em Junho de 2000  
Disponível em [www.studior.com.br](http://www.studior.com.br)
- 6 - Curso Selenium – CURSEL  
Notas de Aula, versão Junho de 2002  
Disponível em [www.selenium.com.br](http://www.selenium.com.br)
- 7 - Loudspeakers' Electric Models for Study of the Efforts in Áudio Power Amplifiers  
Bortoni e Silva  
Apresentado na 115<sup>a</sup> Convenção da AES, outubro de 2003  
Disponível em [www.selenium.com.br](http://www.selenium.com.br)

## Exemplo de Projeto

Vamos desenvolver um projeto de caixa band pass, simétrica, de quarta ordem, usando o falante 18SW2P, cuja ficha técnica encontra-se em anexo.

Neste caso, como todos os parâmetros do alto-falante foram especificados, vamos calcular o valor de  $F_s/Q_{ts}$ :

$$F_s / Q_{ts} = 36 / 0,42 = 85,71$$

A seguir, utilizando as relações abaixo, vamos arbitrar a banda passante que nos interesse e calcular  $d$ :

Arbitrando  $F_H = 80$  Hz e  $F_L = 40$  Hz, ou seja, uma banda passante igual a uma oitava, vem:

$$\frac{F_H - F_L}{\frac{F_c}{Q_{tc}}} = \frac{F_H - F_L}{\frac{F_s}{Q_{ts}}} = \frac{80 - 40}{\frac{36}{0,42}} = 0,4667 = BW_N$$

$$d = \frac{1}{2} \cdot \sqrt{\frac{1}{BW_N^2 + 1} + \sqrt{\frac{1}{(BW_N^2 + 1)^2} + \frac{1}{BW_N^2 \cdot (BW_N^2 + 1)}}}$$

$$d = \frac{1}{2} \cdot \sqrt{\frac{1}{0,4667^2 + 1} + \sqrt{\frac{1}{(0,4667^2 + 1)^2} + \frac{1}{0,4667^2 \cdot (0,4667^2 + 1)}}} = 0,8558$$

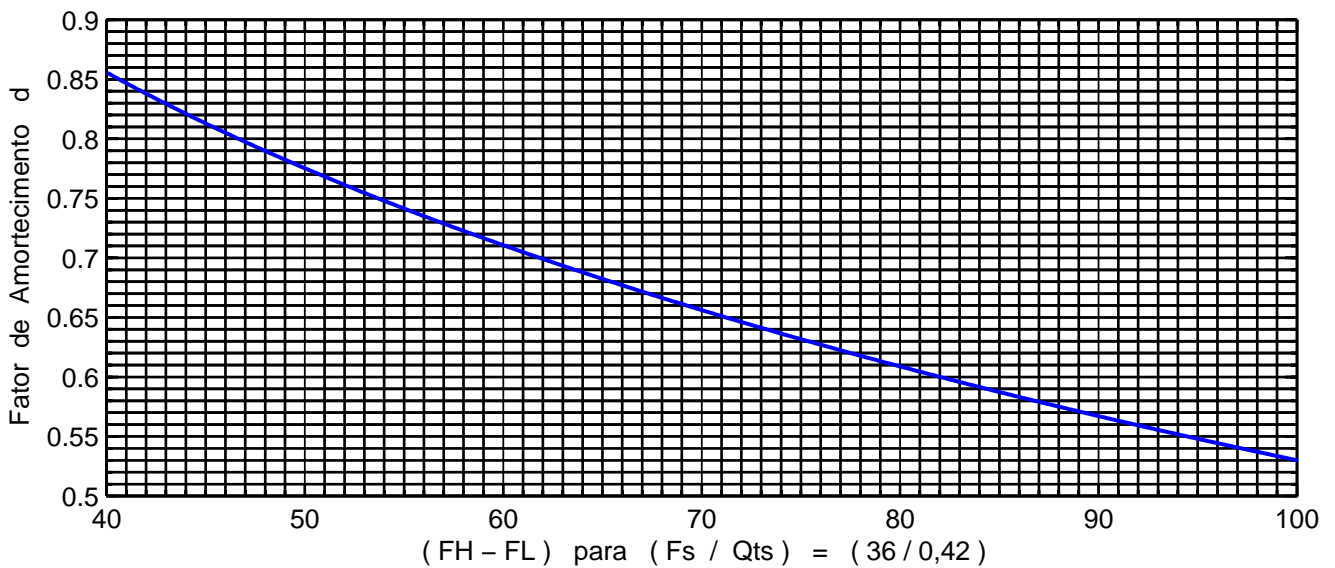


Fig. 53 - Fator de amortecimento, em função da banda passante, para  $(F_s / Q_{ts}) = (36 / 0,42)$ .

$$Q_{tc} = \frac{Q_{ts}}{F_s} \cdot F_c = = \frac{0,42}{36} \cdot 56,57 = 0,660$$

$$d \cdot Q_{tc} = 0,8558 \cdot 0,660 = 0,5648$$

$$B = \frac{1}{2 \cdot d \cdot Q_{tc}} = \frac{1}{2 \cdot 0,8558 \cdot 0,660} = 0,8853$$

$$PA = -40 \cdot \text{Log}(B) = 2,1167 \text{ dB}$$

$$\frac{\eta_{BP}}{\eta_o} = \frac{1}{B^4} = \frac{1}{0,8853^4} = 1,6281$$

Repetindo o procedimento acima, para outras bandas passantes de interesse, obtivemos o quadro abaixo, que nos vai permitir escolher a opção mais indicada.

Tabela 2 - Valores obtidos para $F_s / Q_{ts} = 36 / 0,42$ e diversas bandas passantes								
$F_H - F_L$	$F_C$	$Q_{tc}$	$d$	$d \cdot Q_{tc}$	$R_{dB}$	$B$	$PA_{dB}$	$\eta_{BP} / \eta_o$
80 - 40	56,57	0,660	0,8558	0,5648	-	0,8853	2,12	1,63
100 - 40	63,25	0,738	0,7107	0,5244	-	0,9535	0,83	1,21
120 - 40	69,28	0,808	0,6088	0,4921	0,30	1,0160	-0,28	0,94
140 - 40	74,83	0,873	0,5301	0,4628	0,93	1,0804	-1,34	0,73

Analisando os valores obtidos, vemos que quanto maior a banda passante  $F_H - F_L$ , menor o nível de pressão acústica obtido,  $PA_{dB}$ .  $PA = 0 \text{ dB}$  (ou  $B = 1$ ) indica que a caixa band pass possui o mesmo nível que seria obtido com o falante instalado em uma caixa de radiação direta. Por essa razão, escolhemos a banda passante de 100 a 40 Hz, pois sua pressão acústica foi ligeiramente maior que a produzida por um radiador direto.

Valores negativos de  $PA$ , ou de  $B$  maiores que 1, indicam uma pressão acústica menor aquela produzida pelas caixas de radiação direta.

Das quatro opções analisadas, duas não apresentaram picos na resposta e nas outras duas os picos foram muito pequenos, de modo que o parâmetro  $R_{dB}$  não foi decisivo, neste caso, para a escolha da melhor opção.

Obtendo na ficha técnica o valor de  $V_{as}$ , podemos dimensionar as câmaras  $V_{b1}$  e  $V_{b2}$ .

$$V_{B2} = (2 \cdot d \cdot Q_{ts})^2 \cdot V_{as} = (2 \cdot 0,7107 \cdot 0,42)^2 \cdot 179 = 63,8 \text{ L}$$

$$\alpha = \frac{V_{as}}{V_{b1}} = \left( \frac{F_C}{F_S} \right)^2 - 1 \quad \therefore \quad V_{b1} = \frac{V_{as}}{\left( \frac{F_C}{F_S} \right)^2 - 1} = \frac{179}{\left( \frac{63,25}{36} \right)^2 - 1} = 85,8 \text{ L}$$

A sensibilidade estática ao deslocamento, e a constante de deslocamento, podem ser obtidas, conforme abaixo, o que nos vai permitir observar o deslocamento do cone, no gráfico correspondente.

$$\sigma_x = \frac{\beta L \cdot C_{ms}}{R_g + R_E} = \frac{25,4 \cdot 89,8}{5,6} = 407,3 \frac{\mu\text{m}}{\text{V}} = 0,4073 \frac{\text{mm}}{\text{V}}$$

$$K_X = \left(\frac{F_S}{F_C}\right)^2 = \left(\frac{36}{63,25}\right)^2 = 0,324$$

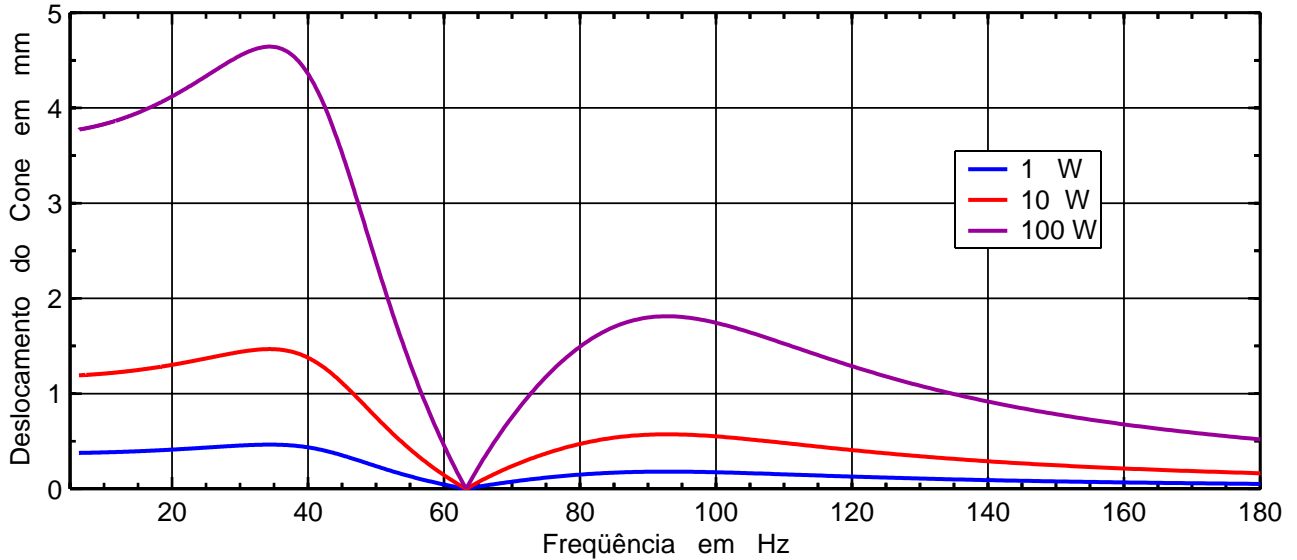


Fig. 54 - Deslocamento do cone do falante, instalado na caixa band pass, para diversas potências.

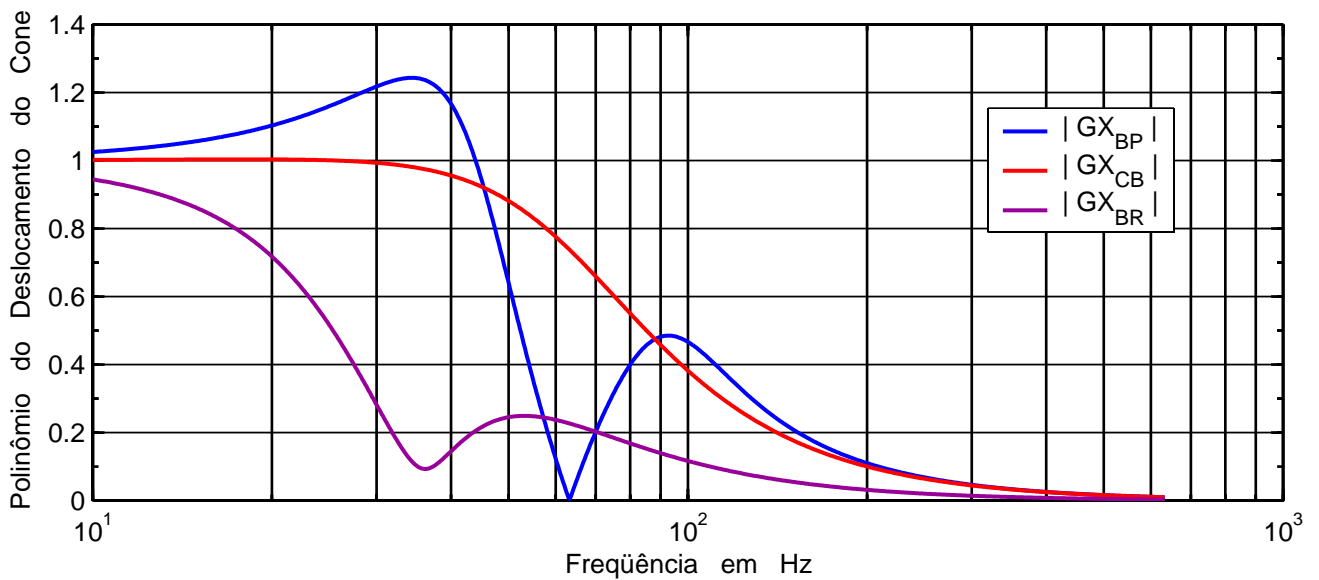
Tabela 3 - Parâmetros do Deslocamento do Cone para Diferentes Tipos de Caixas			
Parâmetro	Caixa Selada	Refletor de Graves	BP 4ª Ordem
$K_X$	$\left(\frac{\omega_S}{\omega_C}\right)^2 = \left(\frac{F_S}{F_C}\right)^2$	1	$\left(\frac{\omega_S}{\omega_C}\right)^2 = \left(\frac{F_S}{F_C}\right)^2$
$\sigma_X$	$\frac{\beta L \cdot C_{ms}}{R_g + R_E}$	$\frac{\beta L \cdot C_{ms}}{R_g + R_E}$	$\frac{\beta L \cdot C_{ms}}{R_g + R_E}$
$X_{d(s)} = E_g \cdot \sigma_X \cdot K_X \cdot G X_{(s)}$			

Comparando o valor da constante de deslocamento obtido neste projeto (0,324), com o de uma caixa refletora de graves (unitário), vemos que é igual à quase um terço do daquela, o que é uma vantagem importante quando em regime de grandes sinais. Para podermos afirmar que esta vantagem vai verificar-se no deslocamento do cone, precisamos investigar a influência do polinômio do deslocamento do cone, que é diferente nas três configurações.

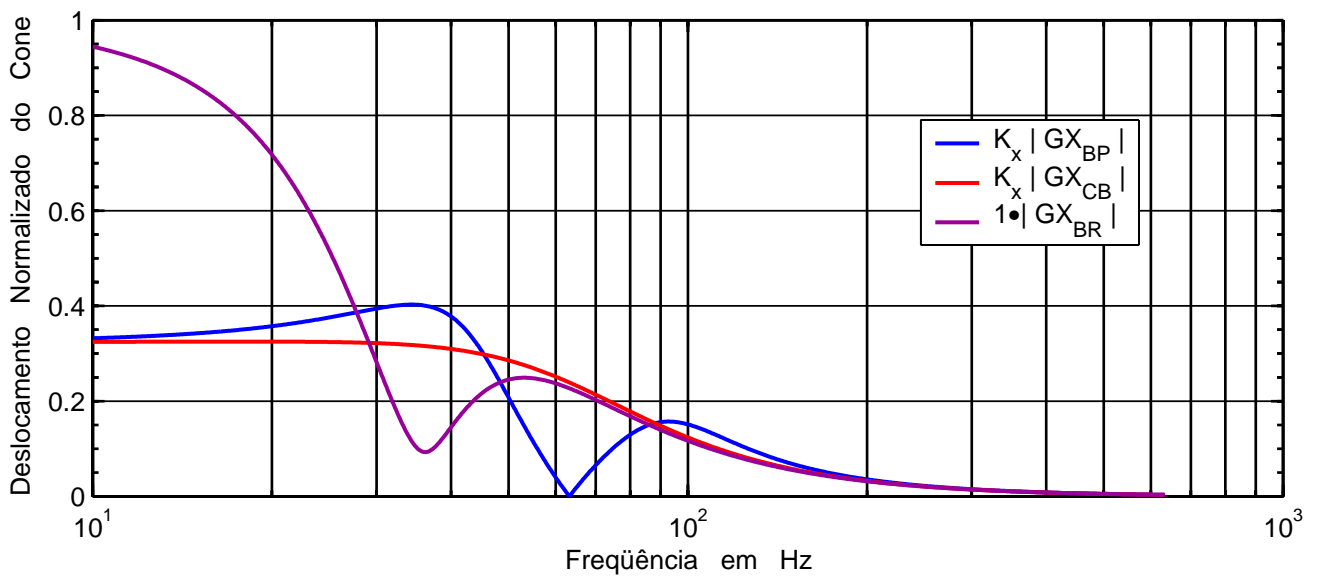
Nas figuras que se seguem, podemos ver o resultado desta comparação, onde a caixa selada teve um volume igual ao da câmara da band pass e o volume da refletora de graves foi igual a 150 litros, ou seja, a soma dos volumes das duas câmaras. Este volume foi sintonizado em 36 Hz, por ser este o valor considerado ótimo.

A comparação mostra a superioridade da band pass, sobre a bass reflex, quanto ao deslocamento do cone.

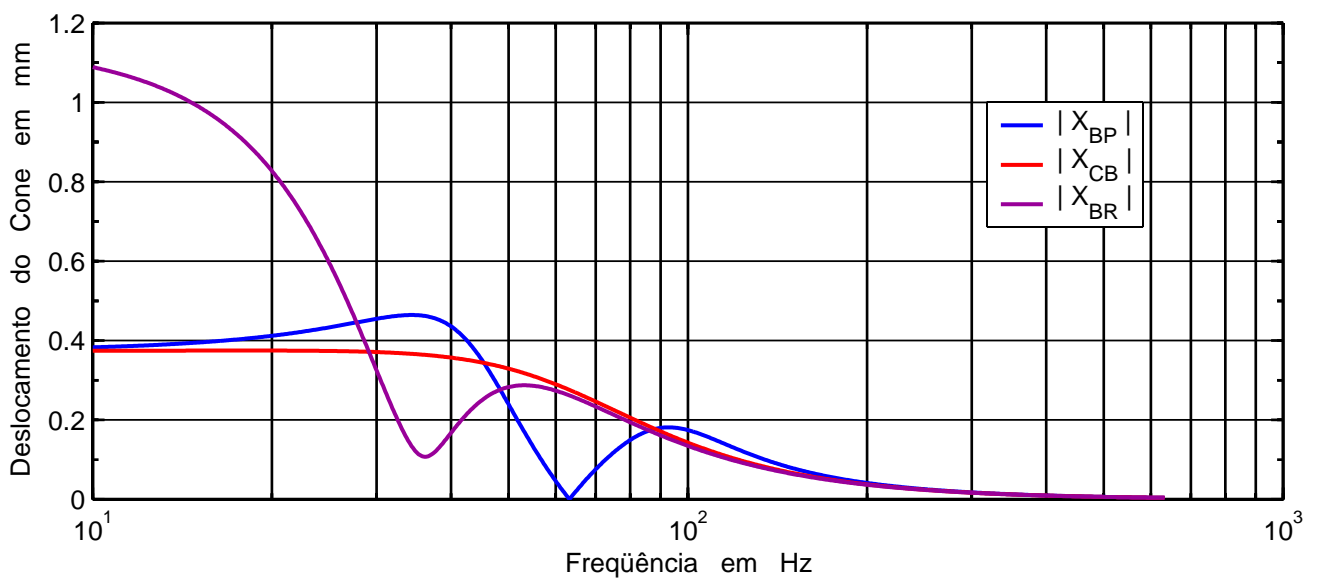
## Deslocamento do Cone em Caixas Band Pass, Selada e Refletora de Graves



**Fig. 55 - Caixa selada: mesmo volume da câmara da band pass ; refletora de graves : volume igual ao total da band pass**



**Fig. 56 - Caixa selada: mesmo volume da câmara da band pass ; refletora de graves : volume igual ao total da band pass**



**Fig. 57 - As mesmas condições anteriores, com 1 Watt aplicado.**



Os polinômios do deslocamento do cone, para caixas selada (closed box) e refletora de graves (bass reflex) estão representados abaixo.

$$GX_{CB} = \frac{1}{\frac{s^2}{\omega_C^2} + \frac{s}{\omega_C} \cdot \frac{1}{Q_{tc}} + 1}$$

$$GX_{BR} = \frac{\frac{s^2}{\omega_b^2} + \frac{s}{\omega_b} \cdot \frac{1}{Q_L} + 1}{D_{BR(s)}}$$

$$D_{BR(s)} = \frac{s^4}{\omega_s^2 \cdot \omega_b^2} + s^3 \cdot \left( \frac{1}{\omega_s^2 \cdot \omega_b \cdot Q_L} + \frac{1}{\omega_s \cdot \omega_b^2 \cdot Q_{ts}} \right) + s^2 \cdot \left[ \frac{1}{\omega_s^2} + \frac{1 + \alpha}{\omega_b^2} + \frac{1}{\omega_s \cdot \omega_b \cdot Q_L \cdot Q_{ts}} \right] + \dots$$

$$\dots + s \cdot \left( \frac{1}{\omega_s \cdot Q_{ts}} + \frac{1}{\omega_b \cdot Q_L} \right) + 1$$

A resposta em frequência, para a caixa projetada, pode ser vista na Fig. 58. Na Fig. 59 temos as respostas para diferentes níveis de excitação (onde nenhum tipo de não linearidade foi considerado). Para compararmos a resposta obtida com aquelas que seriam conseguidas em uma caixa selada, de mesmo volume que a câmara selada da band pass, e em uma refletora de graves, com volume igual à soma dos volumes das duas câmaras da band pass (150 L), sintonizado em 36 Hz, vamos utilizar os respectivos polinômios da resposta, conforme se segue. Os resultados podem ser vistos na Fig. 60.

$$Pa = Eg \cdot KPa \cdot G_{(s)}$$

$$SPL_{(dB)} = 20 \cdot \text{Log} \left( \frac{Pa}{20 \cdot 10^{-6}} \right) = 20 \cdot \text{Log} \left( Eg \cdot \frac{KPa}{20 \cdot 10^{-6}} \cdot G_{(s)} \right)$$

$$KPa = \frac{\rho}{2\pi r} \cdot \frac{\beta L}{(R_g + R_e)} \cdot \frac{Sd}{Mms}$$

$$G_{CB(s)} = \frac{\frac{s^2}{\omega_C^2}}{\frac{s^2}{\omega_C^2} + \frac{s}{\omega_C} \cdot \frac{1}{Q_{tc}} + 1}$$

$$G_{BR(s)} = \frac{\frac{s^4}{\omega_s^2 \cdot \omega_b^2}}{D_{BR(s)}}$$

Os coeficientes de proporcionalidade, KPa, para os casos Band Pass, Closed Box e Bass reflex são iguais.

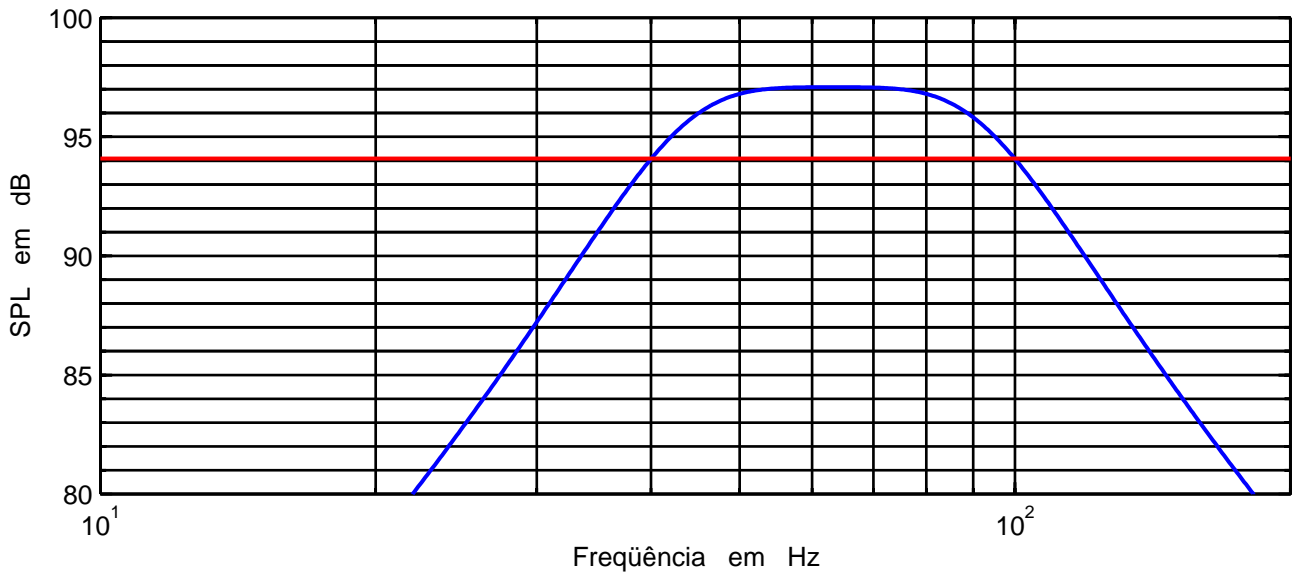


Fig. 58 - Nível da resposta, em dB SPL, da caixa band pass, para 1 Watt, sendo assinalados os pontos de - 3 dB.

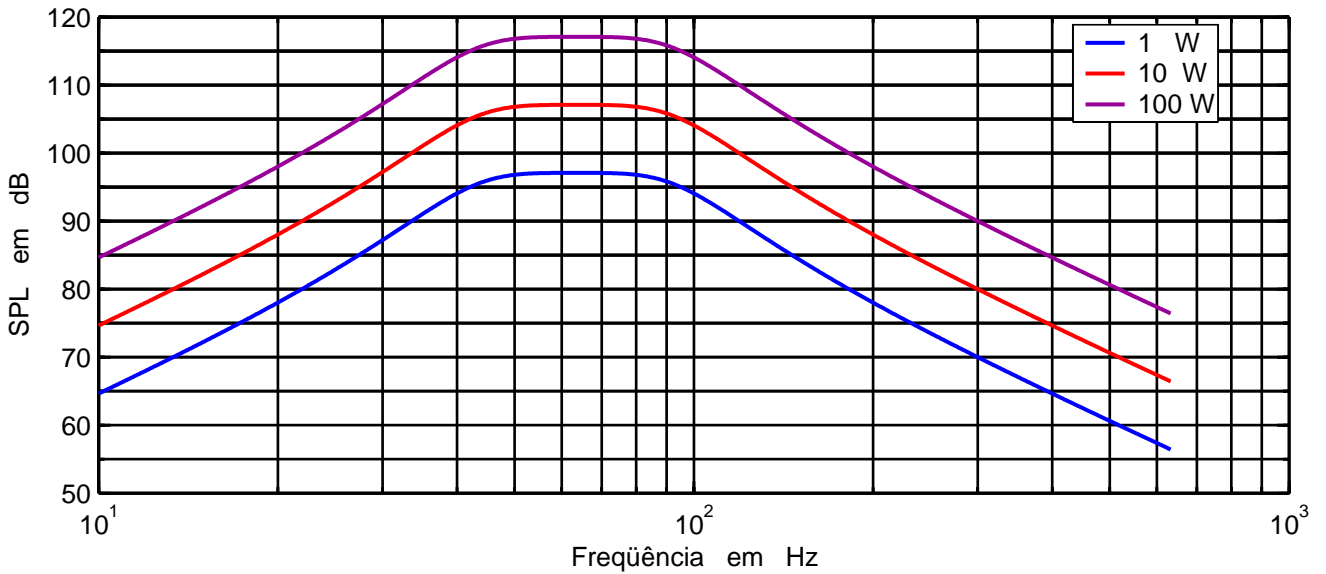


Fig. 59 - Nível da resposta, em dB SPL, da caixa band pass, para diversas potências aplicadas.

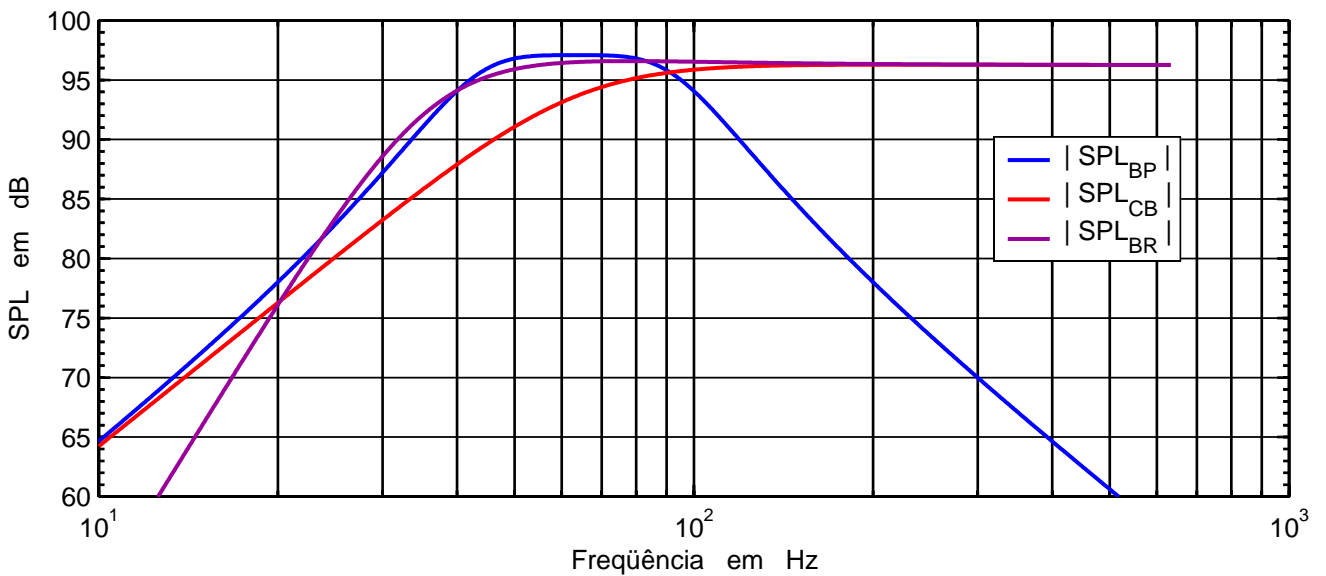


Fig. 60 - SPL da caixa band pass projetada, e das caixas selada e refletora de graves, usadas como comparativo.

## Comentários

A partir da análise do circuito análogo elétrico, de uma caixa band pass de quarta ordem, mostrado nas Figs. 3a e 3b, foi obtida a equação para a pressão acústica,

$$P_a = P_g \cdot \frac{\rho}{2\pi r} \cdot \frac{Sd^2}{Mms} \cdot \frac{\frac{s^2}{\omega_c^2}}{\frac{s^4}{\omega_b^2 \cdot \omega_c^2} + \frac{s^3}{\omega_b^2 \cdot \omega_c \cdot Qtc} + s^2 \cdot \left[ \frac{1}{\omega_b^2} \cdot \left( 1 + \frac{\alpha_2}{1 + \alpha} \right) + \frac{1}{\omega_c^2} \right] + \frac{s \cdot 2 \cdot d \cdot B}{\omega_c \cdot Qtc} + 1}$$

que, no caso particular da simetria, ou seja, quando  $\omega_b = \omega_c$  assume a seguinte forma:

$$P_a = P_g \cdot \frac{\rho}{2\pi r} \cdot \frac{Sd^2}{Mms} \cdot \frac{\frac{s^2}{\omega_c^2}}{\frac{s^4}{\omega_c^4} + \frac{s^3}{\omega_c^3 \cdot Qtc} + \frac{s^2}{\omega_c^2} \cdot \left( 2 + \frac{\alpha_2}{1 + \alpha} \right) + \frac{s}{\omega_c \cdot Qtc} + 1}$$

Observando essas equações, vemos que a resposta do sistema ficou perfeitamente determinada a partir de três variáveis, que são: O fator de qualidade do sistema caixa fechada,  $Qtc$ ; e os cocientes  $V_{as} / V_{b2}$  e  $V_{as} / V_{b1}$ , respectivamente representados por  $\alpha_2$  e  $\alpha$ , que podem ser englobados em  $\alpha_T$ .

$$\alpha_2 = \frac{V_{as}}{V_{b2}} \quad ; \quad \alpha = \frac{V_{as}}{V_{b1}} \quad ; \quad \alpha_T = \frac{\alpha_2}{1 + \alpha}$$

No entanto, conforme a referência (2), foram introduzidas as variáveis **d** e **B**,

$$d = \frac{1}{2 \cdot B \cdot Qtc} \quad ; \quad B^2 = \alpha_T = \frac{\alpha_2}{1 + \alpha}$$

assumindo, então, as equações anteriores, as seguintes formas:

$$P_a = P_g \cdot \frac{\rho}{2\pi r} \cdot \frac{Sd^2}{Mms} \cdot \frac{\frac{s^2}{\omega_c^2}}{\frac{s^4}{\omega_b^2 \cdot \omega_c^2} + \frac{s^3 \cdot 2 \cdot d \cdot B}{\omega_b^2 \cdot \omega_c} + s^2 \cdot \left[ \frac{1}{\omega_b^2} \cdot (1 + B^2) + \frac{1}{\omega_c^2} \right] + \frac{s \cdot 2 \cdot d \cdot B}{\omega_c} + 1}$$

$$P_a = P_g \cdot \frac{\rho}{2\pi r} \cdot \frac{Sd^2}{Mms} \cdot \frac{\frac{s^2}{\omega_c^2}}{\frac{s^4}{\omega_c^4} + \frac{s^3}{\omega_c^3} \cdot 2 \cdot d \cdot B + \frac{s^2}{\omega_c^2} \cdot (B^2 + 2) + \frac{s}{\omega_c} \cdot 2 \cdot d \cdot B + 1}$$

A variável **d**, denominada fator de amortecimento do sistema, desempenha um importante papel na caracterização do sistema. Independentemente, determina o tipo da resposta a ser obtida.

Se  $d > 1/\sqrt{2}$ , a resposta não tem picos; se  $d < 1/\sqrt{2}$ , existirão dois picos na resposta, ladeando a frequência central  $F_c$  e, se  $d = 1/\sqrt{2}$ , a resposta será Butterworth.

A variável  $B$ , que naturalmente representa a compliância total do sistema pode, também, assumir a forma de uma banda passante, conforme abaixo.

$$B = \frac{F_H - F_L}{a \cdot F_C}, \quad \text{onde} \quad a = \sqrt{1 - 2 \cdot d^2 + \sqrt{(1 - 2 \cdot d^2)^2 + 1}}$$

Neste novo formato,  $B$  dependeria da banda passante do sistema,  $F_H - F_L$ , da frequência  $F_c$  e do fator de amortecimento  $d$  (pois  $a$  é uma função de  $d$ ).

$$\frac{\frac{F_H - F_L}{F_C}}{Q_{tc}} = \frac{F_H - F_L}{F_S} = BW_N = \frac{a}{2 \cdot d}$$

Deste modo, a banda passante normalizada, e o fator de amortecimento do sistema, estão interligados entre si, sendo um função do outro, conforme mostram as equações acima e abaixo apresentadas.

$$d = \frac{1}{2} \cdot \sqrt{\frac{1}{BW_N^2 + 1} + \sqrt{\frac{1}{(BW_N^2 + 1)^2} + \frac{1}{BW_N^2 \cdot (BW_N^2 + 1)}}}$$

No caso de um sistema, como no projeto anterior, onde o falante foi previamente especificado, se escolhermos a banda passante, teremos que nos contentar com o fator de amortecimento resultante, e vice-versa. Só poderemos especificar, simultaneamente, o fator de amortecimento e a banda passante, se o falante puder ser construído especificamente, para atender aos requisitos do sistema.

Satisfeitas as relações acima, os volumes das câmaras já estarão determinados:

$$V_{b2} = (2 \cdot d \cdot Q_{ts})^2 \cdot V_{as} \quad ; \quad V_{b1} = \frac{V_{as}}{\left(\frac{F_c}{F_s}\right)^2 - 1}$$

A introdução da variável  $\gamma$ , foi algo muito prático pois nos permite trabalhar com equações do quarto grau (que pode ser reduzido ao segundo grau, por simples mudança de variável). No caso dos polinômios originais, as equações envolvendo o quadrado do módulo, seriam do oitavo grau (reduzíveis ao quarto).

$$|G_{(j\omega_N)}| = \frac{1/B^2}{\sqrt{(2 \cdot d \cdot \gamma)^2 + (\gamma^2 - 1)^2}} \quad ; \quad |G_{N(j\omega_N)}| = \frac{1}{\sqrt{(2 \cdot d \cdot \gamma)^2 + (\gamma^2 - 1)^2}} \quad ; \quad \gamma = \frac{\omega_N - \frac{1}{\omega_N}}{B}$$

A variável  $B$ , na forma do inverso do seu quadrado, determinará a amplitude do polinômio da resposta na frequência  $F_c$ , correspondendo ao ganho em relação à resposta de uma caixa selada ou refletora de graves, na região de resposta plana. O inverso de  $B$ , elevado à quarta potência, indicará o ganho na eficiência da banda passante em relação às caixas de radiação direta, acima mencionadas.

## Resumo das Equações

$$d = \frac{1}{2 \cdot B \cdot Q_{tc}} = \frac{1}{2 \cdot Q_{ts} \cdot \sqrt{\alpha_2}} = \frac{F_C}{2 \cdot (F_2 - F_1) \cdot Q_{tc}} = \frac{F_s}{2 \cdot (F_2 - F_1) \cdot Q_{ts}}$$

$$B = \frac{1}{2 \cdot d \cdot Q_{tc}} = \sqrt{\alpha_T} = \sqrt{\frac{\alpha_2}{1 + \alpha}} = \frac{F_2 - F_1}{F_C} = \frac{F_H - F_L}{a \cdot F_C}$$

$$\alpha_2 = \frac{V_{as}}{V_{b2}} \quad ; \quad \alpha = \frac{V_{as}}{V_{b1}} \quad (8) \quad ; \quad 1 + \alpha = \frac{F_1 \cdot F_2}{F_s^2} \quad (9) \quad ; \quad F_C = F_s \cdot \sqrt{1 + \alpha}$$

$$V_{B2} = (2 \cdot d \cdot Q_{ts})^2 \cdot V_{as} \quad ; \quad F_C^2 = F_1 \cdot F_2 = F_L \cdot F_H$$

$$b = \frac{a}{4 \cdot d \cdot Q_{tc}} \quad ; \quad a = \sqrt{c + \sqrt{c^2 + 1}} \quad ; \quad c = 1 - 2 \cdot d^2$$

$$\frac{\frac{F_H - F_L}{F_C}}{Q_{tc}} = \frac{F_H - F_L}{F_s} = BW_N = \frac{a}{2 \cdot d}$$

$$d = \frac{1}{2} \cdot \sqrt{\frac{1}{BW_N^2 + 1} + \sqrt{\frac{1}{(BW_N^2 + 1)^2} + \frac{1}{BW_N^2 \cdot (BW_N^2 + 1)}}}$$

$$U_d = P_g \cdot \frac{S d^2}{\omega_C \cdot M_{ms}} \cdot \frac{\frac{s}{\omega_C}}{\frac{s^2}{\omega_C^2} + \frac{s^2}{\omega_C^2} \cdot \frac{B^2}{\frac{s^2}{\omega_C^2} + 1} + \frac{s}{\omega_C} \cdot 2 \cdot d \cdot B + 1}$$

$$U_p = P_g \cdot \frac{S d^2}{\omega_C \cdot M_{ms}} \cdot \frac{\frac{s}{\omega_C}}{\frac{s^4}{\omega_C^4} + \frac{s^3 \cdot 2 \cdot d \cdot B}{\omega_C^3} + \frac{s^2}{\omega_C^2} \cdot (B^2 + 2) + \frac{s \cdot 2 \cdot d \cdot B}{\omega_C} + 1}$$

$$P_a = E_g \cdot \frac{\beta L}{R_g + R_E} \cdot \frac{\rho}{2\pi r} \cdot \frac{S d}{M_{ms}} \cdot \frac{s_N^2}{s_N^4 + 2 \cdot d \cdot B \cdot s_N^3 + (B^2 + 2) \cdot s_N^2 + 2 \cdot d \cdot B \cdot s_N + 1}$$

$$P_a = E_g \cdot \frac{\beta L}{R_g + R_E} \cdot \frac{\rho}{2\pi r} \cdot \frac{S d}{M_{ms}} \cdot G_{(s_N)} = E_g \cdot K P_a \cdot G_{(s_N)}$$

$$\text{KPa} = \frac{\rho}{2\pi r} \cdot \frac{\beta L}{R_g + R_E} \cdot \frac{Sd}{Mms}$$

$$G_{(s_N)} = \frac{s_N^2}{s_N^4 + 2 \cdot d \cdot B \cdot s_N^3 + (B^2 + 2) \cdot s_N^2 + 2 \cdot d \cdot B \cdot s_N + 1}$$

$$|G_{(j\omega_N)}| = \frac{1/B^2}{\sqrt{(2 \cdot d \cdot \gamma)^2 + (\gamma^2 - 1)^2}} \quad ; \quad |G_{N(j\omega_N)}| = \frac{1}{\sqrt{(2 \cdot d \cdot \gamma)^2 + (\gamma^2 - 1)^2}}$$

$$\gamma = \frac{\omega_N - \frac{1}{\omega_N}}{B} \quad ; \quad \gamma = 0 \Rightarrow \omega_N = 1 \Rightarrow \omega = \omega_C$$

$$\gamma = 1 \Rightarrow \omega_N = \frac{\omega_2}{\omega_C} \quad ; \quad \gamma = -1 \Rightarrow \omega_N = \frac{\omega_1}{\omega_C}$$

$$|G_{(j\omega_N=j)}| = \frac{1}{B^2} \quad \therefore \quad |G_{(j\omega_N=j)}|_{\text{dB}} = -40 \cdot \text{Log}(B) = \text{PA}$$

$$|G_{N(j\omega_N=j)}| = 1 \quad \therefore \quad |G_{N(j\omega_N=j)}|_{\text{dB}} = 0$$

$$|G_{(j\omega_{N1})}| = |G_{(j\omega_{N2})}| = \frac{1}{2 \cdot d \cdot B^2} \quad \therefore \quad |G_{(j\omega_{N1})}|_{\text{dB}} = |G_{(j\omega_{N2})}|_{\text{dB}} = -20 \cdot \text{Log}(2 \cdot d \cdot B^2)$$

$$|G_{N(j\omega_{N1})}| = |G_{N(j\omega_{N2})}| = \frac{1}{2 \cdot d} \quad \therefore \quad |G_{N(j\omega_{N1})}|_{\text{dB}} = |G_{N(j\omega_{N2})}|_{\text{dB}} = -20 \cdot \text{Log}(2 \cdot d)$$

$$\frac{F_2}{F_C} = \frac{B}{2} + \sqrt{\left(\frac{B}{2}\right)^2 + 1} \quad ; \quad \frac{F_1}{F_C} = -\frac{B}{2} + \sqrt{\left(\frac{B}{2}\right)^2 + 1}$$

$$\frac{F_H}{F_C} = \frac{a \cdot B}{2} + \sqrt{\left(\frac{a \cdot B}{2}\right)^2 + 1} \quad ; \quad \frac{F_L}{F_C} = -\frac{a \cdot B}{2} + \sqrt{\left(\frac{a \cdot B}{2}\right)^2 + 1}$$

$$F_{2,L} = F_C \cdot \left[ \pm \frac{B}{2} + \sqrt{\left(\frac{B}{2}\right)^2 + 1} \right] \quad ; \quad F_{H,L} = F_C \cdot \left[ \pm b + \sqrt{b^2 + 1} \right]$$

$$R_{(\text{dB})} = -10 \cdot \text{Log}[4 \cdot d^2 \cdot (1 - d^2)] \quad \text{para } d \leq 0,707 \quad ; \quad \text{para } d > 0,707 \text{ então } R=0 \quad (13)$$

$$Xd_{(s)} = Eg \cdot \frac{\beta L \cdot Cms}{Rg + R_E} \cdot \frac{\frac{\omega_s^2}{\omega_c^2} \cdot \left( \frac{s^2}{\omega_b^2} + 1 \right)}{\frac{s^4}{\omega_b^2 \cdot \omega_c^2} + 2 \cdot d \cdot B \cdot \frac{s^3}{\omega_b^2 \cdot \omega_c} + \frac{s^2}{\omega_c^2} + (B^2 + 1) \cdot \frac{s^2}{\omega_b^2} + 2 \cdot d \cdot B \cdot \frac{s}{\omega_c} + 1}$$

$$Xd_{(s)} = Eg \cdot \sigma_X \cdot K_X \cdot GX_{(s)} \quad ; \quad X_{(s)} = K_X \cdot GX_{(s)} \quad ; \quad Xd_{(s)} = Eg \cdot \sigma_X \cdot X_{(s)}$$

$$K_X = \left( \frac{\omega_s}{\omega_c} \right)^2 = \left( \frac{F_s}{F_c} \right)^2$$

$$Z_{VC} = R_E \cdot \frac{\frac{s^4}{\omega_c^4} + \frac{s^3}{\omega_c^3} \cdot \left( 2 \cdot d \cdot B + \frac{Qms}{Qes \cdot Qtc} \right) + \frac{s^2}{\omega_c^2} \cdot (B^2 + 2) + \frac{s}{\omega_c} \cdot \left( 2 \cdot d \cdot B + \frac{Qms}{Qes \cdot Qtc} \right) + 1}{\frac{s^4}{\omega_c^4} + \frac{s^3}{\omega_c^3} \cdot 2 \cdot d \cdot B + \frac{s^2}{\omega_c^2} \cdot (B^2 + 2) + \frac{s}{\omega_c} \cdot 2 \cdot d \cdot B + 1}$$

$$Z_{VC} = R_E \cdot GZ_{VC}$$

$$|GZ_{VC(j\omega)}|^2 = \frac{\left[ \frac{\omega^4}{\omega_c^4} - \frac{\omega^2}{\omega_c^2} \cdot (B^2 + 2) + 1 \right]^2 + \left[ \frac{\omega}{\omega_c} \cdot \left( 1 - \frac{\omega^2}{\omega_c^2} \right) \cdot \left( 2 \cdot d \cdot B + \frac{Qms}{Qes \cdot Qtc} \right) \right]^2}{\left[ \frac{\omega^4}{\omega_c^4} - \frac{\omega^2}{\omega_c^2} \cdot (B^2 + 2) + 1 \right]^2 + \left[ \frac{\omega}{\omega_c} \cdot 2 \cdot d \cdot B \cdot \left( 1 - \frac{\omega^2}{\omega_c^2} \right) \right]^2}$$

$$\Theta_{(j\omega)} = \operatorname{tg}^{-1} \left[ \frac{\frac{\omega}{\omega_c} \cdot \left( 1 - \frac{\omega^2}{\omega_c^2} \right) \cdot \left( 2 \cdot d \cdot B + \frac{Qms}{Qes \cdot Qtc} \right)}{\frac{\omega^4}{\omega_c^4} - \frac{\omega^2}{\omega_c^2} \cdot (B^2 + 2) + 1} \right] - \operatorname{tg}^{-1} \left[ \frac{\frac{\omega}{\omega_c} \cdot \left( 1 - \frac{\omega^2}{\omega_c^2} \right) \cdot 2 \cdot d \cdot B}{\frac{\omega^4}{\omega_c^4} - \frac{\omega^2}{\omega_c^2} \cdot (B^2 + 2) + 1} \right]$$

$$\eta_{BP} = \frac{\rho}{2\pi \cdot C} \cdot \frac{(\beta L)^2}{R_E} \cdot \left( \frac{Sd}{Mms} \right)^2 \cdot |G_{(j\omega_N)}|^2$$

$$\eta_o = \frac{\rho}{2\pi \cdot C} \cdot \frac{(\beta L)^2}{R_E} \cdot \left( \frac{Sd}{Mms} \right)^2 = \frac{9,6 \cdot 10^{-10} \cdot F_s^3 \cdot Vas}{Qes} \quad (22)$$

$$\eta_{BP} = \eta_o \cdot |G_{(j\omega_N)}|^2 = \eta_o \cdot \frac{1/B^4}{(2 \cdot d \cdot \gamma)^2 + 4 \cdot d^2 \cdot \gamma^2}$$

$$\eta_{BP} = \frac{\eta_O}{B^4} \quad (23) \quad \therefore \quad \frac{\eta_{BP}}{\eta_O} = \frac{1}{B^4}$$

$$GX_{BP} = \frac{\frac{s^2}{\omega_C^2} + 1}{\frac{s^4}{\omega_C^4} + 2 \cdot d \cdot B \cdot \frac{s^3}{\omega_C^3} + (B^2 + 2) \cdot \frac{s^2}{\omega_C^2} + 2 \cdot d \cdot B \cdot \frac{s}{\omega_C} + 1}$$

$$GX_{CB} = \frac{1}{\frac{s^2}{\omega_C^2} + \frac{s}{\omega_C} \cdot \frac{1}{Qtc} + 1} \quad ; \quad GX_{BR} = \frac{\frac{s^2}{\omega_b^2} + \frac{s}{\omega_b} \cdot \frac{1}{Q_L} + 1}{D_{BR(s)}}$$

$$D_{BR(s)} = \frac{s^4}{\omega_s^2 \cdot \omega_b^2} + s^3 \cdot \left( \frac{1}{\omega_s^2 \cdot \omega_b \cdot Q_L} + \frac{1}{\omega_s \cdot \omega_b^2 \cdot Qts} \right) + s^2 \cdot \left[ \frac{1}{\omega_s^2} + \frac{1 + \alpha}{\omega_b^2} + \frac{1}{\omega_s \cdot \omega_b \cdot Q_L \cdot Qts} \right] + \dots$$

$$\dots + s \cdot \left( \frac{1}{\omega_s \cdot Qts} + \frac{1}{\omega_b \cdot Q_L} \right) + 1$$

$$Pa = Eg \cdot KPa \cdot G_{(s)}$$

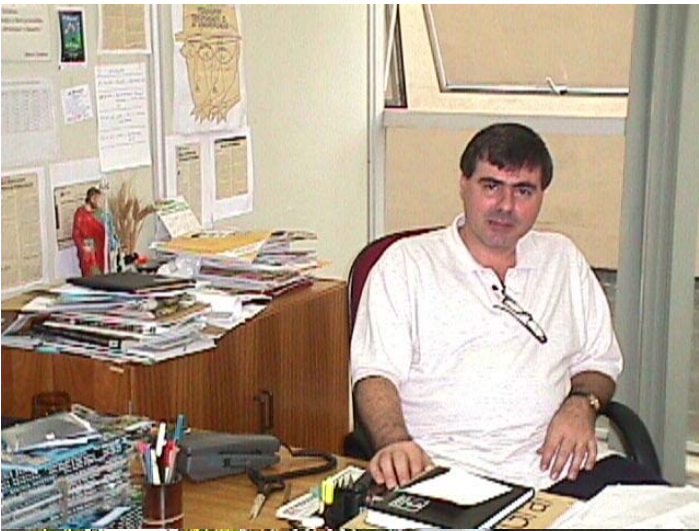
$$SPL_{(dB)} = 20 \cdot \text{Log} \left( \frac{Pa}{20 \cdot 10^{-6}} \right) = 20 \cdot \text{Log} \left( Eg \cdot \frac{KPa}{20 \cdot 10^{-6}} \cdot G_{(s)} \right)$$

$$KPa = \frac{\rho}{2\pi r} \cdot \frac{\beta L}{Rg + R_E} \cdot \frac{Sd}{Mms}$$

$$G_{BP(s)} = \frac{\frac{s^2}{\omega_C^2}}{\frac{s^4}{\omega_C^4} + \frac{s^3}{\omega_C^3} \cdot 2 \cdot d \cdot B + \frac{s^2}{\omega_C^2} \cdot (B^2 + 2) + \frac{s}{\omega_C} \cdot 2 \cdot d \cdot B + 1}$$

$$G_{CB(s)} = \frac{\frac{s^2}{\omega_C^2}}{\frac{s^2}{\omega_C^2} + \frac{s}{\omega_C} \cdot \frac{1}{Qtc} + 1} \quad ; \quad G_{BR(s)} = \frac{\frac{s^4}{\omega_s^2 \cdot \omega_b^2}}{D_{BR(s)}}$$





## Agradecimentos

O Autor deseja expressar sua gratidão:

Ao prezado Eng. José Angelo Amado, que com sua curiosidade e a busca por mais informações sobre o assunto, motivou-me a reescrever o Capítulo 11, que aqui renasceu, junto com o Novo Ano .  
Bons fados os levem, e ao Autor, também ...

Ao prezado Amigo e pesquisador Carlos Correia da Silva que, mais uma vez, socorreu-me com seu alentado acervo técnico e inextinguível boa vontade, enviando-me cópia do artigo do Jean Margerand, publicado em Speaker Builder 6/88, pois se extraviou o meu exemplar nas andanças da minha biblioteca perambulante.

Ao dileto Amigo Gilberto Monteiro, que nos idos de 1993 construiu protótipos e fez medições em caixas band pass, calculadas com o software, então, recém desenvolvido por mim, o que me deu tranquilidade para continuar o trabalho, em virtude dos bons resultados reportados, quero reiterar minha gratidão.

Ao meu editor e mui prezado Amigo, Nelson Cardoso (o mais brasileiro dos portugueses que conheço), pela publicação, não só do meu livro, como também pelos inúmeros outros que vem editando, disponibilizando, assim, significativo acervo para os técnicos de áudio do Brasil e de todos os países de língua portuguesa.

À Eletrônica Selenium S.A., pelo patrocínio do livro e de todos os meus trabalhos, que a ele se seguiram, inclusive este.

<b>Legendas das Fotos</b>	
O Editor Nelson Cardoso e sua Tenda Mirim ...	O Editor & o Autor, unidos para sempre ...
Carlos Correia da Silva, baiano ilustre, o CCdS .	Ruy Monteiro, o R da Studio R .
Rosalfonso Bortoni, sob o olhar do Mestre !	Rosalfonso Bortoni, dá a dimensão da coisa !
Ruy Monteiro prepara-se para dizer: “it was not my fault” e CCdS observa .	Gilberto Monteiro, na época, expert em som para ... lugares públicos !



Subwoofer de alta potência para uso profissional, especificamente projetado para responder na faixa de frequência de 38 a 150 Hz em caixa tipo ventedbox com volume de 170 a 200 litros, suportando 600 W RMS (Norma AES) ou 1.200 W de potência musical contínua.

O conjunto magnético otimizado pelo método de elementos finitos (FEA) resultou em um conjunto de grande eficiência e baixo peso. A utilização T-yoke com arruela inferior rebaixada assegura um deslocamento máximo (X<sub>máx</sub>) compatível com a potência. Neste alto-falante foi dada atenção especial ao comportamento em condições de sobrecarga mecânica, suportando as condições mais severas de trabalho sem falhas.

A bobina de 4" (100 mm) de cobre com 4 camadas utiliza acima de 80 g de fio, enrolado em forma de fibra de vidro com duas vezes a espessura das formas comuns, com o objetivo de dar ao conjunto móvel grande rigidez.

O cone de papel não prensado e de fibras longas possui massa e rigidez suficiente para suportar enormes forças de desaceleração, precisamente centrado por duas aranhas feitas de tecido de poliéster e algodão.

A carcaça em alumínio injetado possui grande rigidez estrutural e atua como dissipador de calor, além de não introduzir perdas no fluxo magnético. Um sistema triplo de ventilação (furo central, seis furos na arruela inferior e seis janelas na carcaça) garante a necessária refrigeração de modo que os elevados valores de potência possam ser suportados.

\*18SW2P-SLF: Produto sem logotipo frontal Selenium impresso na calota.

A exposição à níveis de ruído além dos limites de tolerância especificados pela Norma Brasileira NR 15 - Anexo 1\*, pode causar perdas ou danos auditivos. A Selenium não responsabiliza-se pelo uso indevido de seus produtos. (\*Portaria 32.14/78).

### ESPECIFICAÇÕES TÉCNICAS

Dímetro nominal	460 (18)	mm (in)
Impedância nominal	8	
Impedância mínima @ 90 Hz	7,2	
Potência		
Programa musical <sup>1</sup>	1.200	W
RMS (NBR 10.303) <sup>2</sup>	600	W
AES <sup>3</sup>	600	W
Sensibilidade (2,83V@1m) média entre 50 e 150 Hz	95	dB SPL
Compressão de potência @ 0 dB (pot. nom.)	3,2	dB
Compressão de potência @ -3 dB (pot. nom.)/2	2,5	dB
Compressão de potência @ -10 dB (pot. nom.)/10	1,1	dB
Resposta de frequência @ -10 dB	38 a 1.000	Hz

<sup>1</sup> Especificações para uso de programa musical e de voz, permitindo distorção harmônica máxima no amplificador de 5%, sendo a potência calculada em função da tensão na saída do amplificador e da impedância nominal do transdutor.

<sup>2</sup> Norma Brasileira NBR 10.303, com a aplicação de ruído rosa durante 2 horas ininterruptas.

<sup>3</sup> Norma AES (60 - 600Hz).

### PARÂMETROS DE THIELE-SMALL

Fs (frequência de ressonância)	36	Hz
Vas (volume equivalente do falante)	179	l
Qts (fator de qualidade total)	0,42	
Qes (fator de qualidade elétrico)	0,43	
Qms (fator de qualidade mecânico)	16,12	
η (eficiência de referência em meio espaço)	1,56	%
Sd (área efetiva do cone)	0,1194	m <sup>2</sup>
Vd (volume deslocado)	7 76,1	cm <sup>3</sup>
X <sub>máx</sub> (deslocamento máx. (pico) c/ 10% distorção)	6,5	mm
X <sub>lim</sub> (deslocamento máx. (pico) antes do dano)	21,0	mm

Condições atmosféricas no local de medição dos parâmetros TS:

Temperatura	24	°C
Pressão atmosférica	1 022	mb
Umidade relativa do ar	45	%

Parâmetros de Thiele-Small medidos após amaciamento de 2 horas com metade da potência NBR.

É admitida uma tolerância de ± 15% nos valores especificados.

### PARÂMETROS ADICIONAIS

L	25,4	Tm
Densidade de fluxo no gap	0,75	T
Dímetro da bobina	100	mm
Comprimento do fio da bobina	50,5	m
Coefficiente de temperatura do fio ( )	0,00380	1/°C
Temperatura máxima da bobina	275	°C
vc (temperatura máx. da bobina/potência máx.)	0,46	°C/W
Hvc (altura do enrolamento da bobina)	22,0	mm
Hag (altura do gap)	9,0	mm
Re (resistência da bobina)	5,6	g
Mms (massa móvel)	217,7	g
Cms (compliance mecânica)	89,8	m/N
Rms (resistência mecânica da suspensão)	3,1	kg/s

### PARÂMETROS NÃO-LINEARES

Le @ Fs (indutância da bobina na ressonância)	11,069	mH
Le @ 1 kHz (indutância da bobina em 1 kHz)	4,256	mH
Le @ 20 kHz (indutância da bobina em 20 kHz)	1,797	mH
Red @ Fs (resistência de perdas na ressonância)	0,43	
Red @ 1 kHz (resistência de perdas em 1 kHz)	11,75	
Red @ 20 kHz (resistência de perdas em 20 kHz)	230,22	
Krm (coeficiente da resistência de perdas)	1,985	
Kxm (coeficiente da indutância da bobina)	52,746	mH
Erm (expoente da resistência de perdas da bobina)	0,993	
Exm (expoente da indutância da bobina)	0,712	

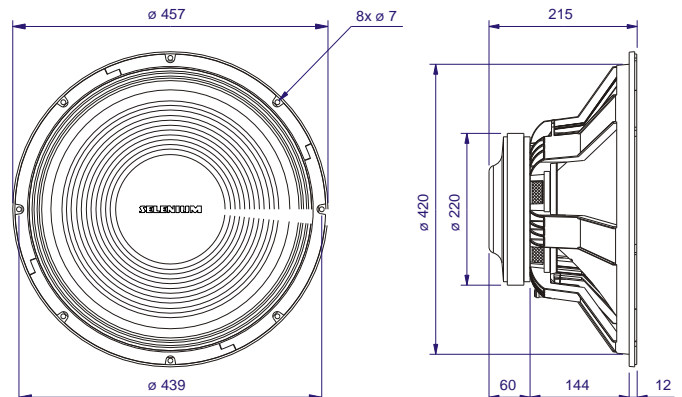


### INFORMAÇÕES ADICIONAIS

Material do ímã	Ferrite de bário
Peso do ímã	3.440 g
Dímetro x altura do ímã	220 x 24 mm
Peso do conjunto magnético	8.600 g
Material da carcaça	Alumínio injetado
Acabamento da carcaça	Pintura epoxi, cor preta
Acabamento das arruelas	Estanhado
Material do fio da bobina	Cobre
Material da forma da bobina	Fibra de vidro
Material do cone	Celulose fibra longa não prensada
Volume ocupado pelo falante	8,6 l
Peso líquido do falante	10.500 g
Peso total (incluindo embalagem)	11.720 g
Dimensões da embalagem (C x L x A)	48 x 48 x 24 cm

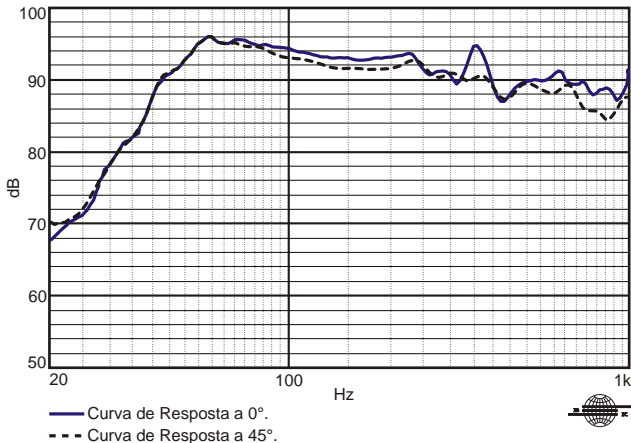
### INFORMAÇÕES PARA MONTAGEM

Número de furos de fixação	8
Dímetro dos furos de fixação	8,0 mm
Dímetro do círculo dos furos de fixação	438 mm
Dímetro do corte para montagem frontal	422 mm
Dímetro do corte para montagem traseira	412 mm
Tipo do conector	Pressão p/ fio nu
Polaridade	Tensão + no borne vermelho; deslocamento p/ frente
Distância mín. entre parede da caixa e a traseira do falante	75 mm



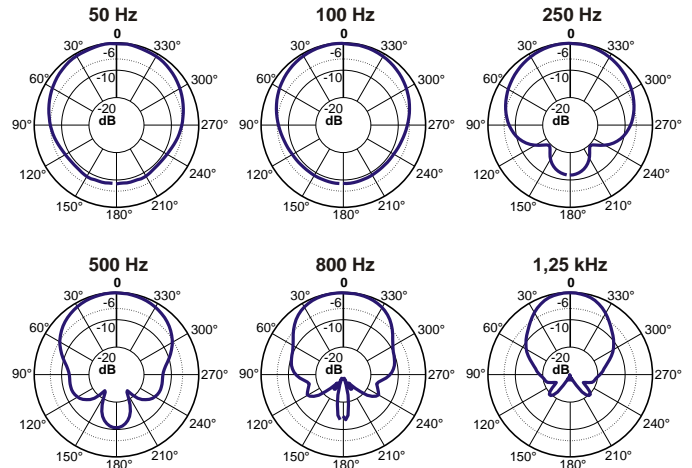
Dimensões em mm.

### CURVAS DE RESPOSTA (0° e 45°) NA CAIXA DE TESTE, EM CAMPO LIVRE, 1 W / 1 m

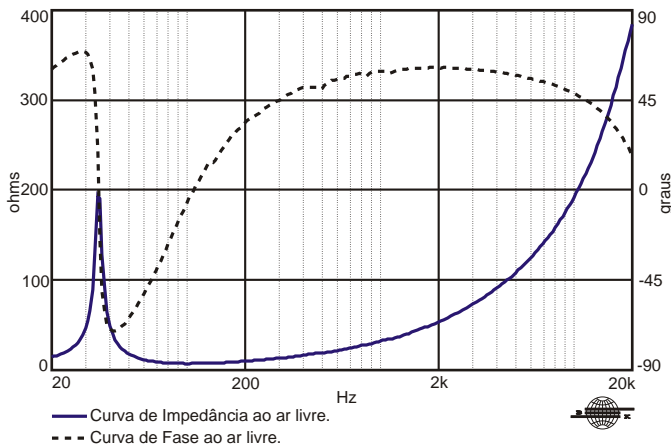


Curvas de resposta medidas com o subwoofer instalado na caixa de teste pelo método do plano de terra em ambiente externo a 1 W / 1 m. Subtraiu-se 6 dB das curvas originais para simular a medição em câmara anecóica.

### CURVAS DE RESPOSTA POLAR



### CURVAS DE IMPEDÂNCIA E FASE AO AR LIVRE



### COMO ESCOLHER O AMPLIFICADOR

O amplificador deve ser capaz de fornecer o dobro da potência RMS do alto-falante. Este headroom de 3 dB deve-se à necessidade de acomodar os picos que caracterizam o sinal musical.

### CALCULANDO A TEMPERATURA DA BOBINA

Evitar que a temperatura da bobina ultrapasse seu valor máximo é extremamente importante para a durabilidade do produto. A temperatura da bobina pode ser calculada através da equação:

$$T_B = T_A \left( \frac{R_B}{R_A} + 1 \right) + T_A \left( 25 - \frac{1}{25} \right)$$

$T_A, T_B$  = temperaturas da bobina em °C.

$R_A, R_B$  = resistência da bobina nas temperaturas  $T_A$  e  $T_B$ , respectivamente.

$\alpha$  = coeficiente de temperatura do condutor, a 25 °C.

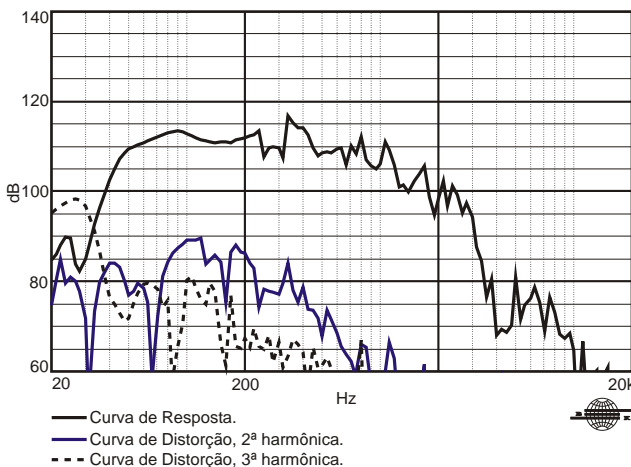
### COMPRESSÃO DE POTÊNCIA

A elevação da resistência da bobina com a temperatura provoca uma redução na eficiência do alto-falante. Por esse motivo, se ao dobrarmos a potência elétrica aplicada obtivermos um acréscimo de 2 dB no SPL ao invés dos 3 dB esperados, podemos dizer que houve uma compressão de potência de 1 dB.

### COMPONENTES NÃO-LINEARES DA BOBINA

Devido ao acoplamento com a ferragem do conjunto magnético, a bobina dos alto-falantes eletrodinâmicos exibe um comportamento não-linear que pode ser modelado através de diversos parâmetros. Os parâmetros  $K_{rm}$ ,  $K_{xm}$ ,  $E_{rm}$ ,  $E_{xm}$ , por exemplo, permitem calcular o valor da resistência e da indutância da bobina em função da frequência.

### CURVAS DE DISTORÇÃO HARMÔNICA A 10% DA POTÊNCIA NBR NA CAIXA DE TESTE, EM CÂMARA ANECÓICA, A 1 m



### CAIXA DE TESTE UTILIZADA

Caixa bass reflex c/ 3 dutos  $\varnothing$  15,2 cm e 20 cm de comprimento, volume interno de 191 litros.